

| | | |
|--|--|--|
|  ایتوک ایران IRAN ITOK Engineering, Procurement & General Contracting | <p>پی جویی به روش اکتشافات ژئوشیمیایی ۱:۲۵۰۰۰ در محدوده پاریز I (استان کرمان) - فصل دوم - اکتشافات ژئوشیمیایی</p> |  جهانگردان سازمان اسناد و کتابخانه ملی اکتشافات معدنی کشور |
|--|--|--|

۱-۲ - مقدمه

اکتشافات ژئوشیمیایی در هر مقیاس و با هر روش به دنبال محدود نمودن نواحی امید بخش و دارای احتمال کانه‌سازی است. در مقیاس‌های بزرگ بررسی تغییرات مستقیم حاصل از عملکرد سیالات کانه‌دار حائز اهمیت بوده و راه گشای است. این در حالی است که در اکتشافات کوچک مقیاس امکان بررسی مستقیم شواهد کانه‌سازی محدود نبوده و علاوه بر هزینه‌های بالا در اجرا نیز به دلیل وسعت بسیار زیاد با مشکلات متعدد مواجه می‌گردد. اکتشاف در مقیاس ۱:۲۵۰۰۰ در گروه اکتشافات کوچک مقیاس طبقه بندی می‌شود، لذا جهت یافتن پتانسیل‌های احتمالی در این مقیاس، شواهد غیر مستقیم و یا به اصطلاح هاله‌های ژئوشیمیایی ثانویه مورد بررسی قرار می‌گیرند.

یخرفت‌ها، بادرفت‌ها، آبرفت‌ها، رسوبات، خاک، گیاهان و آب از جمله گزینه‌هایی هستند که در اکتشافات ثانویه مورد توجه قرار می‌گیرند. طی سالیان متعدد بهره‌گیری از روش اکتشاف رسوبات آبراهه‌ای که بر اصل منشاء‌گیری محصولات فرسایش از رخنمون‌های سنگی و کانه‌سازی احتمالی بالا دست بنا گردیده، و اثبات کارایی آن طی سالهای متعدد استفاده، آن را به عنوان گزینه‌ی برتر و دارای اولویت در بررسی‌های کوچک مقیاس مطرح نموده است. عدم توسعه خاک و هوازدگی در نواحی بیابانی همچون ایران، استفاده از خاک را صرفاً به عنوان گزینه‌های مفید در ابعاد محلی مطرح می‌سازد. به علاوه عدم وجود منابع آبی فراوان و سهل الوصول نیز از ارزش این نوع هاله‌ها نیز می‌کاهد. گیاهان نیز اغلب جهت یافتن تمرکز‌های خاص مورد استفاده قرار می‌گیرند و در اکتشافات عمومی مورد توجه نیستند. با توجه به این توضیحات بررسی نحوه توزیع عناصر در رسوبات آبراهه‌ای، به عنوان روش اصلی، در کنار بررسی تمرکز کانی‌های سنگین در رسوبات برای اکتشاف در محدوده پاریز I در نظر گرفته شد.

| | | |
|--|--|--|
|  ایتوک ایران IRAN ITOK Engineering, Procurement & General Contracting | <p>پی جویی به روش اکتشافات ژئوشیمیایی ۱:۲۵۰۰۰ در محدوده پاریز I (استان کرمان) - فصل دوم - اکتشافات ژئوشیمیایی</p> |  جهانگردان سازمان اسناد و کتابخانه ملی اکتشافات معدنی کشور |
|--|--|--|

۲-۲- تجزیه و تحلیل سایز و فاصله نمونه برداری

در اکتشافات آبراهه‌ای و قبل از برداشت‌های اصلی، تعدادی نمونه جهت تعیین بهترین اندازه نمونه برداری از رسوبات و همچنین فواصل مناسب نمونه‌ها از یکدیگر برداشت می‌شود. مشکلات فنی که اغلب حاصل از کمبود امکانات آزمایشگاهی می‌باشد، باعث گردیده تا این بخش در پروژه‌های فعلی لحاظ نگردد. با این حال نبایستی فراموش کرد که محدوده‌های معرفی شده جهت اکتشاف با مقیاس ۱:۲۵۰۰۰ منطبق با نواحی امید بخش اکتشافات کوچک مقیاس تر می‌باشند. لذا می‌توان از سایز نمونه برداری‌های پیشین به عنوان معیار و الگوی نمونه برداری جدید بهره‌گرفت. به علاوه با توجه به ناشناخته بودن کانه‌سازی‌های مرتبط با عنصر اصلی مورد اکتشاف در منطقه، یعنی طلا، به جای اعمال فواصل منظم نمونه برداری، از چگالی یکنواخت در منطقه بهره‌گرفته شد. بدین صورت که در نواحی با پوشش سنگی از هر کیلومترمربع به طور متوسط ۴ نمونه و در دشت‌ها ۲ نمونه طراحی و برداشت گردید. در برداشت‌های یک صد هزار محدوده، ابعاد نمونه برداری ۱ میلیمتر و عبارتی ۱۶-مش در نظر گرفته شده است. این ابعاد چندان در اکتشافات در حال انجام رایج نیست. به علاوه در مرحله اکتشاف ۱:۱۰۰۰۰۰۰ درات طلا در بخش‌های ریز دانه‌ای که از شستشوی کانی سنگین حاصل شده تشخیص داده شده‌اند. این امر باعث گردید تا با هماهنگی و تائید ناظر پروژه اندازه ۴۰-مش به عنوان سایز بهینه نمونه برداری استفاده شود.

۲-۳- طراحی شبکه نمونه برداری

برای تهییه شبکه نمونه برداری با حداکثر یکنواختی، از نقشه پایه‌ی توپوگرافی رقومی با مقیاس ۱:۲۵۰۰۰ استفاده شده است. با توجه به محدودیت تعداد نمونه برداری و ایجاد شبکه‌ای یکنواخت و در عین حال کار آمد، نکات ذیل مدنظر قرار گرفته است.

الف- شاخه‌های اصلی، با حوضه‌ی آبریز وسیع‌تر در اولویت نمونه برداری قرار دارند. این نمونه‌ها می‌توانند معرف محدوده‌های وسیع‌تر باشند.

ب- نقاط به گونه‌ای طراحی شد تا مسیل یا رودخانه هدف نمونه برداری حتی المقدور سنگ بستر خود را

| | | |
|---|---|--|
|  <p>ایتوک ایران IRAN ITOK Engineering, Procurement & General Contracting</p> | <p>پی جویی به روش اکتشافات ژئوشیمیایی ۱:۲۵۰۰۰ در محدوده پاریز I (استان کرمان) - فصل دوم - اکتشافات ژئوشیمیایی</p> |  <p>جزویه سازمان اسناد و کتابخانه ملی اکتشافات معدنی کشور</p> |
|---|---|--|

حفر نمایند.

ج- نقاط نمونهبرداری به گونهای طراحی شد تا دسترسی به آنها با سهولت همراه باشد.

د- با توجه به توسعه راهها در محدوده، نمونههای نزدیک جاده در سمت بالا دست آن طراحی گردید تا از آلودگی ناشی از خاکبرداری و خاکریزی جاده مصون باشد.

ه- علی رغم این که توزیع یکنواخت نمونه یکی از معیارهای شبکه ایدهآل نمونهبرداری است، با این حال در مواردی این چگالی در برخی نقاط نسبت به نواحی مجاور افزایش می‌یابد. بدین صورت که در هنگام طراحی شبکه نمونهبرداری یک سری اطلاعات اولیه همچون محل توده‌های نفوذی نیمه عمیق، روندهای خطی استخراج شده از تصاویر ماهواره‌ای و برداشت‌های ژئوفیزیکی و یا نقشه‌زمین شناسی ۱:۱۰۰۰۰۰ منطقه، محل رخمنون واحدهای سنگی پتانسیل‌دار، نشانه‌های معدنی به همراه جانمایی نقاط آنومال در مراحل پیشین اکتشاف بر روی نقشه توپوگرافی ۱:۲۵۰۰۰ پیاده می‌شود و چگالی شبکه نمونهبرداری در آبراهه‌های منشعب از این پدیده‌ها، نسبت به نواحی مجاور متراکم‌تر در نظر گرفته می‌شود. این امر باعث می‌شود تا در صورت وجود کانی‌سازی، ثبت آن با احتمال بیشتری ممکن شود.

و- هر چند آن که اصل برداشت طراحی دفتری می‌باشد، اما به کارشناسان نمونهبردار اجازه داده شد تا در حین عملیات صحراوی با تشخیص مناطق پتانسیل‌دار احتمالی مانند نواحی منطبق بر دگرسانی‌های محلی و یا آثار کانه‌سازی نسبت به تغییر محل‌های از پیش تعیین شده و یا برداشت‌های نمونه‌های جدید، با کد مشخص اقدام گردد. به علاوه در صورت عدم وجود در رودخانه‌های با رسوب دهی کافی، حضور آلودگی‌های مصنوعی در بالا دست، به هم خوردگی آبراهه در اثر انجام فعالیت‌های انسانی، همچون راه سازی و کشاورزی کارشناس مجددًا اختیار جایه‌جایی و یا حذف نمونه را دارا می‌باشد.

۴-۴- نمونهبرداری و کد گذاری

برداشت رسوبات آبراهه‌ای اغلب در نواحی از رودخانه انجام می‌گیرد که به دلیل تفاوت در سرعت حرکت آب و موائع طبیعی امکان به دام افتادن ذرات فلزی که اغلب سنگین‌تر هستند افزایش می‌یابد. در اغلب فعالیت‌های ژئوشیمیایی رسوبات آبراهه‌ای برداشت نمونه در محل از پیش تعیین شده و از یک یا چند

گودال در عرض رود صورت می‌پذیرد. در مقابل این روش بیل گریفتن، ژئوشیمیست استرالیایی در سال ۱۹۸۱ پیشنهاد نمود تا به جای برداشت چند نمونه از یک محل، تعداد بیشتری نمونه کوچک^۱ در جهت بالا دست رود اخذ گردد. این تعداد نمونه کوچک حداقل ۲۰ عدد بوده و سعی می‌شود تا به ۴۰ برسد. فاصله برداشت اولین نمونه تا نمونه انتهایی باید از ۵۰ متر بیشتر باشد. این روش نمونه برداری اصطلاحاً "بلگ"^۲ معروف است. هرچند این روش آنالیز خاص خود را دارد که در این پروژه مقدور نشد، اما منطق قابل پذیرش آن باعث شد تا حداقل روش نمونه برداری آن مورد استفاده قرار گیرد. برداشت نمونه از محل غیرفعال رود و صرفاً با کنار زدن بخش‌های سطحی انجام می‌شود. اصل در این روش برداشت در طول رود به جای برداشت در عرض است.

جهت مستند سازی نمونه برداری در محل هر برداشت کارت مخصوص نمونه برداری برای هر نمونه تکمیل شد. این کارت‌ها علاوه بر آن که مشخصات برداشت کننده و مختصات نقطه را در خود دارد، امکان ثبت رنگ رسوب، میزان اجزای تشکیل دهنده‌ی آن، تعداد نمونه‌های کوچک و همچنین نظارت کارشناس و جایه‌جایی‌های احتمالی به همراه دلایل آن را در خود دارد. این کارت‌ها یک شماره ۵ رقمی، به صورت سریال، دارند که کد محسوب می‌شوند. بخشی از کارت که برچسب نمونه حساب می‌شود، بر روی آن الصاق و نقشه بر اساس این شماره تصحیح و ارائه گردید (شکل ۱-۲).

شکل ۱-۲ نمونه‌ای از کارت‌های نمونه برداری در منطقه پاریز I

| | | | |
|--------------------------------|---------------------|---|---------------------|
| SOIL / DOB SAMPLES | | Geological Survey of Iran IR 25368 | |
| Soil Type: | Stratified: West NW | Depth: | Horizon: A B C |
| Colour: | Grain Size: | Colour Modifier: | Silt: % |
| Clay: | Sand: | Organic: | Gravel: % |
| Silt: | Sand: | Organic: | Organic: % |
| Residues: | Gravel: | Transparencies: | Transparencies: % |
| Moisture: | W M D | | |
| STREAM SEDIMENT SAMPLES | | Project Date: 0.8.81 Sample Type: Sediment | |
| Stream: Wm Dry ✓ | Width: 5 m | Depth: | Trap Site: Quality: |
| Gradient: 1:10 | Colour: | Colour Modifier: | Size: 0.1 |
| Soil: 30% | Gravel: | Size: 0.5 | Organic: 0.1% |
| Gravel: 30% | Sample Wt.: | Conc. Factor: | |
| CULTURE STANDARD | | Country: Project: Property: Latitude: N | |
| Notes: | | East: 33.4.9.6.8 | Zone: 40 |
| 373 | 20 | North: 33.0.5.9.6.8 | Dev: 25.1.7 m |
| | | Longitude: 55° E | Nor: 0° |
| | | D.H. No.: | From: 0 m To: 0 m |
| ROCK SAMPLES | | | |
| Rock Type: | Modif.: | Colour: | Colour Modifier: |
| Mineral: | Int.: | Structure: | Arm.: |
| Mineral: | % | Occur.: | Notes: |

| | | |
|---|--|--|
|  ایتوک ایران IRAN ITOK Engineering, Procurement & General Contracting | <p>پی جویی به روش اکتشافات ژئوشیمیایی ۱:۲۵۰۰۰ در محدوده پاریز I</p> <p>(استان کرمان) - فصل دوم - اکتشافات ژئوشیمیایی</p> |  جزویت جهانی سازمان زمین دانشگاهی اکتشافات معدنی کشور |
|---|--|--|

نقشه ۱-۲ موقعیت نهایی ۳۷۷ نمونه برداشت شده از رسوبات آبراهه‌ای، که ۹۷ نمونه آن همراه با نمونه‌های کانی‌های سنگین می‌باشند نشان می‌دهد. موقعیت دقیق این نقاط براساس مختصات UTM در زون R۴۱ و در جدول شماره ۲-۱ پیوست آمده است.

۲-۵- آنالیز نمونه‌های ژئوشیمیایی

کلیه نمونه‌های ژئوشیمیایی پس از آماده سازی به آزمایشگاه زرآزمایی در داخل کشور ارسال گردید. همه این نمونه‌ها برای عناصر Cr, Mn, Ni, Pb, Sr, Ba, B, Ti, Al, Ag, As, B, Bi, Co, Cu, Mo, Sb, Zn, Sn, W, Fire Assay با روشن آنالیز گردید (جدول ۲-۲). لیست عناصر مورد تجزیه به همراه با حد قابل ثبت دستگاه در روش تجزیه، در جدول ۳-۲ آورده شده است.

جدول ۲-۳ حد پایین آشکار سازی تجزیه نمونه‌های آبراهه‌ای در پروژه پاریز ۱

| Element | Au | Al | Ca | Fe | K | Mg | Na |
|-----------------|------|--------|--------|--------|--------|--------|--------|
| | ppb | ppm | ppm | ppm | ppm | ppm | ppm |
| Detection Limit | 1.00 | 100.00 | 100.00 | 100.00 | 100.00 | 100.00 | 100.00 |
| Element | Ba | Be | Bi | Cd | Ce | Co | Cr |
| | ppm | ppm | ppm | ppm | ppm | ppm | ppm |
| Detection Limit | 10 | 0.2 | 0.2 | 0.1 | 1 | 1 | 2 |
| Element | Cu | La | Li | Mn | Mo | Nb | Ni |
| | ppm | ppm | ppm | ppm | ppm | ppm | ppm |
| Detection Limit | 1 | 1 | 1 | 10 | 0.5 | 1 | 1 |
| Element | Pb | Rb | S | Sb | Sc | Sn | Sr |
| | ppm | ppm | ppm | ppm | ppm | ppm | ppm |
| Detection Limit | 1 | 2 | 50 | 0.5 | 0.5 | 0.5 | 2 |
| Element | Th | Ti | U | V | W | Y | Yb |
| | ppm | ppm | ppm | ppm | ppm | ppm | ppm |
| Detection Limit | 1 | 10 | 0.5 | 2 | 0.5 | 0.5 | 0.2 |
| Element | Zr | As | Cs | P | Te | Zn | |
| | ppm | ppm | ppm | ppm | ppm | ppm | |
| Detection Limit | 5 | 0.50 | 0.5 | 10 | 0.1 | 1 | |

| | | |
|--|--|--|
|  ایتوک ایران IRAN ITOK Engineering, Procurement & General Contracting | <p>پی جویی به روش اکتشافات ژئوشیمیایی ۱:۲۵۰۰۰ در محدوده پاریز I (استان کرمان) - فصل دوم - اکتشافات ژئوشیمیایی</p> |  جهانگردان سازمان اسناد و کتابخانه ملی اکتشافات معدنی کشور |
|--|--|--|

۶- پردازش داده‌ها

پردازش داده‌های ژئوشیمیایی فاز مستقلی را در بین مراحل گوناگون عملیات اکتشافی تشکیل می‌دهد و چنانچه پردازش داده از طریق نامناسبی صورت پذیرد، موجب تسهیل فاز تحلیل داده‌ها خواهد. وجود روش‌های آماری متنوع، باعث می‌شود تا تعداد زیادی تجزیه و تحلیل برروی داده‌ها انجام گیرد.

لذا جهت عدم ارایه مطالب زاید دو نکته زیر در پردازش در نظر گرفته می‌شود:

(الف) وجود داده‌های کافی جهت انجام هر پردازش؛

(ب) مفید بودن روش پردازش به لحاظ یافتن جواب سوالات مورد توجه در بحث اکتشاف.

در این پژوهه ابتدا فایل بندي داده‌های خام در نرم افزار Excel 2007 انجام شد سپس با ورود داده‌های تنظیم شده در نرم افزار Spss15.2 داده پردازی‌های لازم صورت گرفت.

۷- پردازش داده‌های سنسورد و روش جایگزینی آنها

در عملیات اکتشاف ژئوشیمیایی به دلیل عدم تناسب بین حد حساسیت دستگاه‌های اندازه گیری، غلظت عناصر و فراوانی آن‌ها در طبیعت، معمولاً بخشی از داده‌ها به صورت اعدادی کوچکتر و یا بزرگ‌تر از یک مقدار معین، حد قابل ثبت دستگاه اندازه گیری، گزارش می‌شوند. وجود چنین اعدادی در بین یک سری داده، باعث ایجاد اختلاف در بررسی آماری می‌شود. چون که روش‌های آماری نیاز به مجموعه کاملی از داده‌های غیر سنسورد دارد و در مواردی نیز سنجش‌های نسبی همچون جدا سازی زمینه از آنومالی صورت می‌گیرد، وجود داده‌های سنسورد موجب ارزیابی غیر دقیق می‌شود. در صورت تخمین داده‌های سنسورد و جایگزینی آن‌ها مقدار آنومالی و شدت آن‌ها دقیق‌تر محاسبه می‌شود. چنانچه فقط بخشی از داده‌های مربوط به یک عنصر سنسورد باشد، با استفاده از تکنیک‌های آماری می‌توان در مورد توزیع داده‌های زیر حد سنسورد، تخمین‌های لازم را انجام داد. این تخمین‌ها مخصوصاً در مورد میانگین توزیع مقادیر زیر حد سنسورد الزامی می‌باشد. در تخمین میانگین مقادیر سنسورد برای عناصر، استفاده از روش نصف حد حساسیت تنها در شرایطی امکان پذیر می‌باشد که توزیع عناصر کمیاب در

زیر حد قابل ثبت دارای توزیع نرمال باشند، از آنجا که چنین امکانی نامحتمل بوده، پس به جای روش فوق از راه حل‌های دیگری استفاده می‌شود. به این ترتیب که در مورد عناصری که تعداد نمونه‌های پائین‌تر از حد آشکار سازی زیر $\frac{3}{4} \times 10\%$ باشد، حد حساسیت دستگاه جایگزین آنها می‌شود که به این روش اصطلاحاً روش جایگزینی ساده می‌گویند. اما در مورد عناصری که تعداد سنسوردهای آن بیش از 10% کل نمونه‌ها باشد، این روش خطای بزرگی در مطالعات آماری بعد از آن ایجاد می‌کند. بنابرین روش بیشترین درست نمایی کوهن جهت تخمین مقادیر پائین‌تر از حدود آشکار سازی مناسب‌تر است. بر اساس این روش مقادیر پائین‌تر از حد آشکار سازی به وسیله میانگین مقادیری که به دلیل محدودیت دستگاه به صورت کمتر از حد آشکار سازی گزارش شده‌اند، جایگزین می‌شوند. در این روش، با فرض نرمال بودن توزیع، بر اساس داده‌های غیر سنسورد میانگین جامعه کل (سنسورد و غیرسنسورد)، محاسبه می‌شود و در آخر مقادیر سنسورد با میانگین به دست آمده برای آنها جایگزین خواهد شد. در این پروژه تمامی عنصر یا فاقد داده‌های پائین‌تر از حدود آشکار سازی بوده و یا تعداد آنها از 10% کل نمونه‌ها کمتر می‌باشد. بنابراین از روش جایگزینی ساده استفاده گردید. در نهایت مقادیر پائین‌تر از حدود آشکار سازی عناصر طلا، روبيديوم، آنتيموان، قلع، تلوريوم، زيركونيوم، مولييدن، بيسموت و لاتانيوم مورد محاسبه و جایگزینی قرار گرفت. جدول شماره ۴-۲ حد حساسیت دستگاه، تعداد داده‌های پائین‌تر از حدود آشکار سازی تعداد کل نمونه‌ها و مقادیر جایگزین آنها آورده شده است. با توجه به این که نمونه‌ها در آزمایشگاه زرآزمایانالیز گردید و با در نظر داشتن این موضوع که آزمایشگاه ذکر شده با روش‌های خاص خود در مورد حد بالایی آنالیز نمونه‌ها محدودیتی ندارد، داده‌های بالاتر از حد فوقانی حساسیت دستگاه جهت جایگزینی وجود نداشت و صرفاً عملیات جایگزینی در مورد داده‌های زیر حد حساسیت پایینی دستگاه محدود گردید.

| | | |
|---|---|--|
|  ایتوک ایران IRAN ITOK Engineering, Procurement & General Contracting | پی جویی به روش اکتشافات ژئوشیمیایی ۱:۲۵۰۰۰ در محدوده پاریز I (استان کرمان) - فصل دوم - اکتشافات ژئوشیمیایی |  جزویت جهانی سازمان زمین شناسی و اکتشافات معدنی کشور |
|---|---|--|

جدول ۲-۴- تعداد داده‌های پائین‌تر از حدود آشکار سازی و مقدار جایگزینی آن

| Unit | ppm |
|--------------------------|------|------|------|------|------|------|------|------|------|-------|
| Element | Bi | Cd | Ce | Co | Cr | Cs | Cu | La | Li | Mn |
| No.of Total Data | 377 | 377 | 377 | 377 | 377 | 377 | 377 | 377 | 377 | 377 |
| No.of Censored Data | 0 | 0 | 0 | 0 | 0 | 0 | 0 | 0 | 0 | 0 |
| Percent Of Censored Data | - | - | - | - | - | - | - | - | - | - |
| DL | 0.20 | 0.10 | 1.00 | 1.00 | 2.00 | 0.50 | 1.00 | 1.00 | 1.00 | 10.00 |
| Replacement Value | - | - | - | - | - | - | - | - | - | - |

| Unit | ppm | ppm | ppm | ppm | ppm | ppm | ppm | ppm | ppm | ppm |
|--------------------------|------|------|------|-------|------|------|-------|------|------|------|
| Element | Mo | Nb | Ni | P | Pb | Rb | S | Sb | Sc | Sn |
| No.of Total Data | 377 | 377 | 377 | 377 | 377 | 377 | 377 | 377 | 377 | 377 |
| No.of Censored Data | 0 | 0 | 0 | 0 | 0 | 0 | 0 | 0 | 0 | 3 |
| Percent Of Censored Data | - | - | - | - | - | - | - | - | - | 0.80 |
| DL | 0.50 | 1.00 | 1.00 | 10.00 | 1.00 | 2.00 | 50.00 | 0.50 | 0.50 | 0.50 |
| Replacement Value | - | - | - | - | - | - | - | - | - | 0.38 |

| Unit | ppm | ppm | ppm | ppm | ppm | ppm | ppm | ppm | ppm | ppm |
|--------------------------|------|------|------|-------|------|------|------|------|------|------|
| Element | Sr | Te | Th | Ti | U | V | W | Y | Yb | Zn |
| No.of Total Data | 377 | 377 | 377 | 377 | 377 | 377 | 377 | 377 | 377 | 377 |
| No.of Censored Data | 0 | 0 | 0 | 0 | 0 | 0 | 0 | 0 | 0 | 0 |
| Percent Of Censored Data | - | - | - | - | - | - | - | - | - | - |
| DL | 2.00 | 0.10 | 1.00 | 10.00 | 0.50 | 2.00 | 0.50 | 0.50 | 0.20 | 1.00 |
| Replacement Value | - | - | - | - | - | - | - | - | - | - |

| Unit | ppb | ppm | ppm | ppm | ppm |
|--------------------------|-------|-----|-----|-----|-----|-----|-----|------|-----|------|------|
| Element | Au | Al | Ca | Fe | K | Mg | Na | As | Ba | Be | Zr |
| No.of Total Data | 377 | 377 | 377 | 377 | 377 | 377 | 377 | 377 | 377 | 377 | 377 |
| No.of Censored Data | 52 | 0 | 0 | 0 | 0 | 0 | 0 | 1 | 0 | 0 | 0 |
| Percent Of Censored Data | 13.79 | - | - | - | - | - | - | 0.27 | - | - | - |
| DL | 1 | 100 | 100 | 100 | 100 | 100 | 100 | 0.50 | 10 | 0.20 | 5.00 |
| Replacement Value | 0.75 | - | - | - | - | - | - | 0.38 | - | - | - |

۸-۲- کنترل کیفیت نتایج آزمایشگاهی

کنترل کیفیت داده‌های آزمایشگاهی از اهمیت ویژه‌ای برخوردار است؛ زیرا اولاً میزان اعتماد به داده‌ها را مشخص می‌کند، ثانیاً اگر خطای داده‌ها زیاد باشد و نتوان اندازه‌گیری‌ها را تکرار نمود، بهتر است در تفسیر نتایج دقت بیشتری به عمل آورد. برای تعیین دقت آزمایشگاه تعداد ۳۰ نمونه‌ی تکراری تهیه و کدگذاری شدند(جدول ۲-۵)، و برای همان عناصر آنالیزشده نمونه‌های اصلی با روش مشابه در آزمایشگاه آنالیز گردیدند. از مقایسه‌ی نتایج نمونه‌های تکراری و نمونه‌های اصلی جهت تعیین درصد خطا از دو روش ترسیمی و محاسباتی بهره گرفته شد.

جدول ۲-۵ نمونه‌های تکراری منطقه پاریز I

| No. | Duplicate Sample No. | Sample No. |
|-----|----------------------|------------|
| 16 | 25516 | 25333 |
| 17 | 25517 | 25255 |
| 18 | 25518 | 25353 |
| 19 | 25519 | 25225 |
| 20 | 25520 | 25303 |
| 21 | 25521 | 25299 |
| 22 | 25522 | 25329 |
| 23 | 25523 | 25366 |
| 24 | 25524 | 25238 |
| 25 | 25525 | 25314 |
| 26 | 25526 | 25281 |
| 27 | 25527 | 25271 |
| 28 | 25528 | 25206 |
| 29 | 25529 | 25218 |
| 30 | 25530 | 25376 |

| No. | Duplicate Sample No. | Sample No. |
|-----|----------------------|------------|
| 1 | 25501 | 25193 |
| 2 | 25502 | 25107 |
| 3 | 25503 | 25103 |
| 4 | 25504 | 25148 |
| 5 | 25505 | 25170 |
| 6 | 25506 | 25028 |
| 7 | 25507 | 25039 |
| 8 | 25508 | 25097 |
| 9 | 25509 | 25070 |
| 10 | 25510 | 25160 |
| 11 | 25511 | 25185 |
| 12 | 25512 | 25111 |
| 13 | 25513 | 25063 |
| 14 | 25514 | 25085 |
| 15 | 25515 | 25133 |

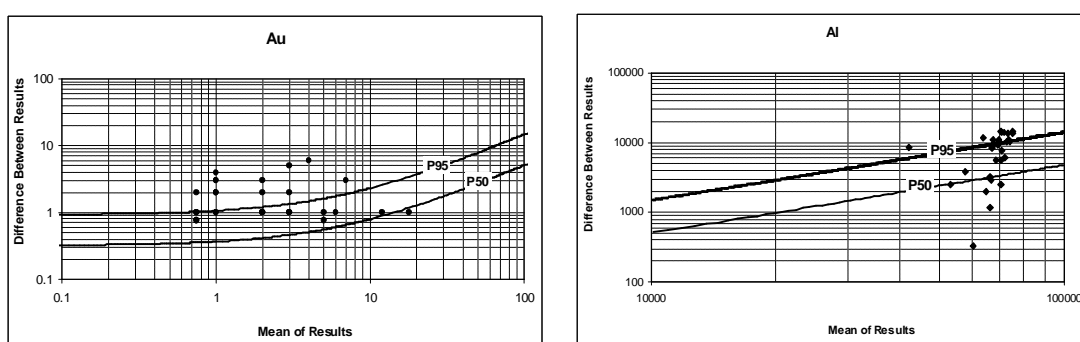
در روش ترسیمی دقیق اندازه‌گیری‌ها از طریق آنالیز جفت نمونه‌های تکراری بررسی می‌شود، از نمودار تامسون - هوارث (۲۰۰۲) نیز به همین منظور استفاده گردید (شکل ۲-۲). در این نمودار مقدار میانگین دو بار اندازه‌گیری و بر روی محور افقی و قدر مطلق دو مقدار اندازه‌گیری شده بر روی محور عمودی پیاده می‌شود. تلاقی این دو به صورت نقطه‌ای در دستگاه مختصات نمایش داده می‌شود. در دستگاه مختصات دو خط مایل و شناور نسبت به حد آشکارسازی دستگاه برای 50% و 95% رسم می‌گردد رابطه‌ی این خطوط عبارتند از:

$$P_{50} = 0.954 \left(\frac{C_L}{3} + BC \right)$$

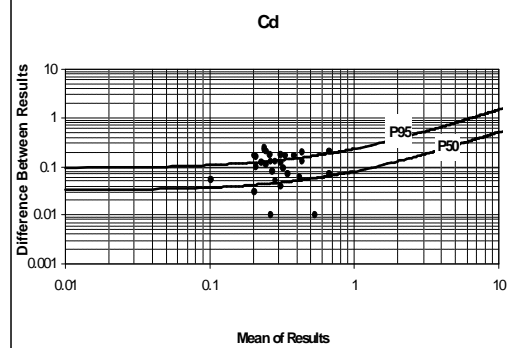
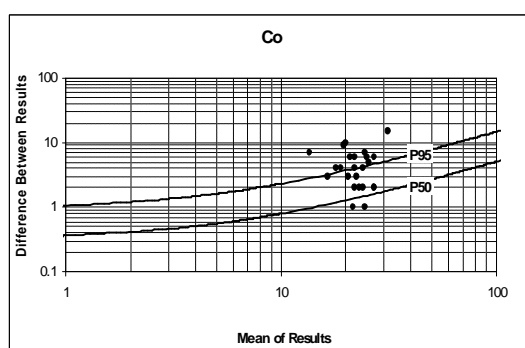
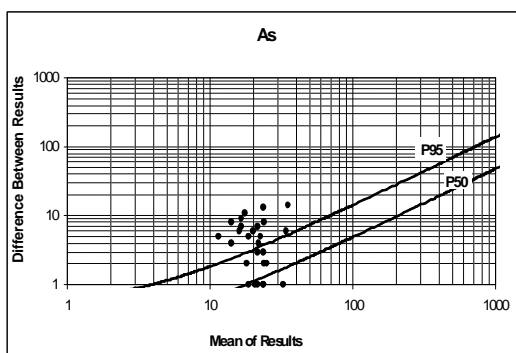
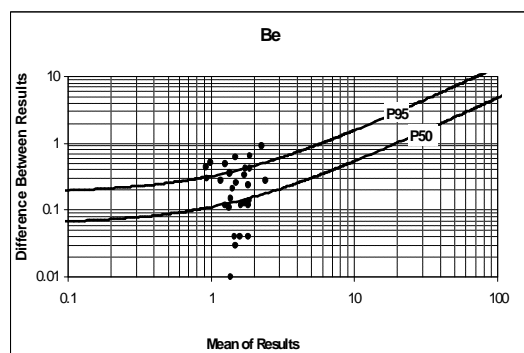
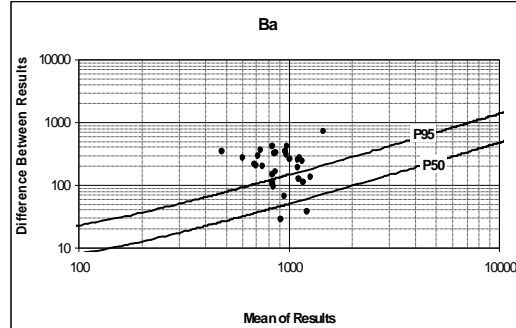
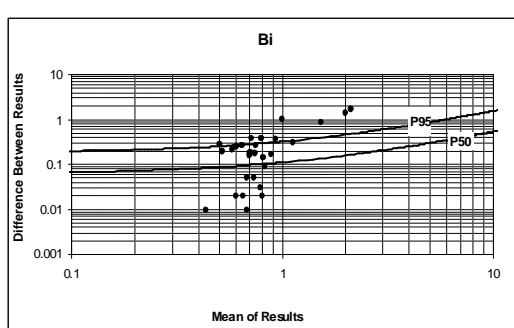
$$P_{95} = 2.772 \left(\frac{C_L}{3} + BC \right)$$

که در آن C سطح اعتمادی که بررسی‌ها در آن انجام می‌شود، C_L حد آشکارسازی پایینی و B یا به عبارتی (FFPC)^۳ مجموعه اعدادی ثابت هستند که انتخاب آن‌ها باید به نحوی صورت پذیرد که منحنی تعیین خطا در محدوده مورد نظر به دست آید. سپس نقاط بر روی آن قرار داده شده و در صورتی که 50% و 95% درصد نمونه‌ها به ترتیب زیر خطوط 50% و 95% درصد قرار گیرند دقیق دستگاه در حد مجاز یعنی 10% برآورد می‌گردد.

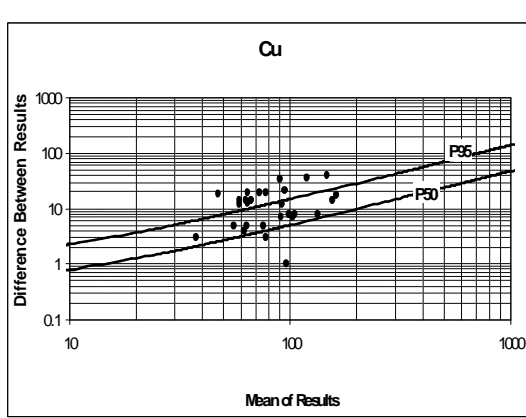
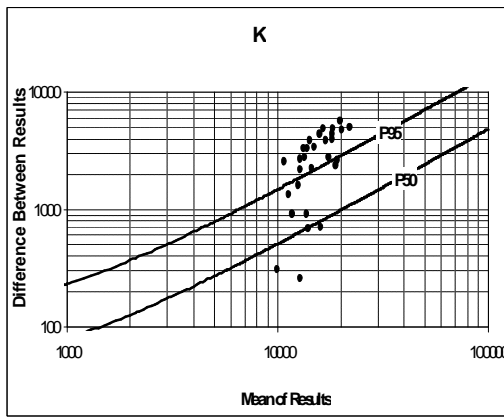
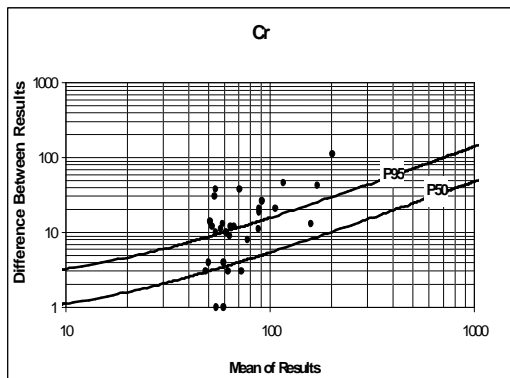
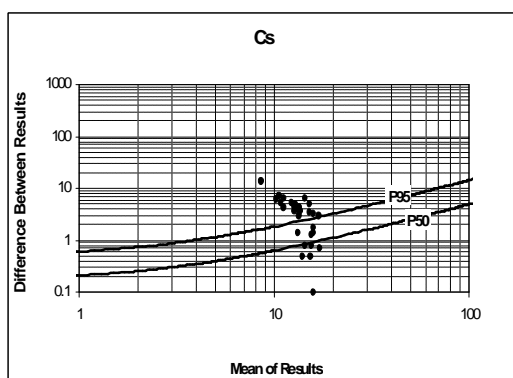
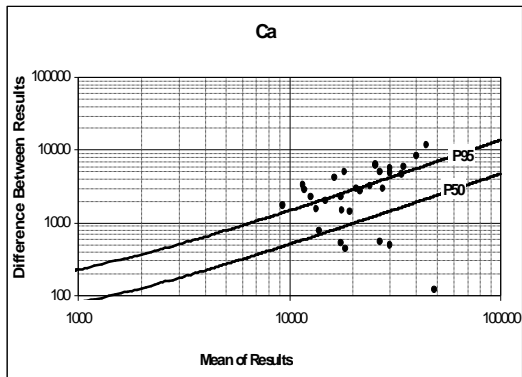
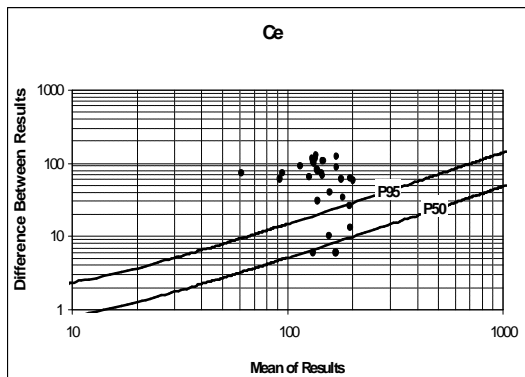
شکل ۲-۲ نتایج خطا گیری عناصر آفالیز شده در منطقه پاریز I



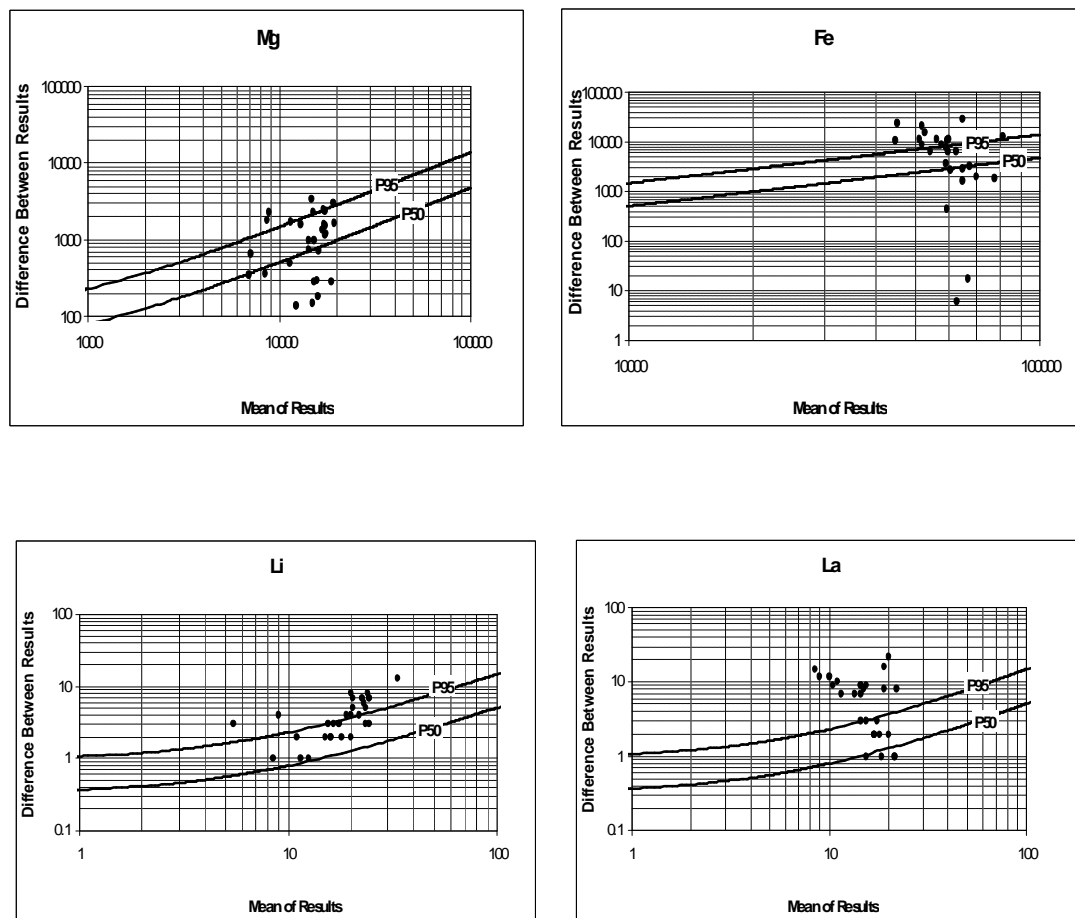
ادامه شکل ۲-۲ نتایج خطای گیری عناصر آنالیز شده در منطقه پاریز I



ادامه شکل ۲-۲ نتایج خطای گیری عناصر آنالیز شده در منطقه پاریز I



ادامه شکل ۲-۲ نتایج خطا گیری عناصر آنالیز شده در منطقه پاریز I



علاوه بر روش فوق، روش محاسباتی نیز جهت تعیین خطا به کار گرفته شده که فرمول

$$e = \frac{2}{n} \sum_{i=1}^n \frac{|X_i - Y_i|}{X_i + Y_i}$$

به عنوان ملاک تعیین خطا در نظر گرفته شده است که در آن n تعداد نمونه‌های تکراری و X و Y مقادیر اندازه‌گیری شده در نمونه‌های تکراری متناظر می‌باشند. مقادیر نهایی خطا برای عناصر مختلف در جدول ۲-۶ گزارش شده است. تفسیر این اعداد براساس ملاک‌های زیر انجام پذیرفت:

| | | |
|--|--|---|
|  ایتوک ایران IRAN ITOK Engineering, Procurement & General Contracting | <p>پی جویی به روش اکتشافات ژئوشیمیایی ۱:۲۵۰۰۰ در محدوده پاریز I</p> <p>(استان کرمان) - فصل دوم - اکتشافات ژئوشیمیایی</p> |  جغرافیا جهانی سازمان زمین شناسی و اکتشافات معدنی کشور |
|--|--|---|

$$X > 20d.l. \Rightarrow e < 10\%$$

$$20d.l. > X > 10d.l. \Rightarrow e < 20\%$$

$$X = 10d.l. \Rightarrow e < 3d.l.$$

که در آن e مقدار خطأ، d.l. حد پایینی آشکارسازی و X مقدار عنصر در نمونه‌ی اصلی می‌باشد(جدول)

.(۶-۲)

جدول ۶-۲ نتایج آزمونهای استیودفت تی ، فیشر ، ضریب همبستگی و دقت محاسبه شده به روش هاوارد تامسون

| Variable | Mean | Mean-D | Fischer | T-student | Correlation% | relative Error |
|----------|----------|----------|---------|-----------|--------------|----------------|
| Au | 3.06 | 1.84 | 7.98 | 1.678 | -9 | 69.67 |
| Al | 71252.33 | 63780.43 | 3.14 | 3.879 | 82 | 12.16 |
| Ca | 24918.33 | 21788.37 | 1.33 | 1.214 | 97 | 14.91 |
| Fe | 63228.80 | 73912.27 | 0.69 | 1.707 | 89 | 16.28 |
| K | 16252.67 | 14198.00 | 0.51 | 2.374 | 77 | 17.35 |
| Mg | 14274.43 | 14576.07 | 0.98 | 0.322 | 91 | 8.66 |
| Na | 16300.97 | 16987.20 | 0.59 | 0.991 | 80 | 10.37 |
| As | 19.10 | 23.27 | 1.00 | 2.706 | 72 | 24.20 |
| Ba | 865.100 | 992.033 | 0.27 | 1.977 | 58 | 27.58 |
| Be | 1.48 | 1.59 | 0.88 | 1.179 | 62 | 18.56 |
| Bi | 0.91 | 0.77 | 0.13 | 1.156 | 0.66 | 31.72 |
| Cd | 0.27 | 0.37 | 1.00 | 2.817 | 0.77 | 42.84 |
| Ce | 115.33 | 178.57 | 0.49 | 6.268 | 0.39 | 50.28 |
| Co | 20.73 | 24.53 | 1.14 | 3.497 | 0.66 | 17.33 |
| Cr | 70.73 | 86.90 | 2.04 | 1.582 | 0.88 | 21.22 |
| Cs | 12.03 | 15.39 | 0.15 | 4.925 | 0.43 | 30.51 |
| Cu | 93.20 | 79.80 | 0.79 | 1.615 | 0.95 | 16.61 |
| La | 13.27 | 18.57 | 0.50 | 4.144 | 0.15 | 47.01 |
| Li | 20.33 | 16.70 | 0.37 | 2.283 | 0.96 | 22.25 |
| Mn | 1075.47 | 1314.43 | 1.06 | 3.346 | 0.71 | 20.80 |
| Mo | 1.12 | 1.59 | 0.61 | 2.749 | 0.69 | 47.61 |
| Nb | 22.50 | 24.03 | 0.96 | 0.871 | 0.86 | 14.18 |
| Ni | 28.07 | 33.43 | 1.57 | 2.654 | 0.85 | 17.28 |
| P | 886.13 | 1019.93 | 0.71 | 2.764 | 0.86 | 15.35 |
| Pb | 38.57 | 41.30 | 1.20 | 0.485 | 0.92 | 14.38 |
| Rb | 67.47 | 53.87 | 1.25 | 1.827 | 0.70 | 41.46 |
| S | 441.40 | 450.97 | 0.88 | 0.047 | 0.95 | 29.50 |
| Sb | 1.39 | 1.11 | 1.58 | 1.081 | 0.52 | 65.66 |
| Sc | 17.43 | 19.53 | 0.64 | 2.166 | 0.78 | 14.70 |

| | | |
|--|--|---|
|  ایتوک ایران IRAN ITOK Engineering, Procurement & General Contracting | <p>پی جویی به روش اکتشافات ژئوشیمیایی ۱:۲۵۰۰۰ در محدوده پاریز I (استان کرمان) - فصل دوم - اکتشافات ژئوشیمیایی</p> |  جهانگردان سازمان اسناد و کتابخانه ملی اکتشافات معدنی کشور |
|--|--|---|

جدول ۲-۶ نتایج آزمونهای استیودنت قی، فیشر ، ضریب همبستگی و دقت محاسبه شده به روش هاوارد تامسون

| Variable | Mean | Mean-D | Fischer | T-student | Correlation% | relative Error |
|----------|---------|---------|---------|-----------|--------------|----------------|
| Sn | 1.76 | 2.71 | 0.91 | 2.429 | -0.01 | 100.24 |
| Sr | 355.83 | 266.03 | 0.01 | 1.066 | -0.15 | 27.83 |
| Te | 0.31 | 0.36 | 0.55 | 1.446 | 0.03 | 39.37 |
| Th | 12.23 | 15.90 | 4.650 | 4.650 | 0.46 | 30.74 |
| Ti | 5972.43 | 6251.97 | 0.95 | 0.649 | 0.86 | 11.23 |
| U | 10.46 | 11.40 | 13 | 1.120 | 0.76 | 20.69 |
| V | 257.93 | 271.67 | 1.23 | 0.326 | 0.97 | 9.53 |
| W | 2.37 | 2.94 | 1.33 | 2.946 | 0.27 | 32.45 |
| Y | 18.77 | 22.83 | 0.63 | 3.343 | 0.47 | 24.78 |
| Yb | 2.89 | 2.69 | 0.60 | 1.301 | 0.53 | 17.95 |
| Zn | 125.87 | 153.47 | 1.33 | 2.338 | 0.90 | 20.76 |
| Zr | 122.83 | 119.60 | 0.21 | 0.386 | 0.74 | 20.73 |

با توجه به نتایج حاصل از این دو روش می توان عناصر را به چهار گروه تقسیم نمود.

گروه اول شامل عناصری هستند که دارای خطای بالای ۵۰ % هستند که عناصر Sb و Au و Ce, Sn در این گروه قرار می گیرند. به صورت عام چنین خطایی در پردازش های ژئوشیمیایی پذیرفته شده نیست و اعتماد به نتایج و عیار های آن مشکل است. با این حال، آن گونه که پیشتر نیز ذکر گردید، نزدیکی اعداد قرائت شده توسط دستگاه با حد آشکار سازی آن می تواند خطاهای کاذب و بسیار بالا ایجاد نماید. طلا تقریبا در این گروه قرار می گیرد، به عبارتی در حالی که مقدار عددی خطای طلا بیش از ۶۹ % می باشد اما با توجه به مقدار نزدیک به حد آشکار سازی آن در اغلب نمونه ها و همچنین شکل پراکندگی نقاط بر روی دیاگرام های تامسون - هوارت می توان از نتایج آن بهره گرفت. سه عنصر دیگر این مجموعه از این شرایط برخوردار نیستند و به نظر می باشند از پردازش یا حداقل نتیجه گیری موثر و تاثیر گذار بر پایه نتایج آن خودداری نمود. توجه گردد که این خطای نسبتاً بالا می تواند ناشی از نا مناسب بودن روش آنالیز برای این عناصر باشد.

گروه دوم و سوم را دسته ای از عناصر تشکیل می دهند که خطایی بین ۲۰ تا ۵۰ درصد دارند. گروه دوم شامل عناصر W, Te, Rb, Mo, La, Cd, Bi،

| | | |
|--|--|--|
|  ایتوک ایران IRAN ITOK Engineering, Procurement & General Contracting | <p>پی جویی به روش اکتشافات ژئوشیمیایی ۱:۲۵۰۰۰ در محدوده پاریز I (استان کرمان) - فصل دوم - اکتشافات ژئوشیمیایی</p> |  جهانگردان سازمان اسناد و کتابخانه ملی اکتشافات معدنی کشور |
|--|--|--|

مجموعه عنصری خطاگی معادل ۲۰ تا ۳۰ Cs, Th, As, Ba, Cr, La, Li, S, Sr, U, Y, Zn, Zr درصد دارد. این میزان خطا به لحاظ ژئوشیمیایی مطلوب نیست. با این حال استفاده از مقادیر عیاری آن‌ها به ویژه گروه سوم در صورت همراهی و تایید توسط سایر شواهد امکان پذیر است. گروه چهارم عناصری هستند که اغلب خطاگی زیر ۲۰٪ دارند. این گروه شامل عناصر Yb, V, Ti, Sc, Pb, P, Ni, Nb, Cu, Cr, Be, Na, Mg, K, Fe, Ca, Al محدودیت‌های فن‌آوری می‌توان این خطا را در حد مجاز جهت دقت نتایج محسوب نمود و نسبت به بررسی و تفسیرشان اقدام نمود.

۹-۲- مطالعات آماری تک متغیره

روش‌های آماری تک متغیره صرف نظر از میزان پیچیدگی و اهداف خاص مورد نظر در هر مطالعه، پایه و اساس مطالعات ژئوشیمیایی می‌باشد. به علت سادگی نسبی آنالیز تک متغیره، این روش‌ها عموماً به صورت سطحی مورد استفاده قرار می‌گیرند. در مطالعاتی که اصولاً روش‌های چند متغیره را مد نظر دارند یک درک درست از متغیرهای منفرد برای توصیف نتایج حاصل از روش‌های چند متغیره الزامی است. در حقیقت در بسیاری از موارد نتایج مطالعات چند متغیره را می‌توان به وسیله یک روش تک متغیره تفصیلی پیش‌بینی کرد به ویژه اگر این روش با یک مطالعه همبستگی ساده همراه باشد. ضمناً شناخت تابع هر توزیع، نیاز به وجود پارامترهای آماری معینی از آن تابع می‌باشد. در بحث پردازش داده‌های خام، مقادیر اولیه آماری، هیستوگرام و منحنی تجمعی P-P هر عنصر محاسبه و ترسیم گردید.

۱-۹-۲ - پارامترهای آماری داده‌های خام

برای مقایسه تغییرات هر عنصر و مقدار آن می‌توان از پارامترهای معرف پراکندگی داده‌ها استفاده کرد. در جوامع لاغ نرمال مقادیر بالا با فراوانی کم می‌تواند معرف پتانسیل‌های اقتصادی باشد که خود به صورت چولگی مثبت با انحراف معیار بالا معرفی می‌شوند. در این مرحله مقدارهای میانگین، میانه، مد، پراش، انحراف معیار، درصد ضریب تغییرات، چولگی، کشیدگی، مقادیر حداقل حداکثر و مقادیر چارکی هر عنصر بدون نرمال‌سازی و بر روی داده‌های خام صورت پذیرفت. با توجه به جدول ۷-۲ تغییرات

میانگین غلظت عناصر در منطقه پاریز ۲/۸۸ گرم در تن برای طلا تا ۷۲۱۵۱/۳۸۱۵۱ گرم در تن برای آلمینیوم متغیر می‌باشد. بالابودن عنصر سنگ‌های اسیدی و حد واسط آذربین قابل توجیه است.

مقادیر پارامترهای میانه و میانگین تفاوت نسبتاً زیادی با یکدیگر داشته که می‌تواند ناشی از توزیع عیاری متفاوت و حضور نمونه‌های پرعیار باشد البته در نمونه‌های کم عیار نیز می‌تواند چنین وضعیتی ایجاد شود، اما به لحاظ آن که مقادیر میانگین به عنوان متوسط کلیه عیارها از میانه به عنوان نقطه مرکزی بالاتر است این احتمال متفقی شده و حضور آنومالی مثبت محتمل‌تر است. توزیع پارامترهای پراکندگی همچون واریانس و انحراف از معیار عناصر گوگرد، مولیبدن و حتی سرب نیز در بازه‌ای وسیع قرار می‌گیرد. عناصر طلا، مس، آنتیموان، آرسنیک، باریم، قلع، تنگستن، روی و حتی وانادیوم و سلنیوم نیز چنین تفاوت‌هایی در میان این پارامترهای نشان می‌دهند اما شدت آن کمتر است. در مقابل گروههای ذکر شده عناصر آلمینیوم، ایتریوم و اسکاندیوم دارای مقادیر میانگین کمتری از میانه می‌باشند. این موضوع می‌تواند نشان از آنومالی منفی این عناصر را داشته باشد. با توجه به عدم اهمیت چندان این عناصر به عنوان ردیاب یا عناصر همراه کانی‌سازی، این مساله چندان قابل توجه نمی‌باشد. در مورد سایر عناصر تفاوت محسوسی میان این دو پارامتر مشاهده نمی‌شود این موضوع را می‌توان به جهت توزیع نرمال این عناصر در محدوده تعبیر نمود.

در صد ضریب تغییرات به عنوان یک شاخص از تنوع عیاری که اغلب حاصل وجود نمونه‌های ناهنجار می‌باشد، تعبیر می‌گردد. بیشترین ضریب تغییرات اندازه گیری شده در این پروژه مربوط به عناصر طلا با(۵/۱۷۵)، سرب با(۱/۷۲)، گوگرد با(۱۱۷۵%) و آنتیموان با(۲/۳۵۱) بوده و کمترین ضریب تغییرات نیز مربوط به عنصر آلمینیوم با(۵/۱۱) می‌باشد.

جدول ۷-۲ مقادیر پارامترهای آماری تک متغیره برای داده‌های خام در منطقه پاریز I

| Element | Au | Al | Ca | Fe | K | Mg | Na | As | Ba | Be | Bi | Cd | Ce | Co | Th | Ti | Yb | Zn | Zr | |
|----------------|---------|------------|-------------|-------------|-------------|-------------|-------------|---------|------------|---------|---------|---------|----------|---------|---------|-------------|---------|----------|----------|------|
| N used. | 377 | 377 | 377 | 377 | 377 | 377 | 377 | 377 | 377 | 377 | 377 | 377 | 377 | 377 | 377 | 377 | 377 | 377 | | |
| Mean | 2.88 | 72151.38 | 30010.35 | 56940.2 | 15816.88 | 14221.12 | 16507.29 | 18.396 | 807.42 | 1.3216 | 0.759 | 0.2758 | 109.49 | 19.66 | 11.362 | 5329.46 | 2.625 | 118.72 | 124.49 | |
| Median | 2 | 73181 | 26087 | 55646 | 15225 | 14362 | 16674 | 17 | 764 | 1.31 | 0.69 | 0.24 | 98 | 20 | 11.1 | 5261 | 2.7 | 108 | 123 | |
| Std. Deviation | 5.052 | 8300.826 | 16823.137 | 15346.434 | 3979.745 | 3634.514 | 3584.945 | 7.9517 | 335.365 | 0.38734 | 0.35432 | 0.14149 | 47.521 | 4.645 | 4.0468 | 1279.173 | 0.6204 | 49.015 | 50.509 | |
| Variance | 25.523 | 68903704.1 | 283017946.5 | 235513026.1 | 15838373.99 | 13209691.92 | 12851830.63 | 63.229 | 112469.463 | 0.15 | 0.126 | 0.02 | 2258.235 | 21.577 | 16.377 | 1636282.813 | 0.385 | 2402.493 | 2551.192 | |
| Skewness | 6.793 | -1.73 | 2.771 | 1.404 | 0.712 | 0.172 | 0.145 | 1.14 | 2.901 | 0.287 | 2.187 | 2.251 | 0.464 | 0.469 | 0.694 | 1.033 | -0.524 | 2.55 | 1.026 | |
| Kurtosis | 55.077 | 8.054 | 13.367 | 4.74 | 1.77 | 2.489 | 2.495 | 2.766 | 19.387 | -0.118 | 7.965 | 9.005 | -0.882 | 1.825 | 2.371 | 4.749 | 0.645 | 9.587 | 3.519 | |
| K-S Test | 0.00000 | 0.04326 | 0.00000 | 0.00262 | 0.01585 | 0.19796 | 0.17378 | 0.00154 | 0.01358 | 0.95271 | 0.00000 | 0.00000 | 0.00074 | 0.13857 | 0.68231 | 0.14385 | 0.00023 | 0.00000 | 0.00059 | |
| Minimum | 1 | 13188 | 4459 | 20658 | 731 | 496 | 346 | 3 | 23 | 0.43 | 0.15 | 0.08 | 12 | 4 | 1.1 | 1090 | 0.4 | 47 | 4 | |
| Maximum | 55 | 88931 | 146914 | 139087 | 29810 | 34319 | 32195 | 62 | 3491 | 2.53 | 2.97 | 1.28 | 216 | 39 | 31.8 | 12477 | 4.3 | 466 | 368 | |
| Percentiles | 25 | 1 | 68025 | 19528.5 | 48062.5 | 13271 | 12248.5 | 14420.5 | 13 | 587.5 | 1.05 | 0.53 | 0.19 | 72 | 17 | 8.2 | 4566.5 | 2.3 | 91 | 96.5 |
| | 50 | 2 | 73181 | 26087 | 55646 | 15225 | 14362 | 16674 | 17 | 764 | 1.31 | 0.69 | 0.24 | 98 | 20 | 11.1 | 5261 | 2.7 | 108 | 123 |
| | 75 | 3 | 77633 | 35332.5 | 63368.5 | 17849.5 | 16353 | 18703 | 23 | 976 | 1.58 | 0.88 | 0.32 | 150 | 23 | 14.2 | 6030 | 3 | 125 | 146 |

| Element | Cu | La | Li | Mn | Mo | Nb | Ni | P | Pb | Rb | S | Sb | Sc | Sn | U | V | W | Y | |
|----------------|----------|---------|---------|------------|---------|---------|---------|-----------|----------|---------|------------|---------|---------|---------|---------|----------|---------|---------|----|
| N used. | 377 | 377 | 377 | 377 | 377 | 377 | 377 | 377 | 377 | 377 | 377 | 377 | 377 | 377 | 377 | 377 | 377 | 377 | |
| Mean | 102.12 | 13.62 | 21.32 | 1055.85 | 1.3303 | 19.75 | 26.61 | 861.12 | 39.15 | 61.51 | 345.78 | 1.5175 | 16.802 | 1.755 | 9.499 | 215.32 | 2.238 | 18.38 | |
| Median | 84 | 14 | 21 | 1007 | 0.83 | 20 | 26 | 863 | 29 | 60 | 240 | 1.3 | 17.4 | 1.3 | 9.2 | 199 | 2.1 | 19 | |
| Std. Deviation | 81.246 | 6.547 | 7.577 | 366.362 | 3.24629 | 5.368 | 7.507 | 189.328 | 39.821 | 27.981 | 525.992 | 2.91893 | 4.2064 | 1.4668 | 2.8885 | 88.249 | 0.8008 | 4.831 | |
| Variance | 6600.938 | 42.862 | 57.404 | 134220.921 | 10.538 | 28.813 | 56.35 | 35844.928 | 1585.715 | 782.946 | 276667.289 | 8.52 | 17.694 | 2.152 | 8.343 | 7787.943 | 0.641 | 23.343 | |
| Skewness | 5.373 | 0.135 | 0.289 | 1.378 | 10.899 | 0.703 | 0.656 | 0.461 | 6.875 | 0.354 | 6.632 | 17.088 | -0.393 | 0.911 | 0.462 | 2.54 | 0.807 | -0.555 | |
| Kurtosis | 37.061 | 0.314 | 1.157 | 4.23 | 140.706 | 2.378 | 2.343 | 1.134 | 66.657 | 0.061 | 50.489 | 316.915 | -0.27 | 0.283 | 0.211 | 9.339 | 1.764 | -0.137 | |
| K-S Test | 0.00000 | 0.05635 | 0.21669 | 0.00006 | 0.00000 | 0.01358 | 0.09752 | 0.57029 | 0.00000 | 0.20457 | 0.00000 | 0.00000 | 0.16080 | 0.00000 | 0.08890 | 0.00000 | 0.05202 | 0.00004 | |
| Minimum | 20 | 1 | 3 | 69 | 0.38 | 5 | 7 | 271 | 10 | 2 | 81 | 0.38 | 3.7 | 0.3 | 2.3 | 77 | 0.7 | 5 | |
| Maximum | 864 | 40 | 58 | 3108 | 49.43 | 45 | 70 | 1637 | 523 | 149 | 5627 | 55.66 | 26.9 | 8 | 18.7 | 725 | 6.3 | 31 | |
| Percentiles | 25 | 69 | 9 | 17 | 865 | 0.6 | 17 | 21.5 | 731 | 24 | 42 | 187 | 0.77 | 14.25 | 0.375 | 7.65 | 164 | 1.65 | 16 |
| | 50 | 84 | 14 | 21 | 1007 | 0.83 | 20 | 26 | 863 | 29 | 60 | 240 | 1.3 | 17.4 | 1.3 | 9.2 | 199 | 2.1 | 19 |
| | 75 | 103 | 18 | 26 | 1190.5 | 1.2 | 23 | 31 | 982.5 | 39.5 | 77.5 | 323 | 1.8 | 20 | 2.9 | 11.25 | 239.5 | 2.7 | 22 |

| | | |
|--|--|--|
|  ایتوک ایران IRAN ITOK Engineering, Procurement & General Contracting | <p>پی جویی به روش اکتشافات ژئوشیمیایی ۱:۲۵۰۰۰ در محدوده پاریز I (استان کرمان) - فصل دوم - اکتشافات ژئوشیمیایی</p> |  جهانگردان سازمان اسناد و کتابخانه ملی اکتشافات معدنی کشور |
|--|--|--|

آزمون کولوموگروف - اسمیرنوف^۴ به عنوان یکی از معیارهای مهم جهت تشخیص نرمال یا غیرنرمال بودن توزیع‌های مختلف کاربرد دارد. در مورد بسیاری از داده‌های ژئوشیمیایی به خصوص عناصرکمیاب، توزیع نرمال نیست. بر این اساس صرفاً عناصر در حالت اولیه دارای توزیع نرمال و زنگولهای شکل هستند و سایر عناصر بایستی به نحوی به حالت نرمال نزدیک شود.

عناصر کمیاب معمولاً دارای مرکز اندازی در محیط‌های ژئوشیمیایی هستند، اما معمولاً در مناطق کانه‌سازی شده مرکز بالایی پیدا می‌کنند. این موضوع باعث ایجاد نوعی کجشدنگی مثبت در توزیع داده‌های مربوط به این عناصر می‌گردد. کجشدنگی یا چولگی معیاری برای سنجش عدم تقارن درتابع توزیع می‌باشد که به صورت زیر تعریف می‌شود:

$$W = \frac{E(X - m)}{S^3} \quad \text{یا} \quad W = \frac{E(X - \bar{X})^3}{S^3}$$

که در آن X مقدار متغیر تصادفی، m میانگین جامعه‌ی کل، S انحراف معیار جامعه‌ی کل، \bar{X} میانگین جامعه‌ی نمونه، S انحراف معیار جامعه‌ی نمونه و E امیدریاضی می‌باشد. به طور کلی جوامع نرمال دارای چولگی صفر می‌باشند.

با توجه به جدول ۲-۶ بیشترین چولگی مربوط به عنصر آنتیموان با مقدار ۰/۸۸ و کمترین چولگی مربوط به عنصر آلومینیوم با مقدار ۱/۷۳ می‌باشد. همانطور که ذکر شد میزان بالای چولگی می‌تواند به علت غلظت بالای چند نمونه باشد. البته این موضوع در مورد چولگی منفی به عکس بوده و به عبارتی نشان از غلظت کم چند نمونه می‌باشد.

کشیدگی معیاری از میزان تیزی منحنی در نقطه‌ی ماکزیمم است که به صورت زیر تعریف می‌شود:

$$K = \frac{E(X - \bar{X})^4}{S^4} \quad \text{یا} \quad K = \frac{E(X - m)^4}{S^4}$$

که در آن X متغیر تصادفی، m میانگین جامعه‌ی کل، S انحراف معیار جامعه‌ی کل، \bar{X} میانگین داده‌ها و S انحراف معیار و E امیدریاضی است. کشیدگی را گشتاور و مرتبه‌ی چهارم نیز می‌نامند. به هر ترتیب در توزیع نرمال کشیدگی و کجشدنگی به صفر نزدیک در یکتابع توزیع نرمال کشیدگی دارای مقدار ۳

^۴ Kolomogrov-Smirnov -

| | | |
|--|--|--|
|  ایتوک ایران IRAN ITOK Engineering, Procurement & General Contracting | <p>پی جویی به روش اکتشافات ژئوشیمیایی ۱:۲۵۰۰۰ در محدوده پاریز I (استان کرمان) - فصل دوم - اکتشافات ژئوشیمیایی</p> |  جهانگردان سازمان اسناد و کتابخانه ملی اکتشافات معدنی کشور |
|--|--|--|

می باشد و هر چه مقادیر کشیدگی کمتر یا بیشتر از مقدار فوق باشد خاصیت غیر نرمال بودن آن توزیع را بیان می کند. با این حال نرم افزارهای آماری به گونه ای طراحی شده اند که این مقدار برای جامعه نرمال صفر خواهد شد. در این پروژه بیشترین کشیدگی مربوط به عنصر آنتیموان با مقدار ۳۱۶/۹۱۵ و کمترین آن مربوط به سزیم با ۰/۸۸۲ می باشد. طلا و مس نیز به عنوان عناصر اصلی هدف اکتشاف دارای مقادیر حدود ۵۵ و ۳۷ هستند. مقدار نسبتاً بالا بوده و اغلب مربوط به تجمع عیاری در مقادیر کم و به عبارتی زمینه‌ی عمومی سنگ‌ها می باشد.

۲-۹-۲ - توصیف نمودارهای آماری داده‌های خام و هیستوگرام و منحنی تجمعی (Q-Q)

به جز پارامترهای آماری اولیه که نشان از خواص هر تابع ژئوشیمیایی برای هر عنصر دارند، هیستوگرام و منحنی تجمعی Q-Q هر عنصر نیز می‌تواند همان خواص و خواص دیگر ژئوشیمیایی را نشان دهد. به همین منظور در شکل ۲-۳ نمودارهای یادشده آورده شده‌اند. البته با وجود محاسبه و ترسیم برای همه عناصر لیکن از تشریح عناصر کم اهمیت تر صرف نظر گردیده است.

عناصر طلا، آنتیموان: همان طور که در هیستوگرام عنصر طلا دیده می‌شود مقادیر خارج از ردیف در داده‌ها زیاد دیده شد و چولگی این هیستوگرام مثبت و غیر نرمال می‌باشد. ۹۵٪ از نمونه‌های برداشتی دارای عیاری در بازه ۰ تا ۰/۰۰۷ هستند. بیشترین غلظت این عنصر مربوط به نمونه شماره ۲۵۳۴۱ و با عیار ۰/۰۵۵ گرم در تن می‌باشد که نسبت به نمونه‌های دیگر و همچنین مقادیر کلارک این عنصر، غنی‌شدگی زیادی را نشان می‌دهد. این نمونه مقادیر بالایی از عناصر مولیبدن و آنتیموان نیز دارد. برای هر نمودار تجمعی این عنصر دو گروه شاخص کم و پرعيار با مرز تقریبی ۱۲ گرم در تن برای آن قابل شناسایی می‌باشد.

هیستوگرام عنصر آنتیموان موید این مطلب است که بازه تغییرات این عنصر از ۰/۳۸ تا ۲/۳۲ گرم در تن متغیر بوده است. ماکزیمم عیار این عنصر ۵۵/۶۶ گرم در تن است که مربوط به نمونه ۲۵۳۴۱ می‌باشد. این نمونه باعث شده هیستوگرام این عنصر از حالت زنگوله‌ای خارج گردیده و توزیع نرمالی نداشته باشد. همان طور که در بالا ذکر شد. این نمونه علاوه بر عنصر آنتیموان برای عنصر طلا نیز جزء

| | | |
|--|--|---|
|  ایتوک ایران IRAN ITOK <small>Engineering, Procurement & General Contracting</small> | <p>پی جویی به روش اکتشافات ژئوشیمیایی ۱:۲۵۰۰۰ در محدوده پاریز I (استان کرمان) - فصل دوم - اکتشافات ژئوشیمیایی</p> |  جزوی از سازمان امنیت ملی اکتشافات معدنی کشور |
|--|--|---|

نمونه‌های پرعیار محسوب می‌شود. توجه شود که بر اساس همین نمودار در سایر نمونه‌های آنتیموان چندان عیار متفاوتی از خود نشان نمی‌دهد. این موضوع از طریق نمودار تجمعی نیز به خوبی قابل مشاهده است. این در حالی است که طلا نمونه‌های پراکنده بیشتری داشته و تعداد بیشتری نمونه در جامعه پرعیار قرار می‌گیرند.

عناصر مس، سرب و روی: هیستوگرام عنصر مس نیز توزیع نرمال نداشته و تعداد زیادی نمونه‌ی خارج از ردیف در آن دیده می‌شود. بیشترین عیارهای گزارش شده مربوط به نمونه‌های ۲۵۳۴۳، ۲۵۲۵۱، ۲۵۳۶۱، ۲۵۲۳۲، ۲۵۱۳۶ با عیارهای ۸۴۶ تا ۴۶۸ گرم در تن بوده که نمونه ۲۵۳۴۳ در بررسی‌های کانی سنگین اسمیت سونیت، مالاکیت، کالکوسیت، کالکوپیریت، کوولیت، کریزوکولا، سروسیت، گالن، جاروسیت، طلا دیده شده است. همچنین این نمونه جز نمونه‌های کران بالای عنصر مولیبدن نیز بوده است. نمودار تجمعی این عنصر حضور گروه نمونه‌های پرعیار با مقدار تقریبی بیش از ۲۲۰ گرم در تن را نشان می‌دهد.

با توجه به هیستوگرام و نمودار تجمعی عنصر سرب، عیار آن از ۱۰ تا ۵۲۳ گرم در تن متغیر بوده که بیشترین عیار مربوط به نمونه ۲۵۲۰۲ بوده است. هیستوگرام این عنصر از شکل توزیع نرمال تبعیت نمی‌کند. بر اساس نمودار تجمعی می‌توان سه گروه عیاری را در مورد این عنصر تشخیص داد. گروه اول با عیار زیر ۸۰ مقادیر کم عیار را نشان می‌دهند. گروه دوم عیاری بین ۸۰ تا ۲۰۰ گرم در تن را نشان داده و معرف عیار متوسط سرب در منطقه هستند و بالاخره گروه پرعیار یا خارج از ردیف پیش از ۲۰۰ گرم در تن سرب دارد.

هیستوگرام عنصر روی به تابع توزیع نرمال نزدیک تر بوده و بیشترین عیار این عنصر ۴۶۶ گرم در تن و متعلق به نمونه ۲۵۲۳۲ بوده است. با این حال و بر اساس نمودار تجمعی این عنصر سه گروه عیاری با مقادیر حداقل تا ۱۵۰ گرم در تن، ۱۵۰ تا ۳۰۰ گرم در تن را بیش از ۳۰۰ گرم در تن قابل شناسایی و معرفی می‌باشد.

عناصر آرسنیک، بیسموت، کادمیوم و باریم: هیستوگرام این عناصر نشان از عدم تقارن و چولگی مثبت دارد. در مورد عنصر آرسنیک بیشترین عیار مربوط به نمونه ۲۵۳۴۱ می‌باشد که این نمونه در

| | | |
|--|--|--|
|  ایتوک ایران IRAN ITOK Engineering, Procurement & General Contracting | <p>پی جویی به روش اکتشافات ژئوشیمیایی ۱:۲۵۰۰۰ در محدوده پاریز I (استان کرمان) - فصل دوم - اکتشافات ژئوشیمیایی</p> |  جهانگردان سازمان اسناد و کتابخانه ملی اکتشافات معدنی کشور |
|--|--|--|

هیستوگرام عناصر مس، طلا، مولیبدن، سرب و آنتیموان نیز جزء کرانهای بالا محسوب می‌شود. عنصر بیسموت نیز از منحنی توزیع نرمال تبعیت نمی‌کند. ۹۰٪ داده‌ها عیاری بیشتر از ۱/۱۸ گرم در تن دارد. ماکزیمم عیار مربوط به نمونه‌های ۲۵۱۷۰ و ۲۵۰۷۰ می‌باشد. در مورد عناصر کادمیوم و باریم نیز به همین صورت می‌باشد. بیشترین عیار کادمیوم مربوط به نمونه ۲۵۲۲۴ و در مورد باریم نمونه ۲۵۰۱۳ می‌باشد. بیشترین عیار را دارند. بر اساس نمودارهای تجمعی این عناصر برای کادمیوم، بیسموت و ۲۵۰۱۷ و ۲۵۰۱۶ بیشترین عیار را دارند. برای توان گروههای پرعیاری با مقادیر به ترتیب بالای ۰/۶۵، ۱/۶ و ۱۵۰۰ گرم بر تن جدا نمود. اما برای As نمی‌توان چنین گروهی تعریف نمود.

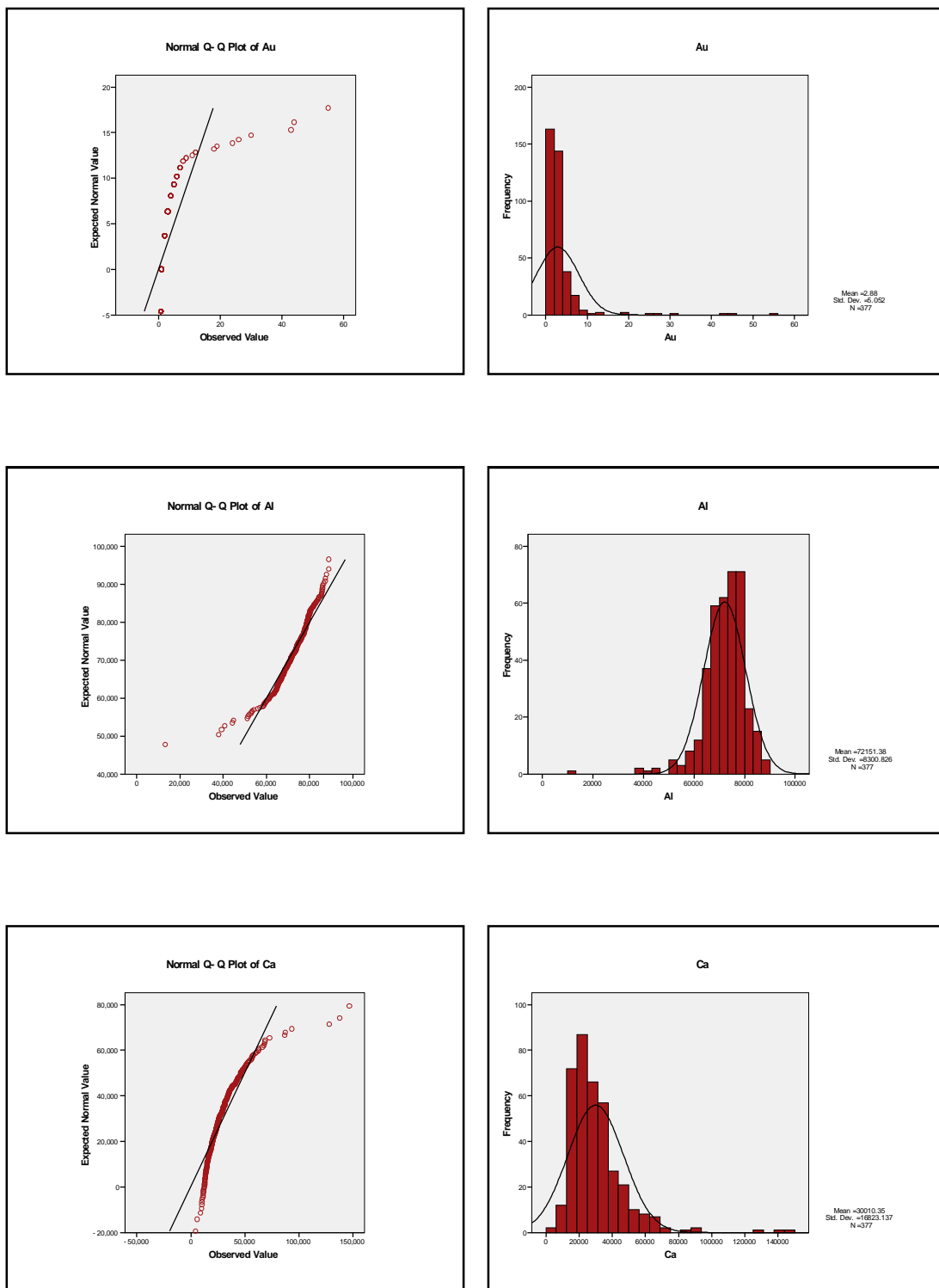
عناصر قلع، تنگستن، منگنز و گوگرد: هیستوگرام و نمودار تجمعی عنصر قلع توزیع تقریباً نرمال داده‌ها را نشان می‌دهد و بیشترین غلظت نیز ۸ گرم در تن بوده که متعلق به نمونه ۲۵۱۲۰ است. تنگستن نیز توزیع نسبتاً نرمالی را نشان می‌دهد و نمونه ۲۵۳۳۱ بیشترین غلظت را برای این عنصر به ثبت رسانده است. بر اساس نمودار تجمعی این عنصر می‌توان یک گروه پرعیار، با مقدار بیش از ۴/۲۵ گرم در تن تعریف نمود.

در مورد عناصر منگنز به استثناء چند نمونه خارج از ردیف، شکل منحنی حالت نرمال دارد. بازه تغییرات عنصر منیزیم از ۶۹ تا ۳۱۰۸ گرم در تن است. نمونه ۲۵۲۲۴ بیشترین عیار را نشان داده است که کران بالای عنصر تنگستن نیز می‌باشد. یک گروه نه چندان شاخص و پرعیار با مقادیر بیش از ۲۰۰۰ گرم در تن برای این عنصر می‌توان تحقیک نمود. عنصر گوگرد در نمونه شماره ۲۵۳۶۸ بیشترین عیار را داشته که این نمونه در عناصر مس، مولیبدن، روی نیز غلظت‌های بالایی را نشان داده است. نمودار تجمعی این عنصر به وضوح دو گروه پرعیار و کم‌عیار با مرز ۱۲۵۰ گرم را نشان می‌دهد. همین نمونه‌ها باعث شده تا شکل هیستوگرام از حالت زنگوله‌ای و نرمال خارج شود.

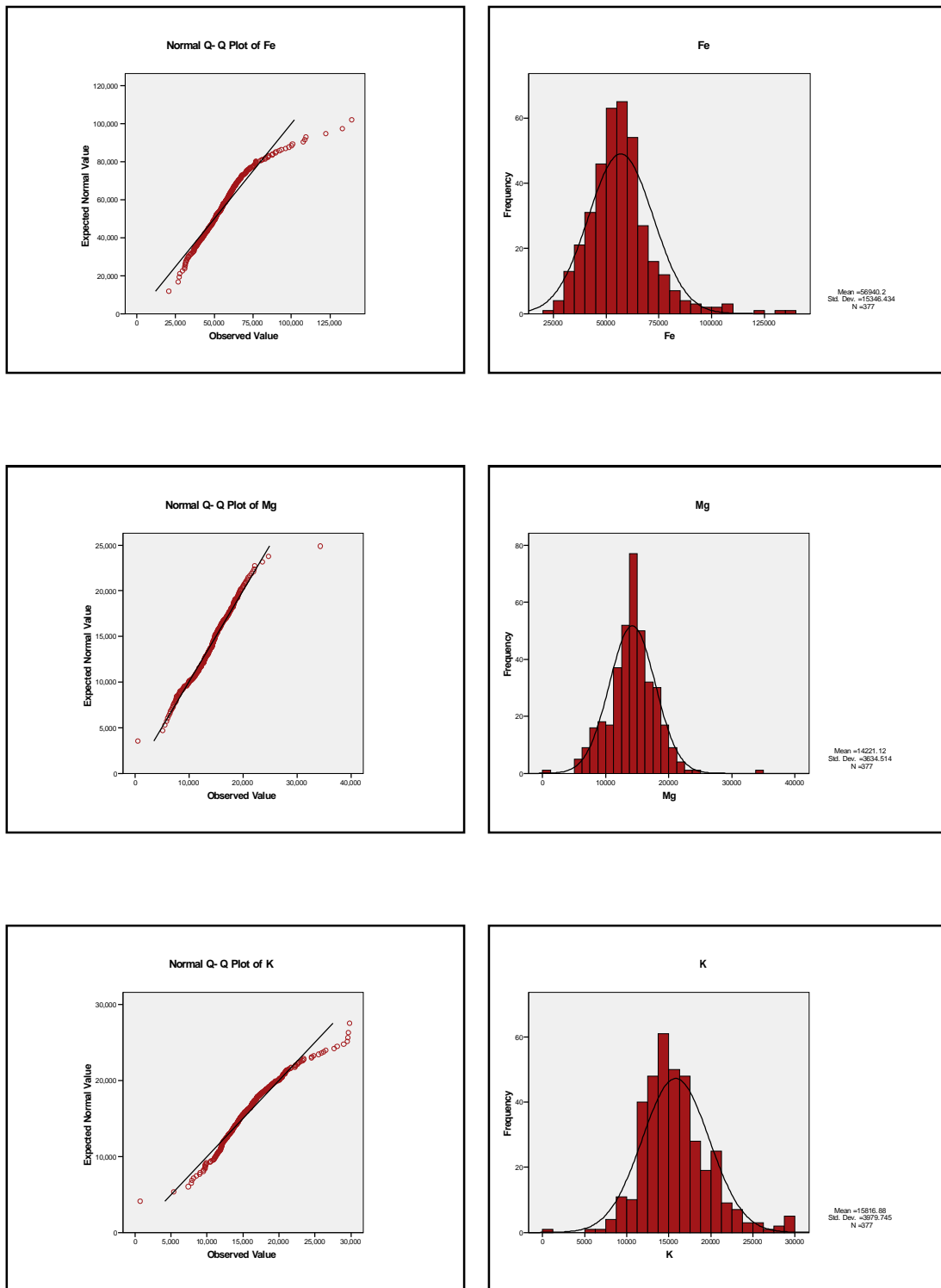
عناصر آهن، تیتانیم: هیستوگرام عنصر آهن حاکی از چولگی مثبت آن دارد بیشترین عیار نیز مربوط به نمونه ۱۳۹۰۸۷ ppm (۲۵۳۷۷) می‌باشد. که این نمونه برای عنصر وانادیوم نیز کران بالا محسوب می‌شود. گروه پرعیار این عنصر بر حسب نمودار تجمعی از ۹۵۰۰۰ آغاز می‌شود. برای عنصر تیتانیوم نیز بیشترین عیار مربوط به نمونه ۲۵۳۱۷ با عیار ۲ ۲۵۳۷۷ گرم در تن می‌باشد. مقادیر بیش از ۸۰۰۰

گرم بر تن این عنصر را می‌توان به عنوان گروه پرعیار از سایر مجموعه جدا نمود. توجه گردد که تیتانیوم به طور کلی و بر پایه هیستوگرام توضیح به حالت نرمال نزدیکتری با توجه به اهمیت اندک سایر عناصر در اکتشافات این محدوده از توضیح آنها خودداری می‌شود. اما نمودار آنها در شکل ۲-۳ آورده شده است.

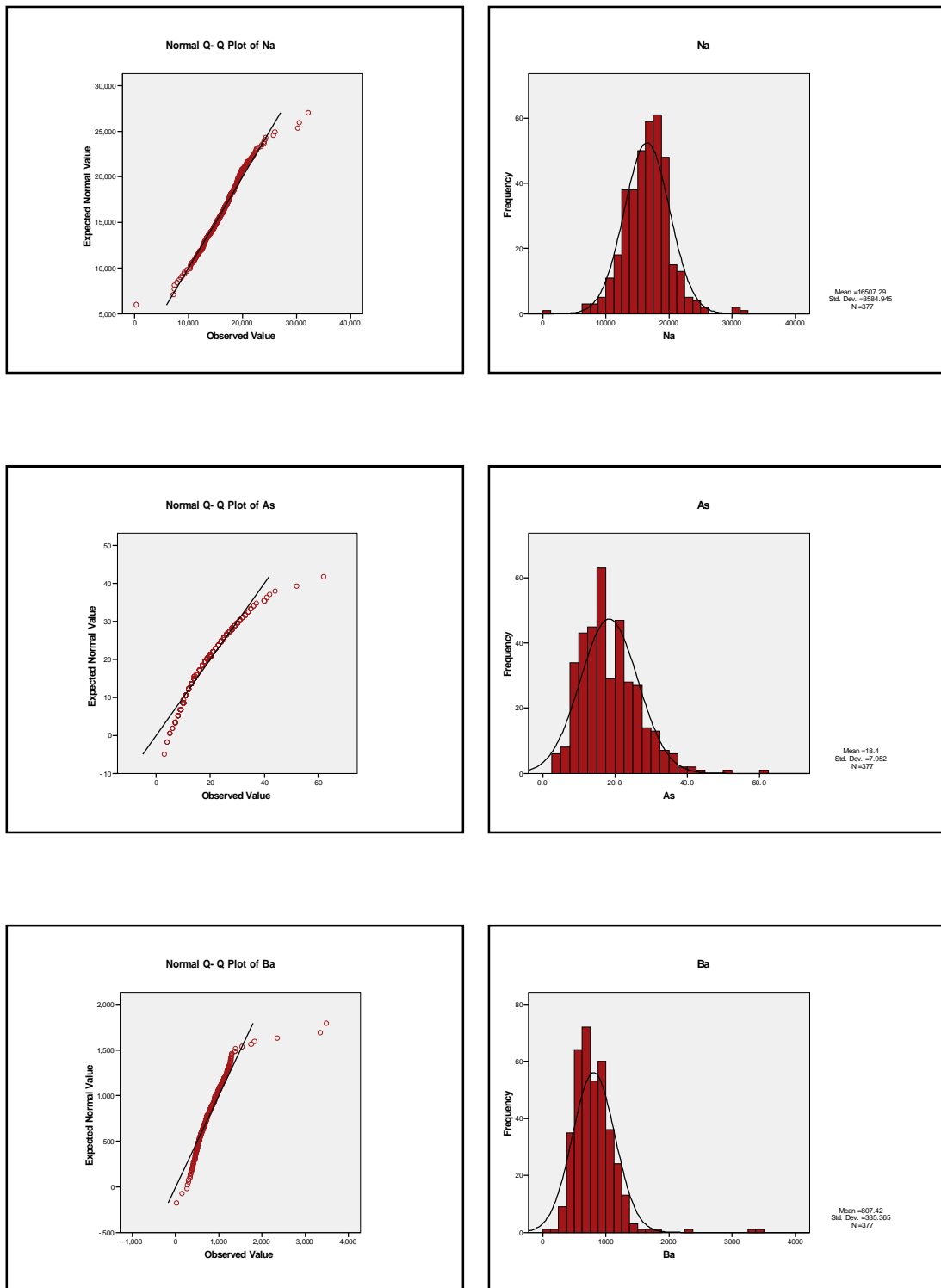
شکل ۲-۳ نمودارهای منحنی تجمعی و هیستوگرام داده های خام منطقه پاریز



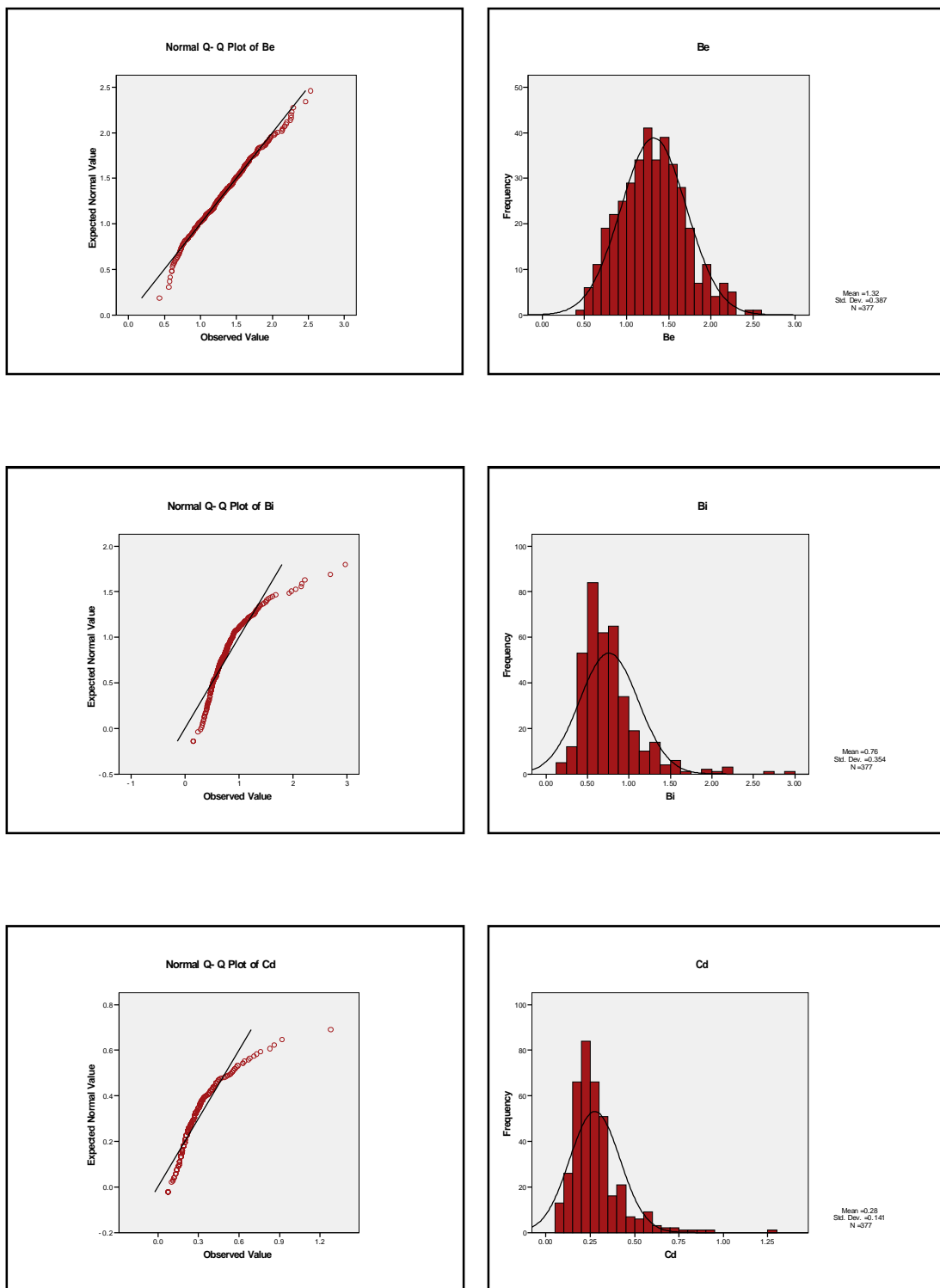
ادامه شکل ۲-۳ نمودارهای منحنی تجمعی و هیستوگرام داده های خام منطقه پاریز I



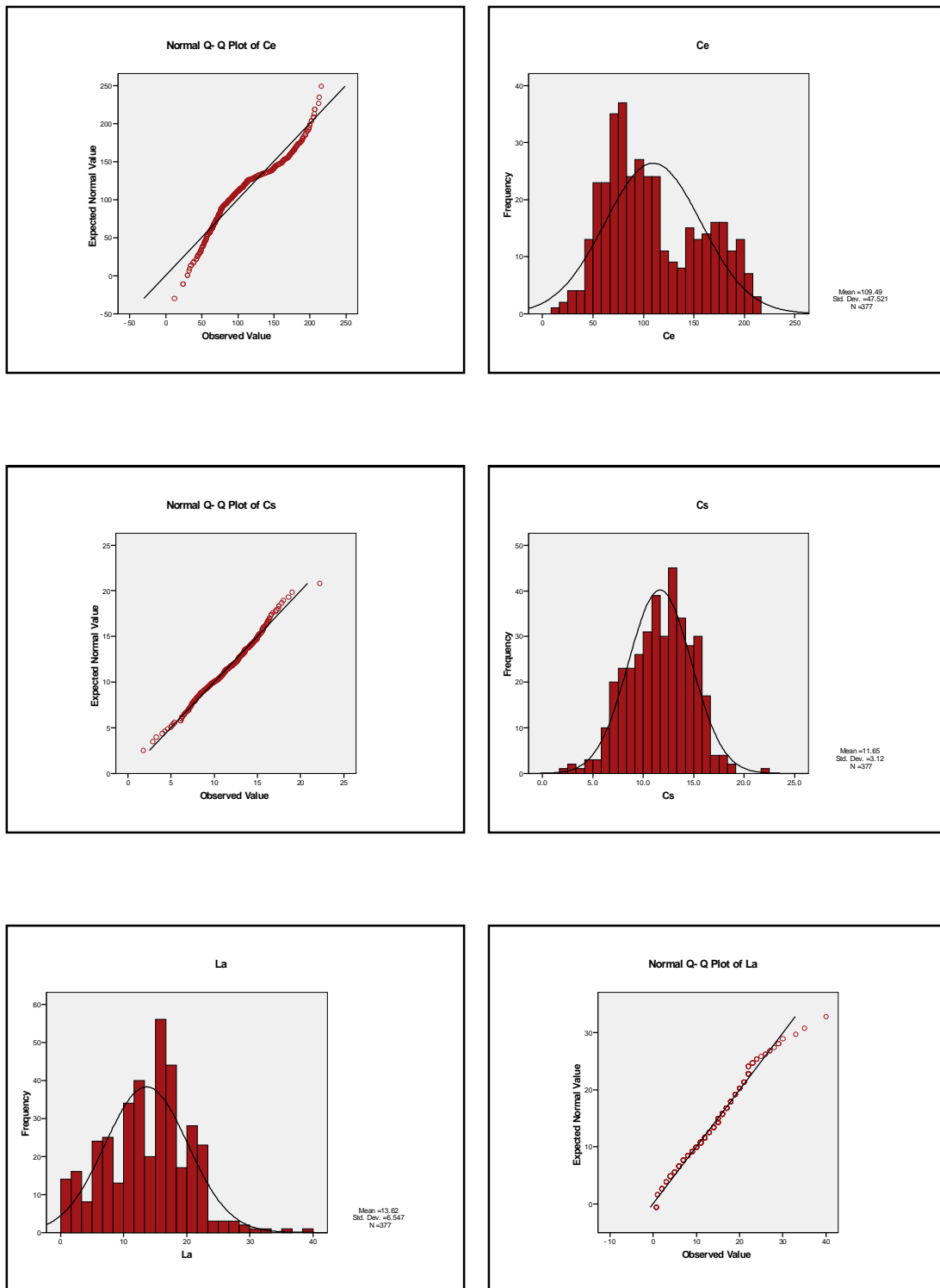
ادامه شکل ۲-۳ نمودارهای منحنی تجمعی و هیستوگرام داده های خام منطقه پاریز I



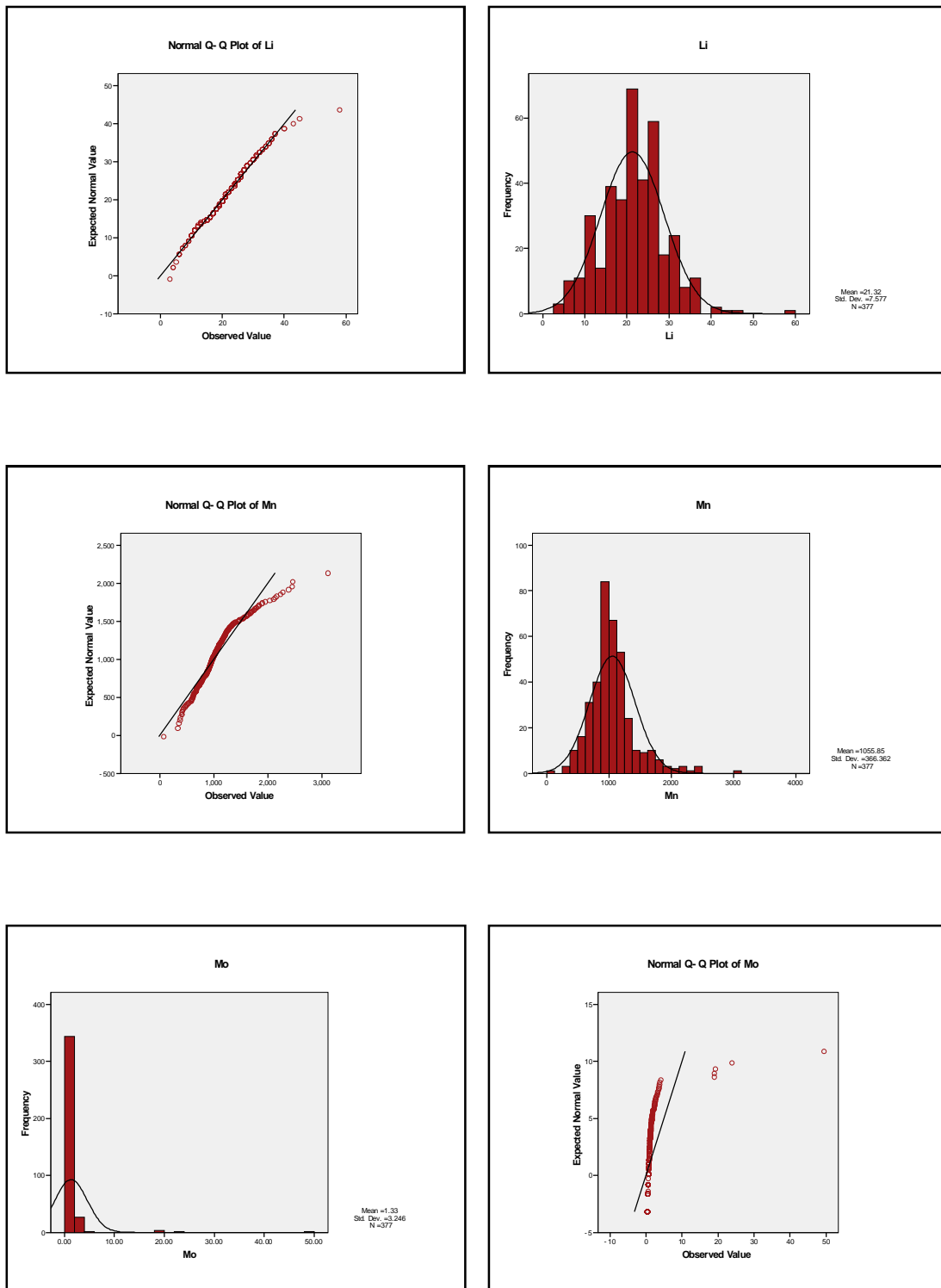
ادامه شکل ۲-۳ نمودارهای منحنی تجمعی و هیستوگرام داده های خام منطقه پاریز I



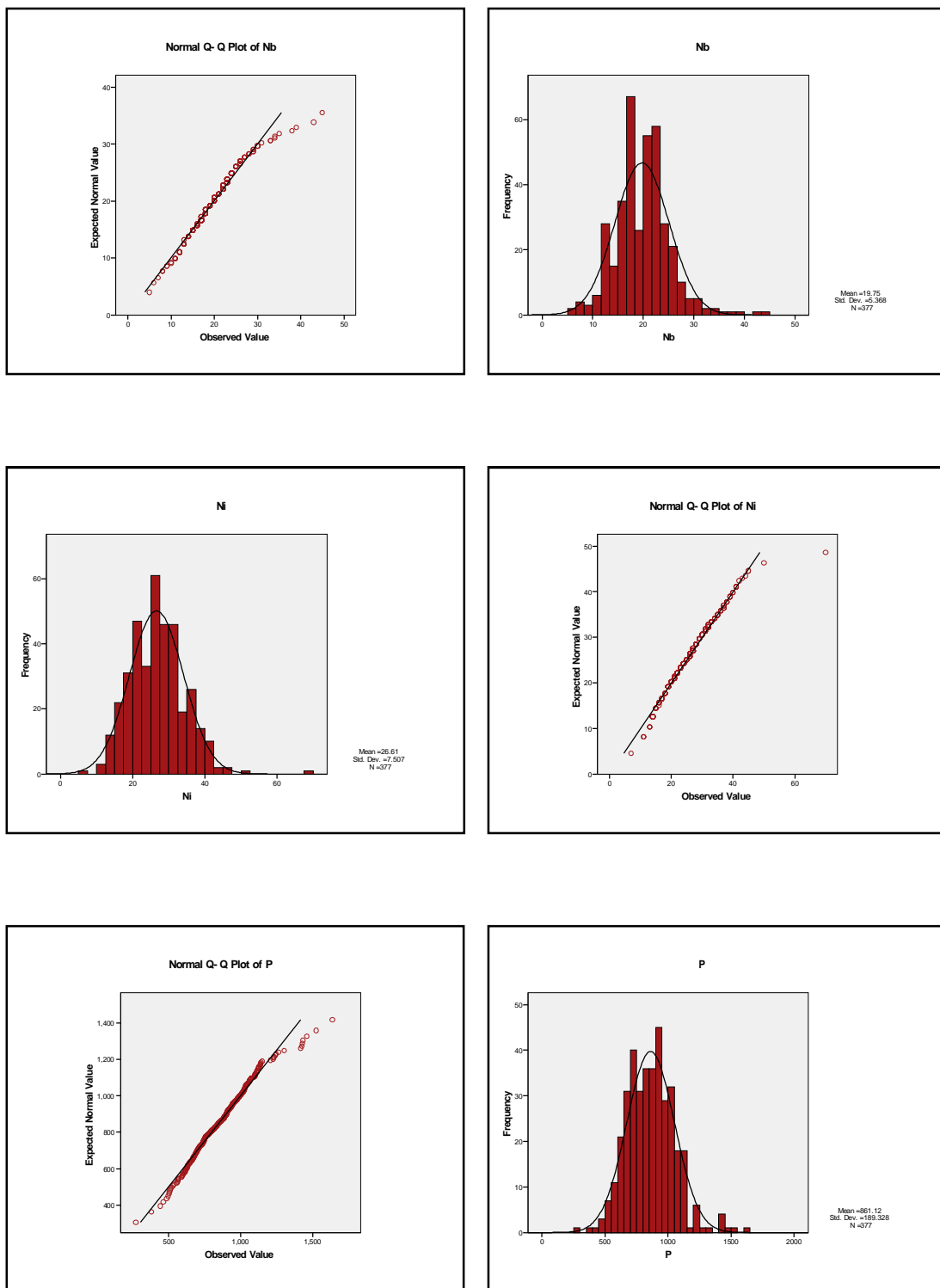
ادامه شکل ۲-۳ نمودارهای منحنی تجمعی و هیستوگرام داده های خام منطقه پاریز



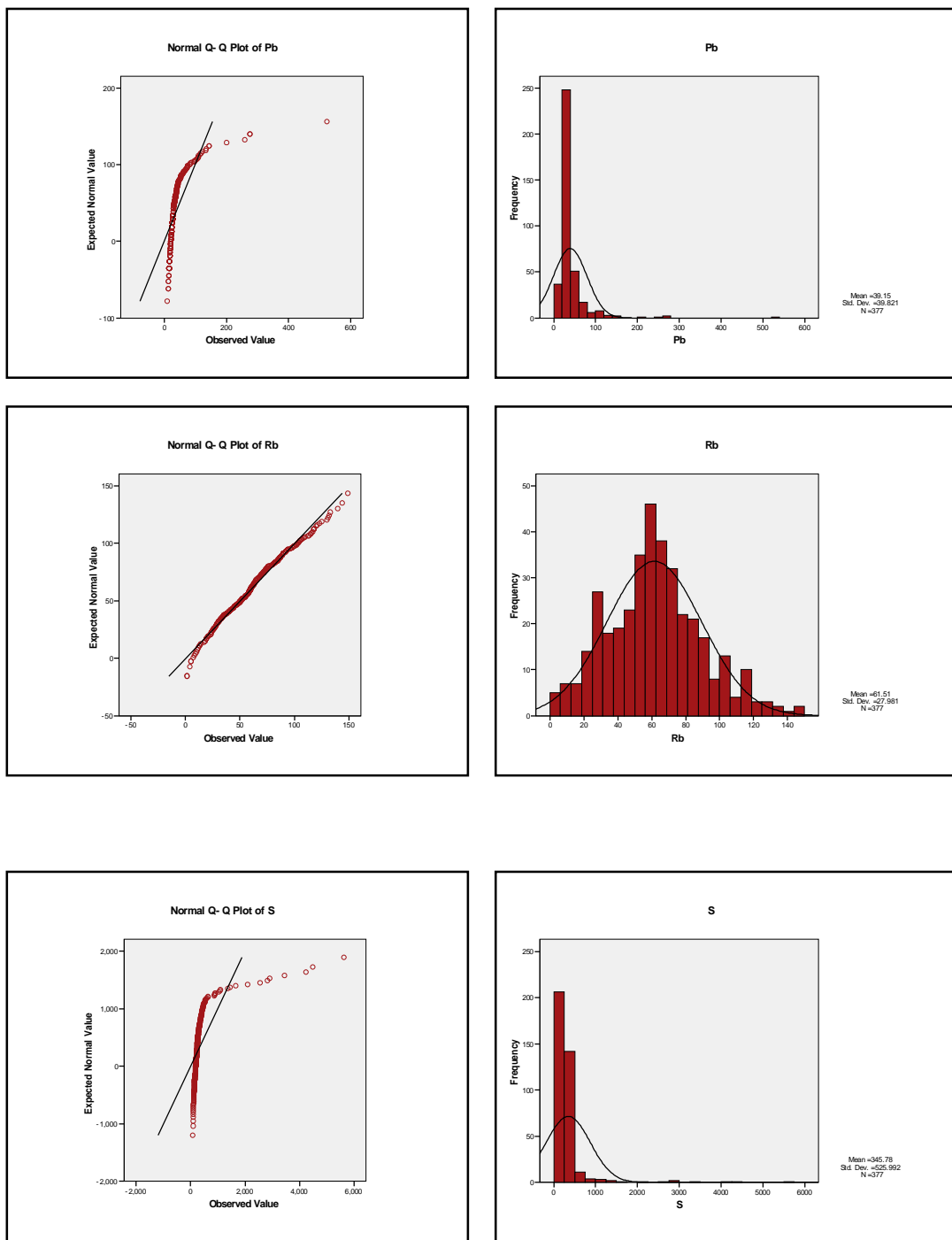
ادامه شکل ۲-۳ نمودارهای منحنی تجمعی و هیستوگرام داده های خام منطقه پاریز



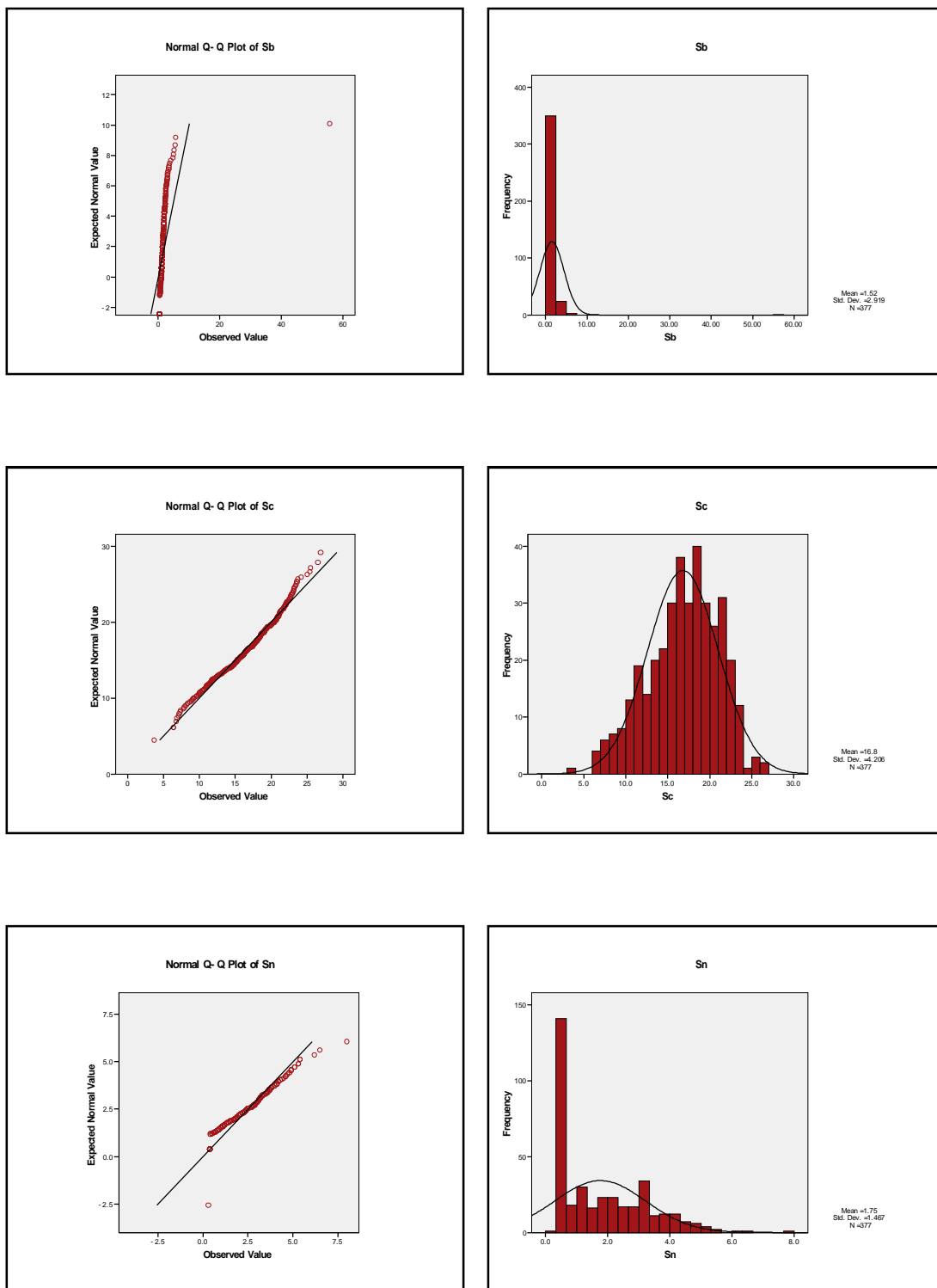
ادامه جدول ۲-۳ نمودارهای منحنی تجمعی و هیستوگرام داده های خام منطقه پاریز I



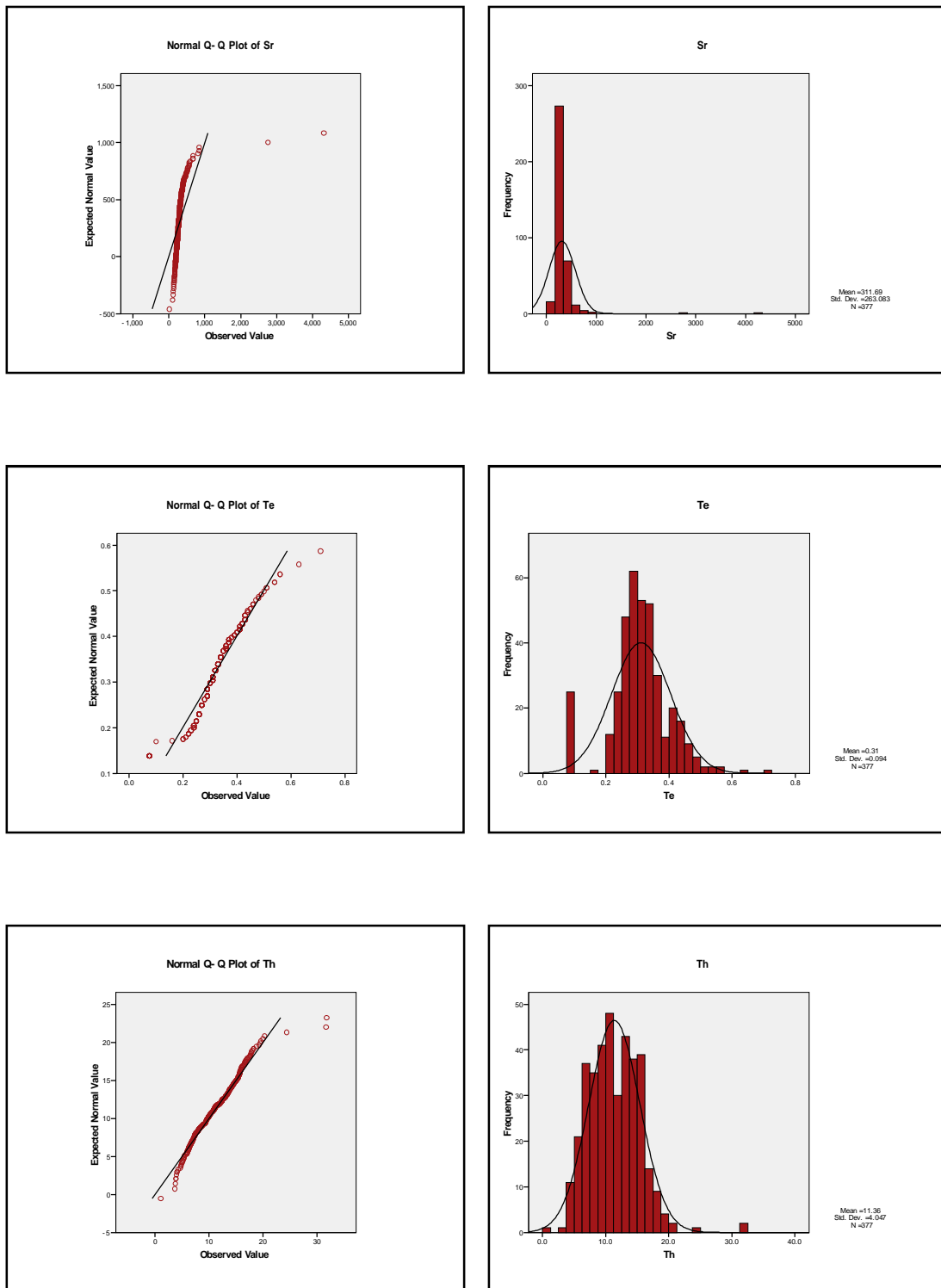
ادامه جدول ۲-۳ نمودارهای منحنی تجمعی و هیستوگرام داده های خام منطقه پاریز I



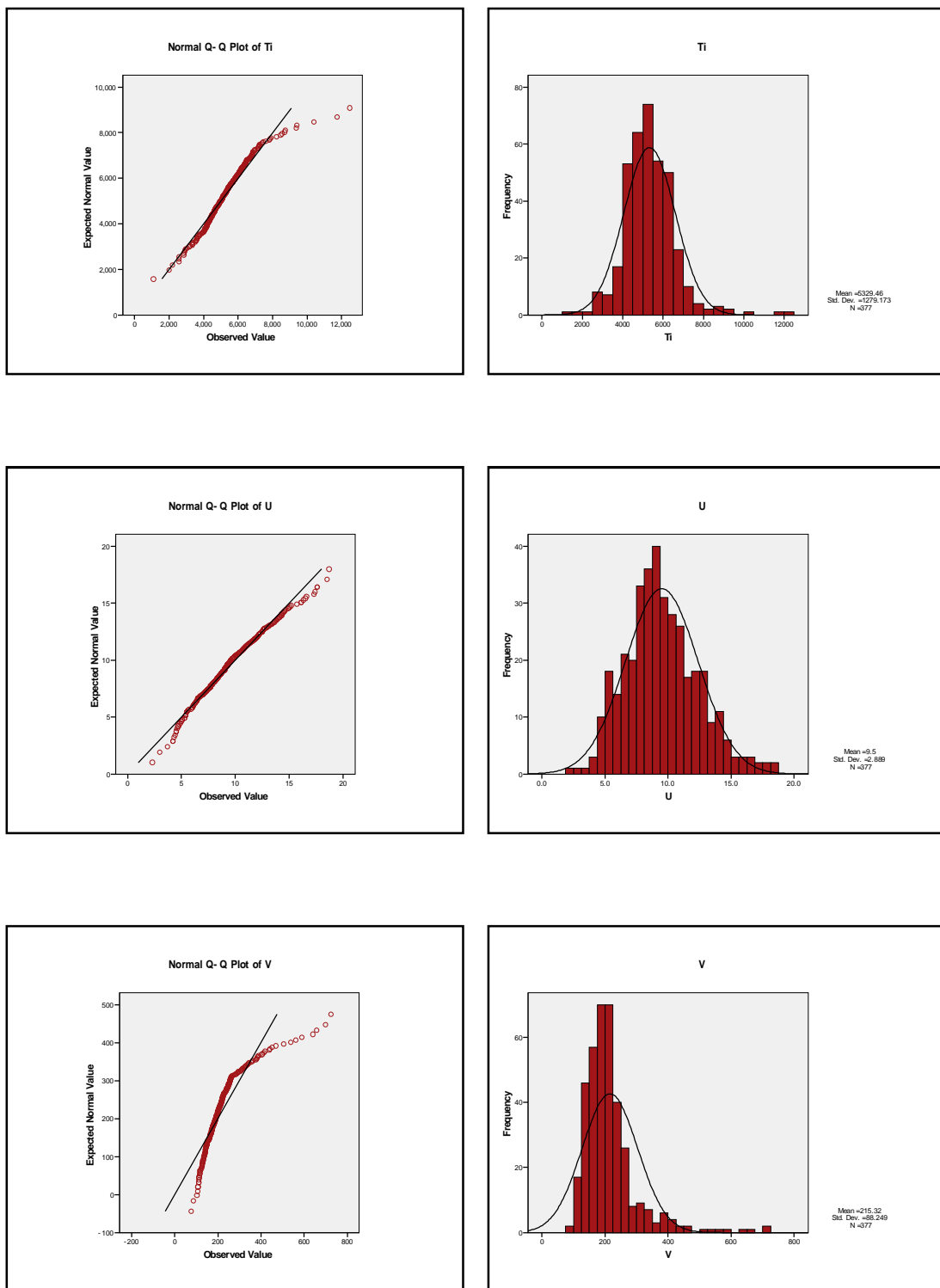
ادامه جدول ۲- نمودارهای منحنی تجمعی و هیستوگرام داده های خام منطقه پاریز I



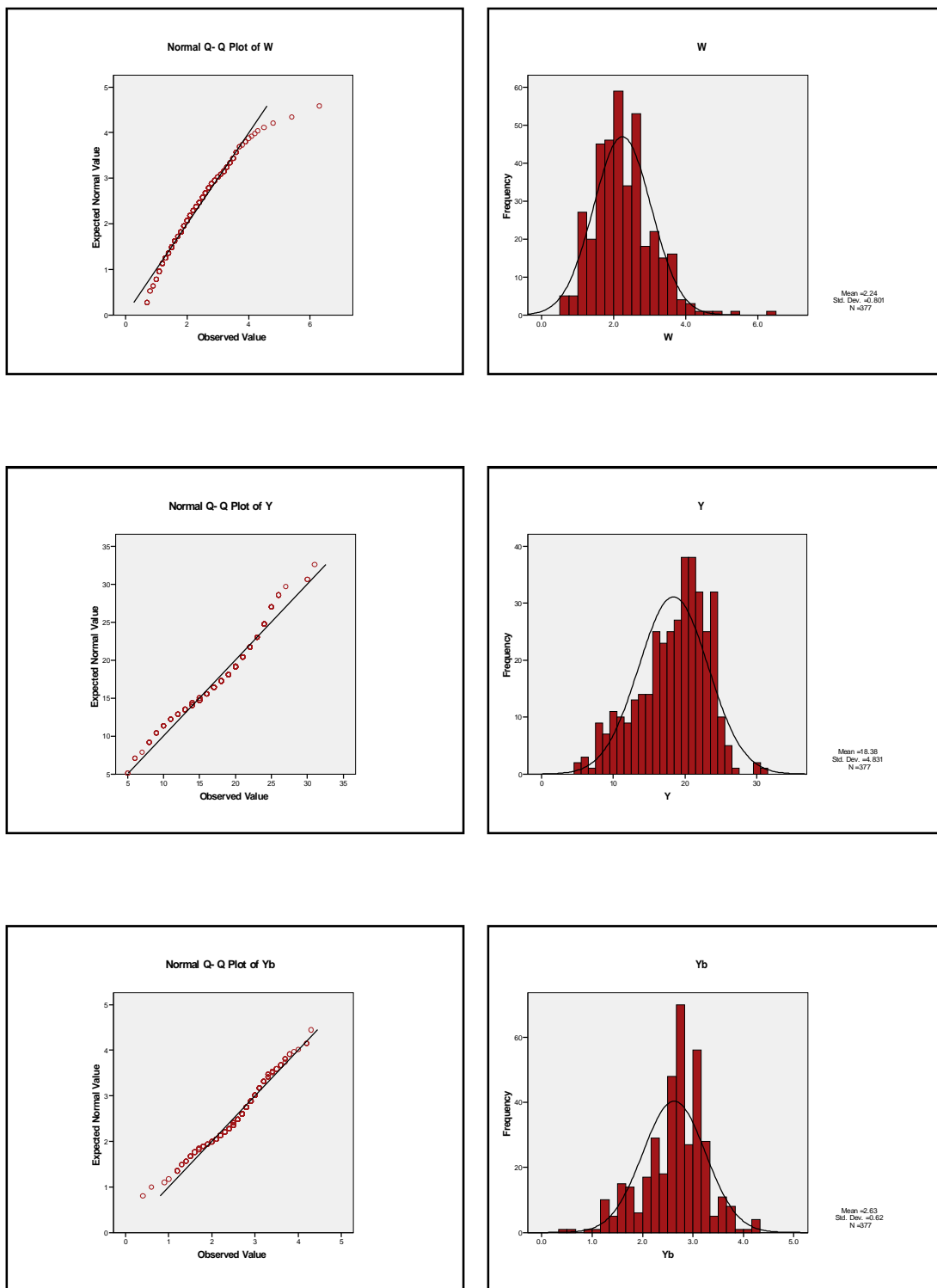
ادامه جدول ۲-۳ نمودارهای منحنی تجمعی و هیستوگرام داده های خام منطقه پاریز I



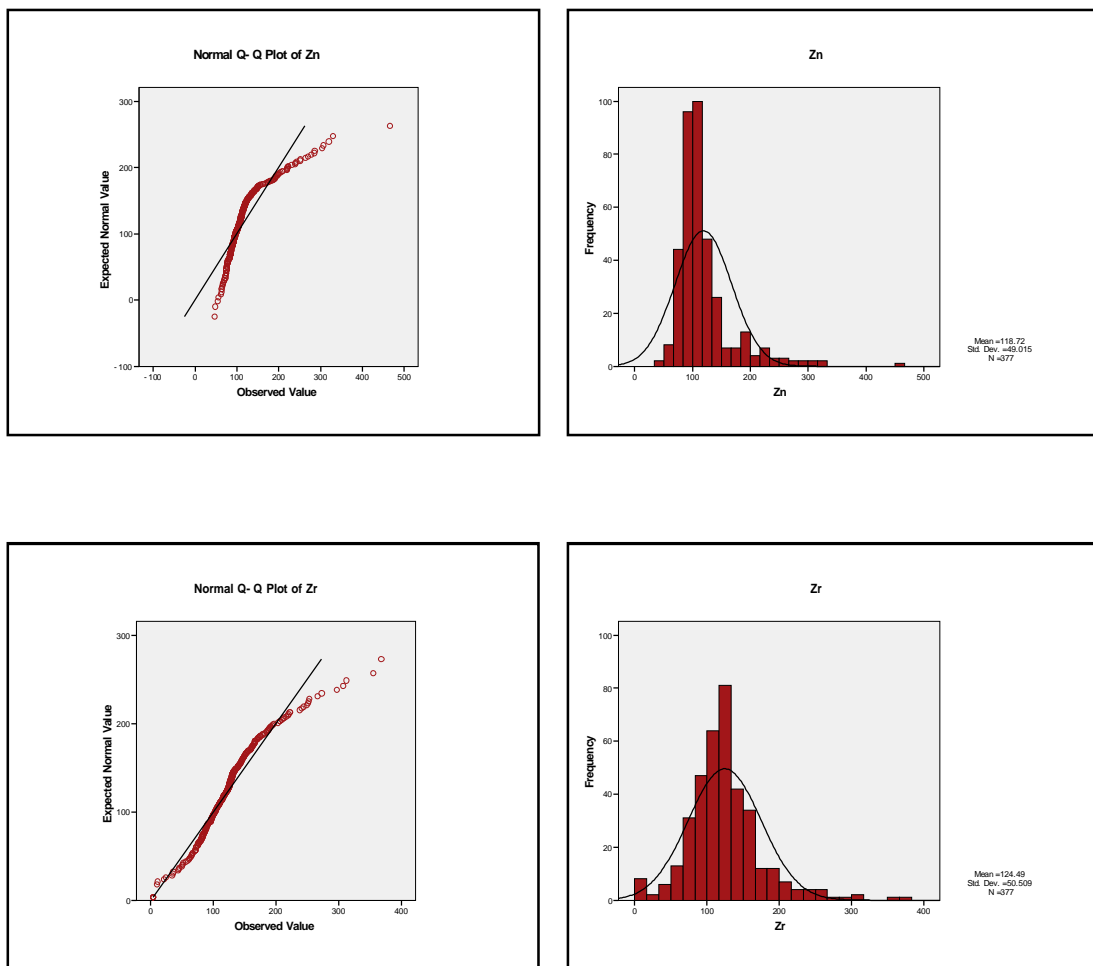
ادامه جدول ۲-۳ نمودارهای منحنی تجمعی و هیستوگرام داده های خام منطقه پاریز I



ادامه جدول ۲-۳ نمودارهای منحنی تجمعی و هیستوگرام داده های خام منطقه پاریز I



ادامه شکل ۲-۳- نمودارهای منحنی تجمعی و هیستوگرام داده‌های خام منطقه پاریز I



۳-۹-۲- نرمال سازی داده‌ها و حذف مقادیر خارج از ردیف

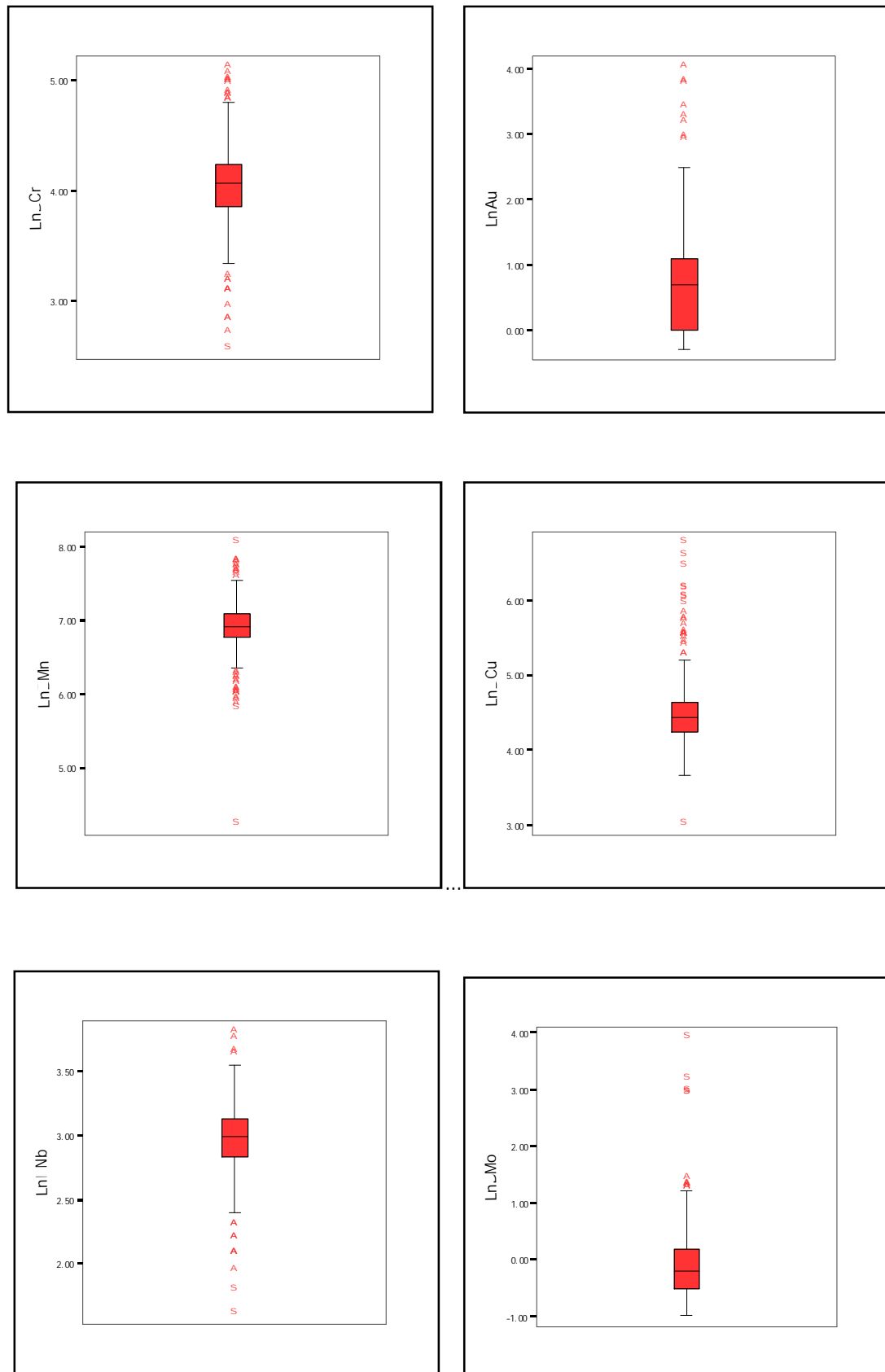
صحت غالب پارامترهای آماری، به ویژه پردازش‌های چند متغیره، نیازمند به وجود یک توزیع نرمال یا زنگوله‌ای شکل تابع می‌باشد. به عبارتی نتیجه پردازش آماری توزیعی که از حالت زنگوله‌ای و نرمال دور است با واقعیت فاصله دارد و بر این اساس اقدام به نرمال سازی داده‌ها شود. آنگونه که پیش‌تر نیز ذکر شد ملاک‌های تصمیم‌گیری نرمال بودن یک جامعه ضریب کولوموگروف-اسمیرنوف، مقادیر چولگی و کشیدگی هستند. شکل ظاهری هیستوگرام و انطباق نمونه‌ها بر روی خط مستقیم نمودار تجمعی Q-Q نیز از دیگر ملاک‌های نرمال بودن داده‌ها می‌باشد.

بررسی پارامترهای یاد شده نشان می دهد عناصر Cs, Co, Be, Na, Mg, Al, W, U, Ti, Th, Te, Sc, Ni, La از ابتدا نرمال هستند. اغلب این عناصر سنگ ها و یا عناصر وابسته به خانواده های سنگی می باشند. با در نظر گرفتن توزیع تقریباً یکسان، یکنواخت و همسان تشکیل دهنده سنگ ها در محدوده اکتشافی، توزیع نرمال این عناصر امری طبیعی است. در مورد سایر عناصر پارامترهای نرمال شدگی وضعیت متفاوتی را نشان می دهد و نیاز به نرمال سازی دارند.

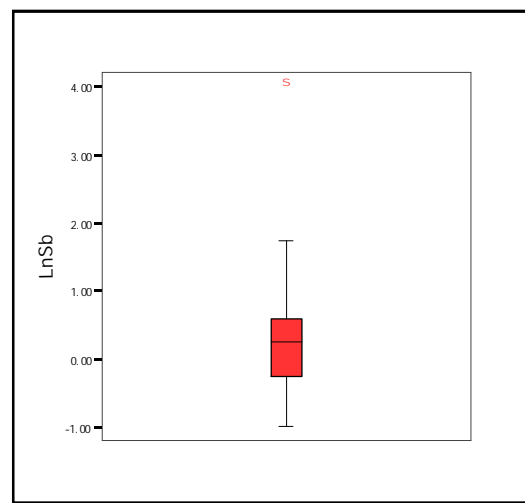
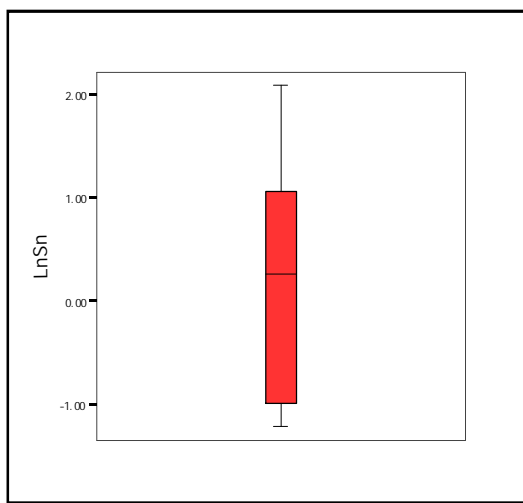
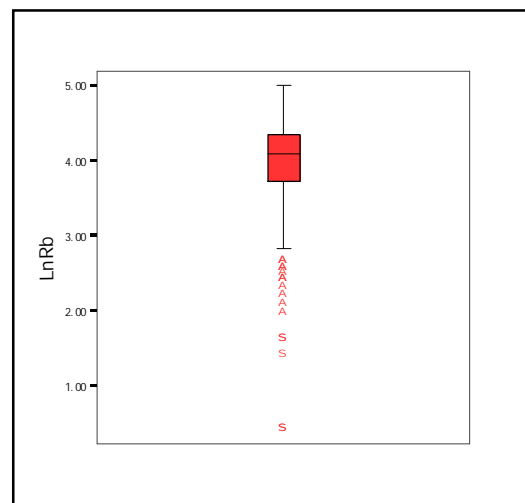
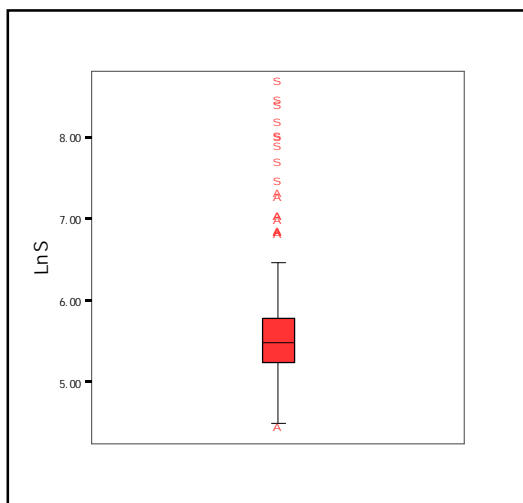
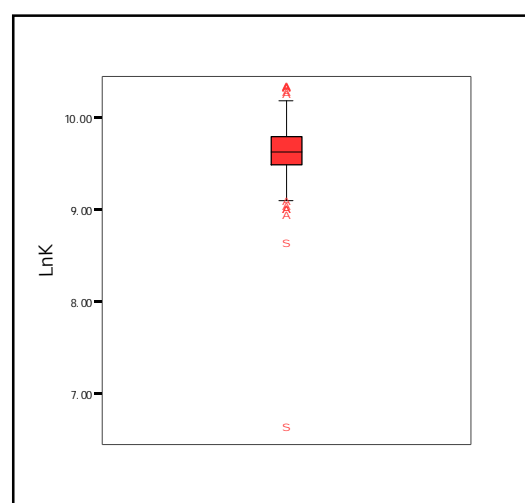
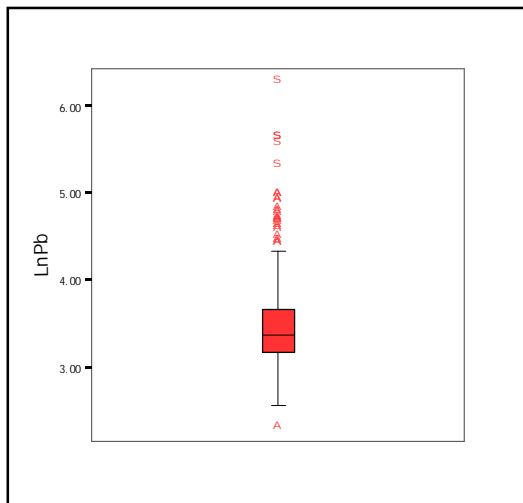
برای نرمال سازی جوامع آماری می توان از توابع تبدیل استفاده نمود. در مبحث تبدیل داده های آماری، بیشتر تبدیلات غیر خطی مد نظر می باشند. هدف اصلی از تبدیلات غیر خطی، تغییر شکل تابع توزیع فراوانی است که به طور معمول از تبدیلات خطی ساخته نیست. در این پروژه جهت نرمال سازی داده ها از تبدیل لگاریتم نپرین استفاده شد. این تبدیل باعث می شود تا عناصر Fe, Ca, P, Ce, Cd, Bi, Ba, As به حالت نرمال نزدیک گرددند.

در مورد عناصری که بعد از تبدیل لگاریتمی هنوز به حد نرمال شدگی نزدیک نشده اند، اقدام به حذف مقادیر خارج از ردیف شد. این اعداد یا مقادیر شامل گروهی از نمونه ها می گردد که عیار آنها به طور نامتعارف با بقیه نمونه ها متفاوت می باشد. این تفاوت می تواند ناشی از خطای آنالیز، کانه سازی و یا حتی آلودگی های زیست محیطی باشد. جداسازی این مقادیر با روش های متعددی امکان پذیر است. نمودار جعبه ای روش مورد استفاده جهت تشخیص نمونه های خارج از ردیف نمونه های ژئوشیمی آبراهه ای در این پروژه بود (شکل ۴-۲).

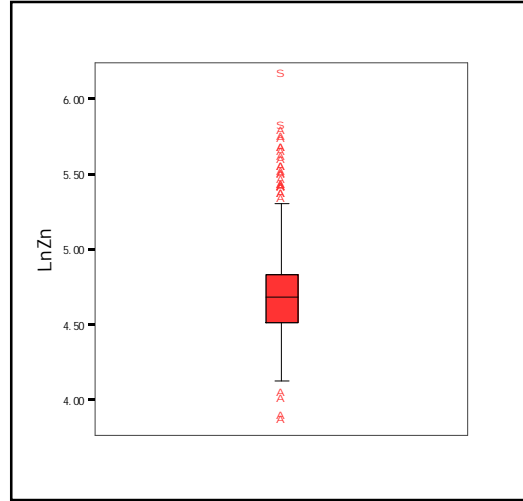
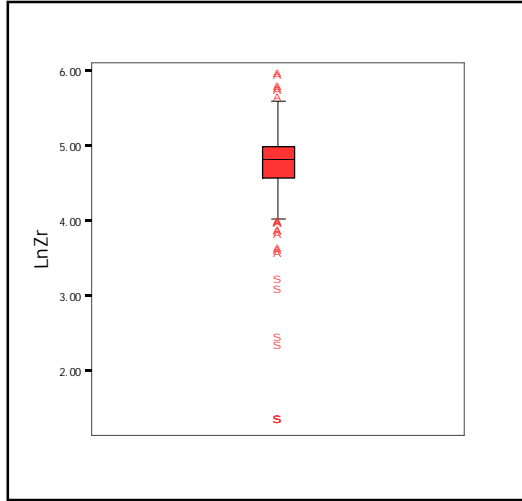
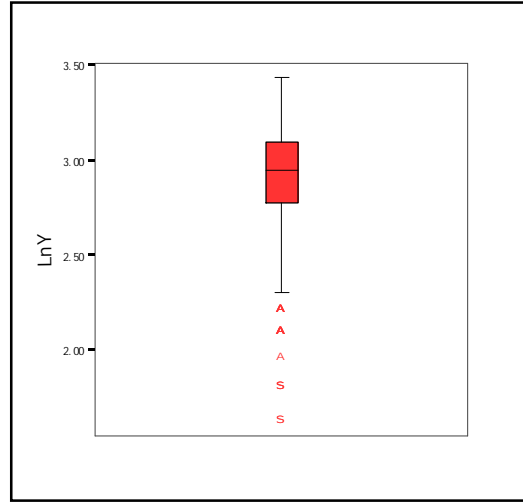
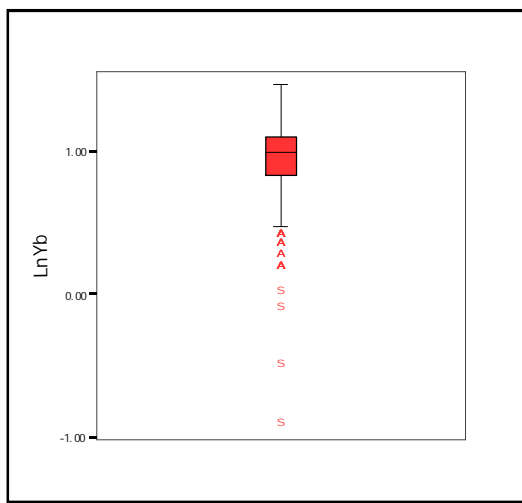
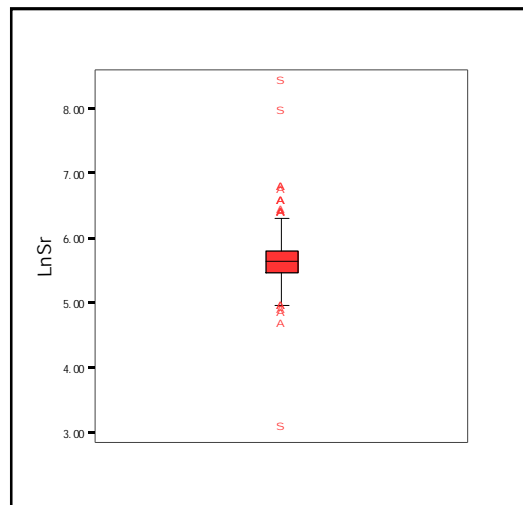
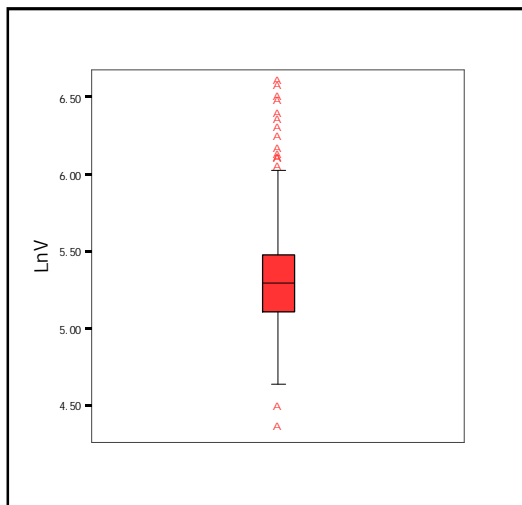
شکل ۲-۴ تشخیص نمونه های خارج از ردیف با استفاده از نمودار جعبه ای (این نمونه ها با ستاره مشخص شده)



ادامه شکل ۲-۴- تشخیص نمونه های خارج از ردیف با استفاده از نمودار جعبه ای (این نمونه ها با ستاره مشخص شده)



ادامه شکل ۲-۴- تشخیص نمونه های خارج از ردیف با استفاده از نمودار جعبه ای (این نمونه ها با ستاره مشخص شده)



| | | |
|---|---|---|
|  ایتوک ایران IRAN ITOK Engineering, Procurement & General Contracting | پی جویی به روش اکتشافات ژئوشیمیایی ۱:۲۵۰۰۰ در محدوده پاریز I (استان کرمان) - فصل دوم - اکتشافات ژئوشیمیایی |  جزویت اسناد سازمان اسناد و کتابخانه ملی اکتشافات معدنی کشور |
|---|---|---|

مقادیر خارج از ردیف در کران بالا، با بزرگترین عدد باقیمانده، بعد از حذف آنها و مقادیر خارج کران پایین با کوچکترین عدد باقیمانده بعد از حذف آنها جایگزین می‌گردد. جدول ۲-۸ شماره نمونه‌های خارج از ردیف در هر دو کران و شماره نمونه‌های که مقدار آن جایگزین این نمونه‌ها شده جهت نشان می‌دهد.

جدول ۲-۸- کد نمونه‌های خارج از ردیف و نمونه‌های جانشین شده آن

| عنصر | مقادیر خارج از ردیف بالا | | مقادیر خارج از ردیف پایین | |
|------|--------------------------|-------------------|---------------------------|-------------------|
| | کد داده خارج | کد نمونه جایگزینی | کد داده خارج | کد نمونه جایگزینی |
| Cu | | | 25343 | 25335 |
| | | | 25251 | |
| | | | 25361 | |
| | | | 25136 | |
| | | | 25232 | |
| | | | 25340 | |
| | | | 25341 | |
| | | | 25362 | |
| Mn | 25341 | 25081 | 25244 | 25235 |
| | 25109 | | 25344 | |
| Mo | | | 25341 | 25355 |
| | | | 25251 | |
| | | | 25340 | |
| | | | 25342 | |
| | | | 25343 | |
| K | 25348 | 25139 | | |
| | 25001 | | | |
| Nb | 25203 | 25001 | | |
| | 25198 | | | |
| Pb | | | 25341 | 25012 |
| | | | 25232 | |
| | | | 25249 | |
| | | | 25251 | |
| | | | 25202 | |
| Rb | 25313 | 25347 | | |
| | 25372 | | | |
| | 25100 | | | |
| | 25348 | | | |

ادامه جدول ۲- کد نمونه های خارج از ردیف و نمونه های جانشین شده آن

| عنصر | مقادیر خارج از ردیف بالا | | مقادیر خارج از ردیف پایین | |
|------|--------------------------|-------------------|---------------------------|-------------------|
| | کد داده خارج | کد نمونه جایگزینی | کد داده خارج | کد نمونه جایگزینی |
| S | --- | --- | 25334 | 25063 |
| | | | 25341 | |
| | | | 25061 | |
| | | | 25251 | |
| | | | 25340 | |
| | | | 25343 | |
| | | | 25333 | |
| | | | 25342 | |
| | | | 25368 | |
| Sb | 25341 | 25001 | | |
| Sr | 25001 | 25136 | 25061 | 25017 |
| | | | 25063 | |
| Y | 25108 | 25170 | | |
| | 25341 | | | |
| | 25142 | | | |
| | 25198 | | | |
| | 25203 | | | |
| Yb | 25198 | 25342 | | |
| | 25391 | | | |
| | 25109 | | | |
| | 25203 | | | |
| Zn | | | 25232 | 25224 |
| | | | 25368 | |
| Zr | 25139 | 25217 | | |
| | 25209 | | | |
| | 25103 | | | |
| | 25208 | | | |
| | 25101 | | | |
| | 25102 | | | |
| | 25169 | | | |
| | 25198 | | | |
| | 25203 | | | |
| | 25204 | | | |

| | | |
|--|--|--|
|  ایتوک ایران IRAN ITOK Engineering, Procurement & General Contracting | <p>پی جویی به روش اکتشافات ژئوشیمیایی ۱:۲۵۰۰۰ در محدوده پاریز I (استان کرمان) - فصل دوم - اکتشافات ژئوشیمیایی</p> |  جهت‌گذاری‌های سازمان‌زمین‌شناسی و اکتشافات معدنی کشور |
|--|--|--|

۴-۹-۲ - محاسبه پارامترهای آماری مقادیر نرمال شده

جهت به دست آوردن مقادیر آماری واقعی تر اقدام به انجام مطالعات آماری بر روی مقادیر نرمال شده گردیدبا استفاده از فرمول های زیر مقادیر پارامترهای آماری با میانگین و واریانس به دست آمده در حالت های لگاریتم طبیعی و همچنین در وضعیت بدون داده های خارج از ردیف، به مقادیر واقعی تبدیل شده اند تا مقایسه پارامترهای آماری در حالت های مختلف امکان پذیر شود.

$$x : E(x) = \exp\left\{m + \frac{1}{2}d^2\right\}$$

$$\text{var}(x) = e^{d^2}(1 - e^{d^2})e^{2m}$$

در این فرمول ها میانگین به صورت لگاریتم نپرین δ^2 نیز واریانس در همین حالت است. مقادیر میانه، ماکزیمم، مینیوم و چارک ها با تبدیل ساده عکس لگاریتم (exp) از مقدار آنها در حالت لگاریتم طبیعی و انحراف از استاندارد با جذر ساده از واریانس پس از تبدیل به دست می آید (جدول ۹-۲).

بر این اساس مقادیر ضرایب پراکندگی غالب این عناصر، پس از اعمال تبدلات لگاریتم نپرین کاهش می یابد. این موضوع به ویژه در مورد عناصر هدف اکتشافی بسیار مشهود است. این کاهش شدید در مورد عناصر مس، سرب و روی ناشی از حذف تعدادی از نمونه های خارج از ردیف با عیارهای متفاوت نسبت به بازه کلی و همچنین فشردگی فاصله عیاری نمونه ها، در اثر اعمال تبدیل لگاریتمی می باشد. با این حال مقدار میانگین در اثر این تبدیلات چندان تفاوتی نمی نماید و این نشان می دهد که نمونه های خارج از ردیف فاقد عیارهای بسیار متفاوت از بازه کلی می باشند.

با اعمال این تبدیلات، ضرایب پراکندگی همچنان برای عنصری مثل طلا، مولیبدن، آنتیموان، قلع، بیسموت و کادمیوم هم چنان بالا بوده و نشان گر تنوع توزیع عیاری آن ها در منطقه دارد. این در حالی است که سرب، روی مس و باریوم توزیع متعادل تری در منطقه پیدا می کنند.

در همین حالت و با لحاظ عیارهای متفاوت موجود در محیط های رسوبی می توان مقادیر طلا و مس را در بیشینه خود ارزشمند دانست. سرب، روی و آنتیموان دیگر عناصر ارزشمند در این محدوده هستند که عیارهای بالایی از خود نشان می دهند.

| Parameter | Mo | Nb | Pb | Rb | S | Sb | Sn | Sr | V | Y | Yb | Zn | Zr |
|----------------|-------|-------|--------|--------|---------|-------|--------|--------|--------|-------|-------|--------|--------|
| Mean | 1.02 | 19.79 | 36.17 | 63.52 | 291.37 | 1.44 | 1.84 | 296.60 | 214.13 | 18.49 | 2.63 | 117.59 | 125.83 |
| Median | 0.83 | 20.09 | 29.08 | 59.74 | 239.85 | 1.30 | 1.30 | 278.66 | 198.34 | 18.92 | 2.69 | 107.77 | 122.73 |
| Std. Deviation | 0.75 | 0.30 | 0.58 | 0.73 | 0.65 | 0.96 | 1.95 | 0.34 | 0.37 | 0.33 | 0.28 | 0.36 | 0.46 |
| Variance | 0.56 | 0.09 | 0.33 | 0.54 | 0.42 | 0.93 | 3.80 | 0.12 | 0.14 | 0.11 | 0.08 | 0.13 | 0.21 |
| Skewness | 0.51 | -0.54 | 1.09 | -1.29 | 1.06 | 0.12 | -0.01 | 0.41 | 0.77 | -1.15 | -1.14 | 0.92 | -0.64 |
| Kurtosis | 0.07 | 1.33 | 1.44 | 2.16 | 2.22 | 1.94 | -1.57 | 1.62 | 1.67 | 0.84 | 1.10 | 1.26 | 1.54 |
| Minimum | 0.38 | 7.03 | 9.97 | 7.03 | 80.64 | 0.38 | 0.30 | 103.54 | 76.71 | 7.03 | 1.20 | 46.99 | 34.12 |
| Maximum | 4.10 | 45.15 | 144.03 | 148.41 | 1436.55 | 55.70 | 8.00 | 845.56 | 727.78 | 30.88 | 4.31 | 320.54 | 368.71 |
| Percentiles | 0.60 | 16.95 | 24.05 | 42.10 | 186.79 | 0.77 | 0.38 | 232.76 | 164.02 | 15.96 | 2.29 | 90.92 | 96.06 |
| | 0.83 | 20.09 | 29.08 | 59.74 | 239.85 | 1.30 | 1.30 | 278.66 | 198.34 | 18.92 | 2.69 | 107.77 | 122.73 |
| | 1.20 | 23.10 | 39.45 | 77.48 | 322.14 | 1.80 | 2.89 | 327.01 | 239.85 | 21.98 | 3.00 | 125.21 | 145.47 |
| CV | 72.92 | 1.51 | 1.59 | 1.16 | 0.22 | 66.71 | 105.96 | 0.12 | 0.17 | 1.77 | 10.59 | 0.30 | 0.36 |

جدول ۹-۲ مقادیر آماری تک متغیره در بهترین حالت نرمال شدگی عناصر دارای کج شدگی مثبت طبیعی

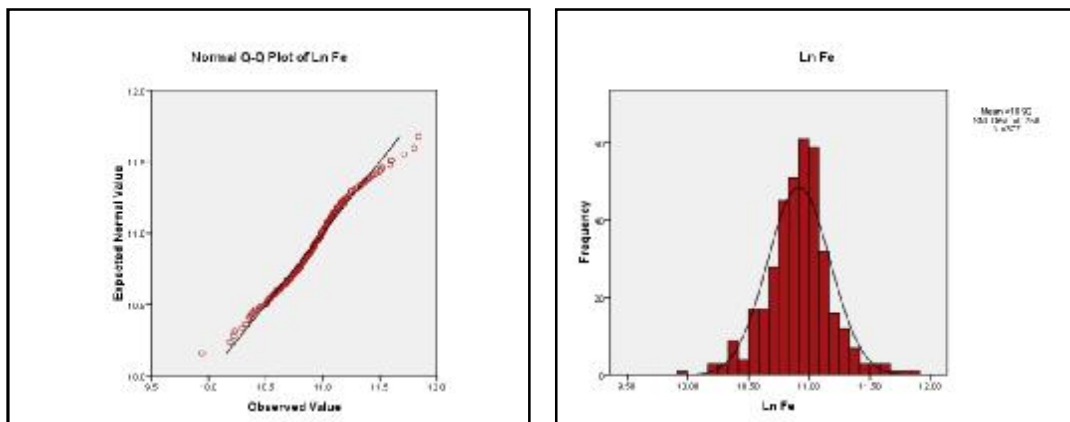
| Parameter | Ca | Fe | As | Ba | Bi | Cd | Ce | P | Au | K | Cr | Cu | Mn |
|----------------|-----------|-----------|-------|---------|-------|--------|--------|---------|-------|----------|--------|--------|---------|
| Mean | 29851.79 | 56931.27 | 18.49 | 814.52 | 0.76 | 0.28 | 110.32 | 861.35 | 2.53 | 15843.27 | 60.33 | 95.87 | 1059.13 |
| Median | 26108.08 | 55826.28 | 16.95 | 765.09 | 0.69 | 0.24 | 97.51 | 862.64 | 1.99 | 15214.44 | 57.97 | 83.93 | 1002.25 |
| Std. Deviation | 0.57 | 0.27 | 0.51 | 0.47 | 0.48 | 0.54 | 0.55 | 0.23 | 1.26 | 0.25 | 0.40 | 0.46 | 0.37 |
| Variance | 0.32 | 0.07 | 0.26 | 0.22 | 0.23 | 0.29 | 0.30 | 0.06 | 1.60 | 0.06 | 0.16 | 0.21 | 0.14 |
| Skewness | 0.19 | 0.00 | -0.38 | -1.62 | -0.01 | 0.03 | -0.47 | -0.52 | 1.16 | -0.04 | -0.37 | 1.10 | -0.30 |
| Kurtosis | 0.88 | 1.35 | 0.64 | 13.94 | 1.78 | 0.96 | 0.45 | 1.69 | 1.98 | 0.60 | 1.79 | 2.55 | 1.25 |
| Minimum | 4447.07 | 20743.74 | 3.00 | 23.10 | 0.15 | 0.08 | 11.94 | 270.43 | 0.75 | 7405.66 | 15.03 | 20.09 | 350.72 |
| Maximum | 147266.63 | 138690.48 | 62.18 | 3498.19 | 2.97 | 1.28 | 217.02 | 1635.98 | 55.15 | 29732.62 | 165.67 | 403.43 | 2465.13 |
| Percentiles | 19535.72 | 48050.12 | 12.94 | 589.93 | 0.53 | 0.19 | 72.24 | 727.78 | 1.00 | 13226.80 | 46.99 | 68.72 | 866.97 |
| | 26108.08 | 55826.28 | 16.95 | 765.09 | 0.69 | 0.24 | 97.51 | 862.64 | 1.99 | 15214.44 | 57.97 | 83.93 | 1002.25 |
| | 35242.22 | 63576.55 | 23.10 | 972.63 | 0.88 | 0.32 | 149.90 | 982.40 | 3.00 | 17854.31 | 69.41 | 102.51 | 1187.97 |
| CV | 0.00 | 0.00 | 2.77 | 0.06 | 62.96 | 195.57 | 0.50 | 0.03 | 49.87 | 0.00 | 0.66 | 0.48 | 0.04 |

۵-۹-۲ - بررسی نمودارهای تجمعی و هیستوگرام در حالت نرمال

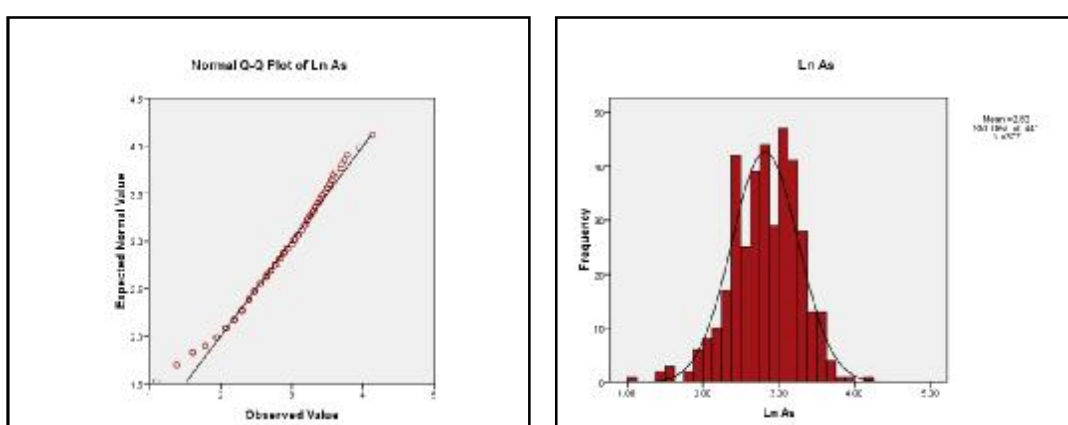
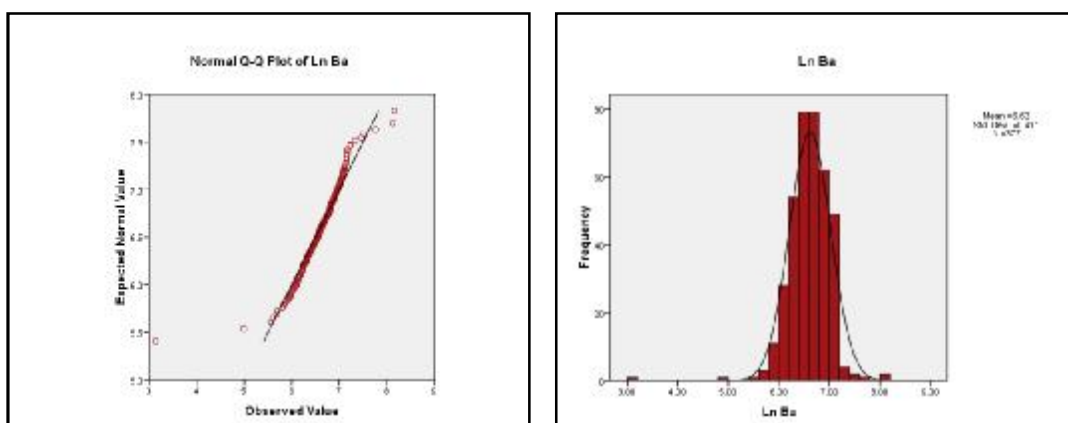
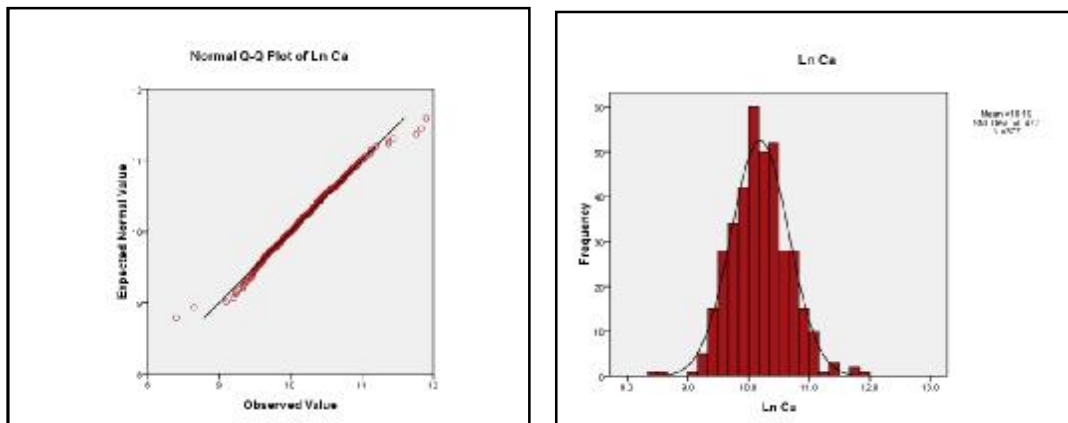
نzdیک نمودن توزیع حالت نرمال باعث می‌شود تا توزیع نمونه‌ها بر روی نمودار تجمعی Q-Q با خط مورب میانی انطباق بیشتری داشته باشد و شکل هیستوگرام ایجادی نیز به حالت زنگوله بیشتر شباهت پیدا کند(شکل ۵-۲). وجود استثنائاتی، در مورد برخی عناصر، محدود مربوط به تک نمونه‌هایی می‌گردد که در کران‌های بالا و یا پائین از بازه اصلی دور هستند. با وجود این تفاوت عیاری فاصله‌ی آنها با توجه به نمودارهای جعبه‌ای به گونه‌ای نیست که توزیع را از حالت نرمال خود خارج نماید و به عبارتی این فاصله به گونه‌ای نیست که بتوان نمونه را خارج از ردیف قلمداد نمود. در صورتی که آنالیز آزمایشگاه بی نقص باشد، بر اساس اصل آماری این نمونه‌های واقعی در منطقه هستند.

یک نتیجه‌گیری کلی از نمودارها می‌تواند نشان دهنده‌ی توزیع نه چندان پراکنده برای اغلب عناصر در منطقه باشد. این بدان معنی است که نبایستی انتظار توزیع به شدت پراکنده‌ای و ناهنجاری عمدی از یک عنصر را در منطقه داشت. همچنین تشخیص گروه‌های عیاری در میان عناصر مورد تجزیه و پردازش به سختی امکان پذیر است. طلا، مس، گوگرد و سرب تنها عناصری هستند که توزیع آن‌ها در ۲ گروه قابل بررسی می‌باشد.

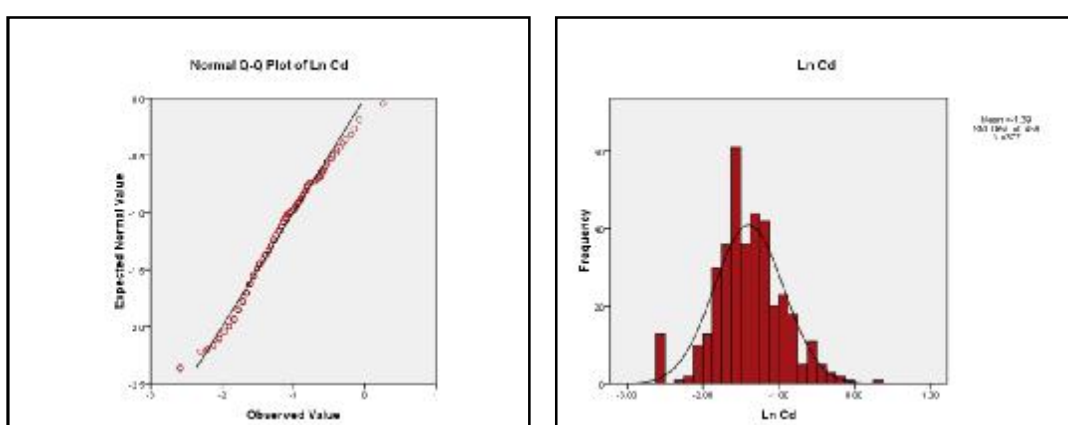
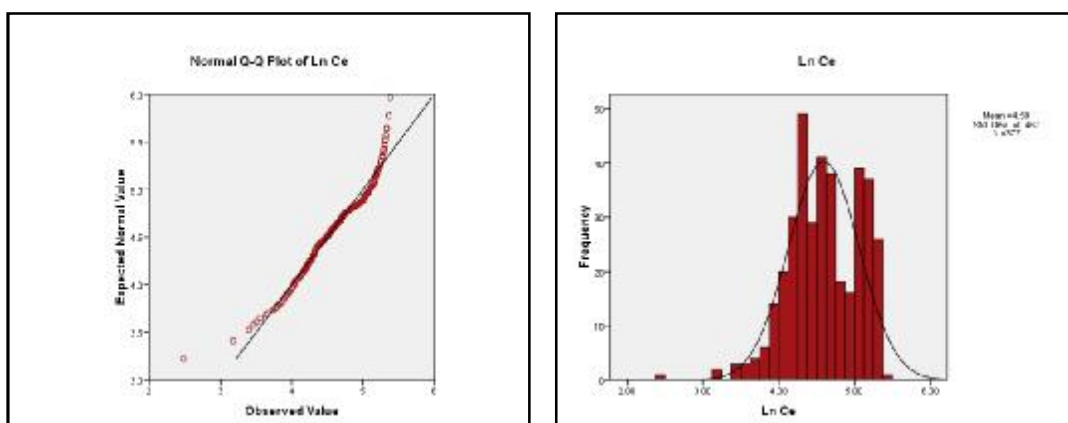
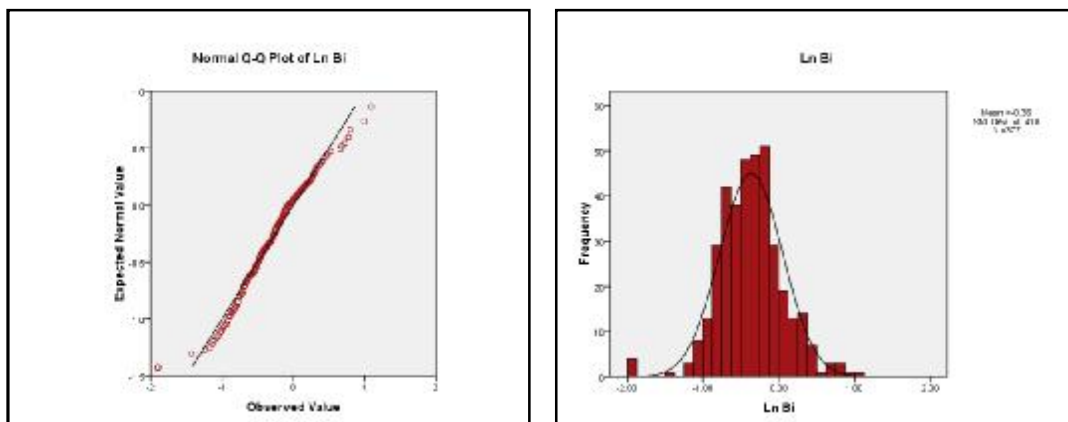
شکل ۵-۲ هیستوگرام نمودار تجمعی Q-Q در بهترین حالت نرمال شدگی عناصر دارای کج شدگی مثبت طبیعی



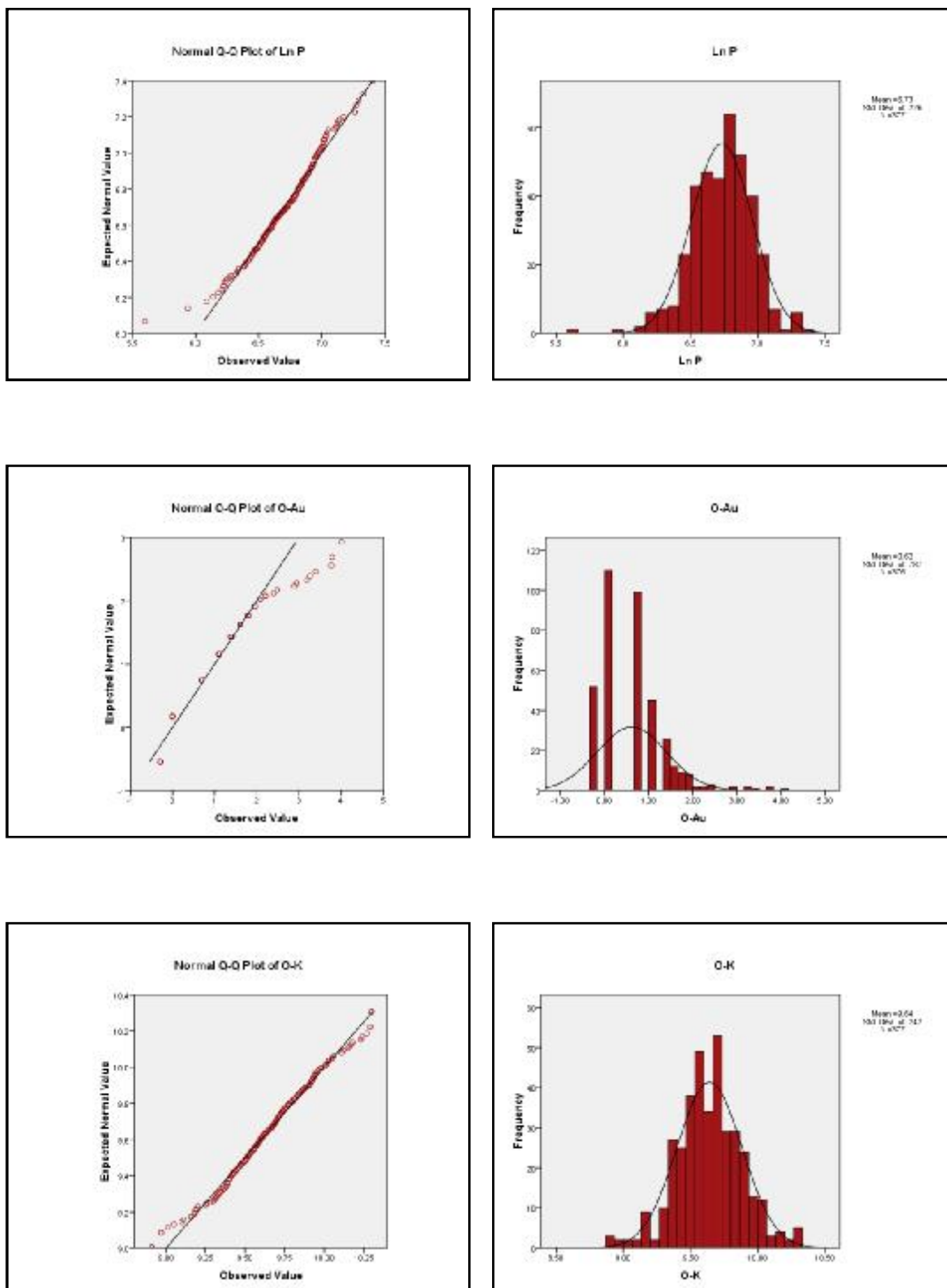
ادامه شکل ۲-۵- هیستوگرام نمودار تجمعی Q-Q در بهترین حالت فرمال شدگی عناصر دارای کج شدگی مثبت طبیعی



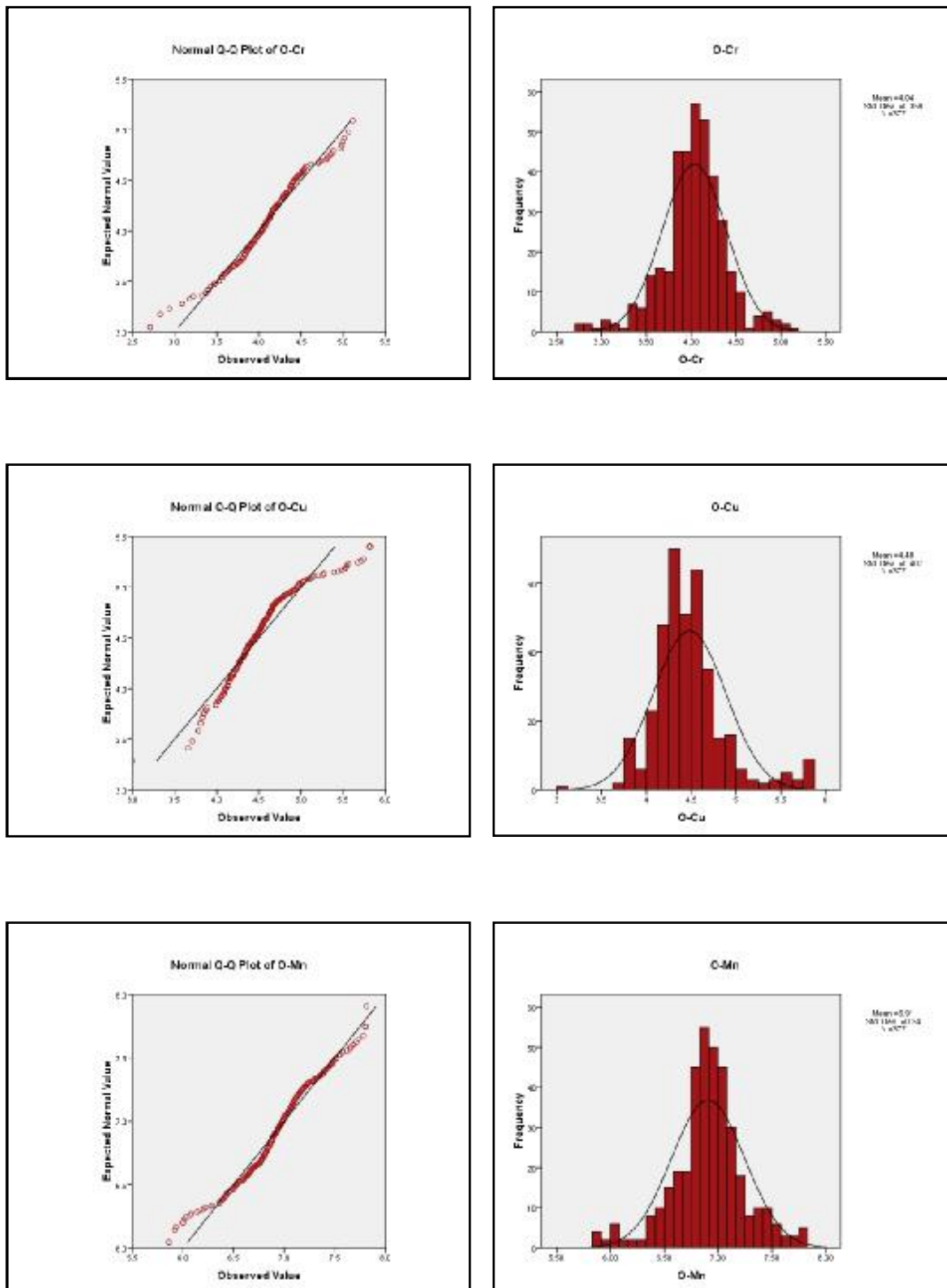
ادامه شکل ۲-۵ هیستوگرام نمودار تجمعی Q-Q در بهترین حالت نرمال شدگی عناصر دارای کج شدگی مثبت طبیعی



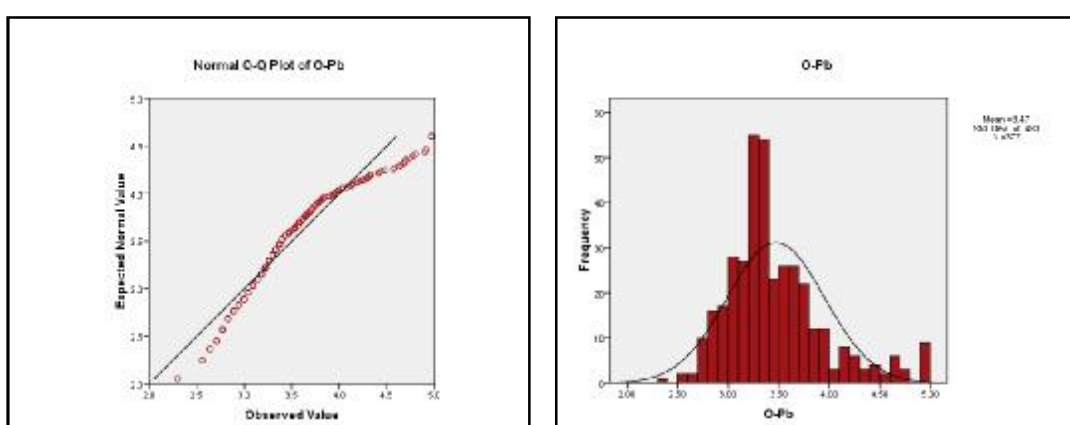
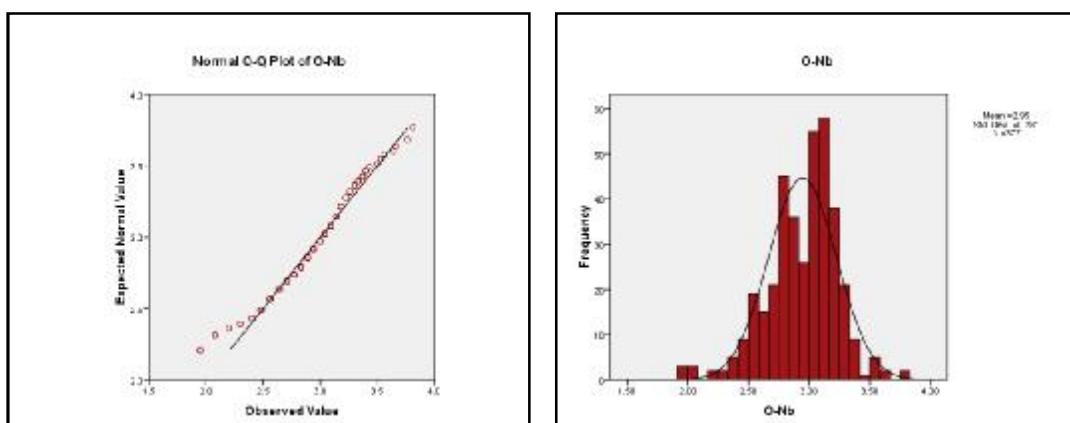
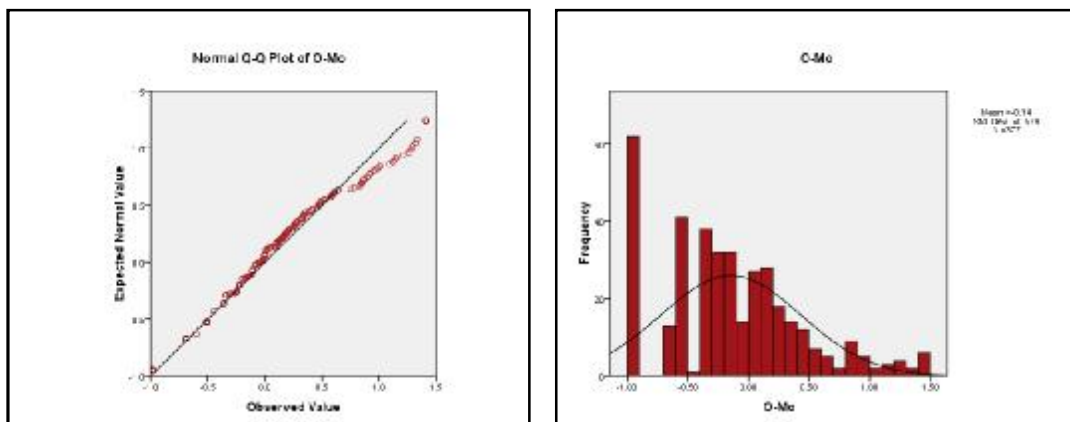
ادامه شکل ۲-۵ هیستوگرام نمودار تجمعی Q-Q در بهترین حالت فرمال شدگی عناصر دارای کج شدگی مثبت طبیعی



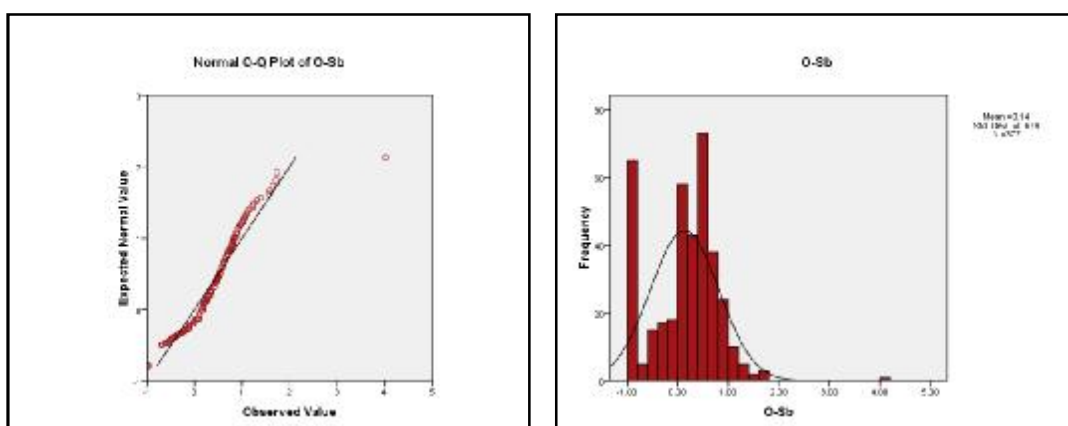
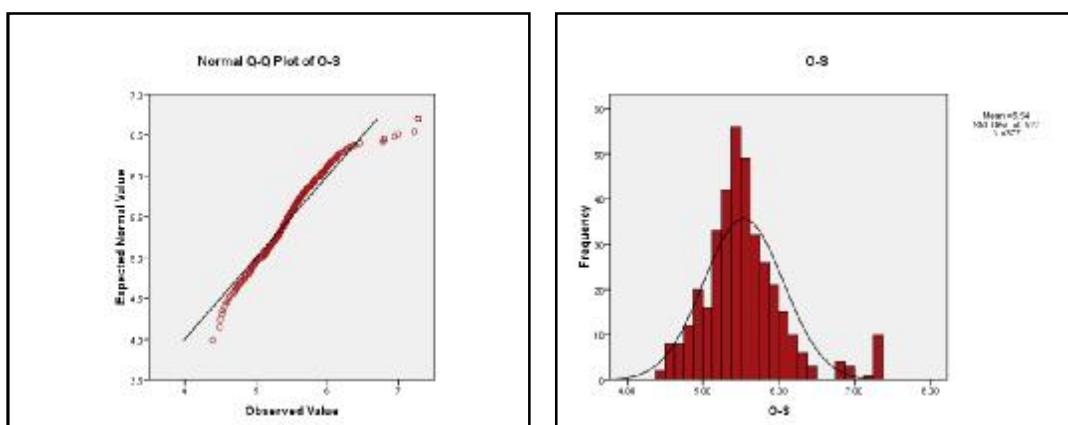
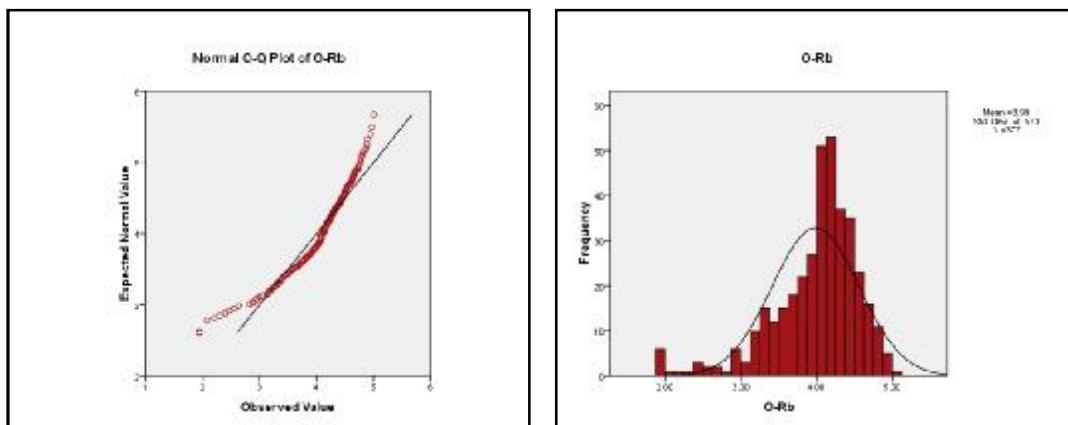
ادامه شکل ۲-۵ هیستوگرام نمودار تجمعی Q-Q در بهترین حالت نرمال شدگی عناصر دارای کج شدگی مثبت طبیعی



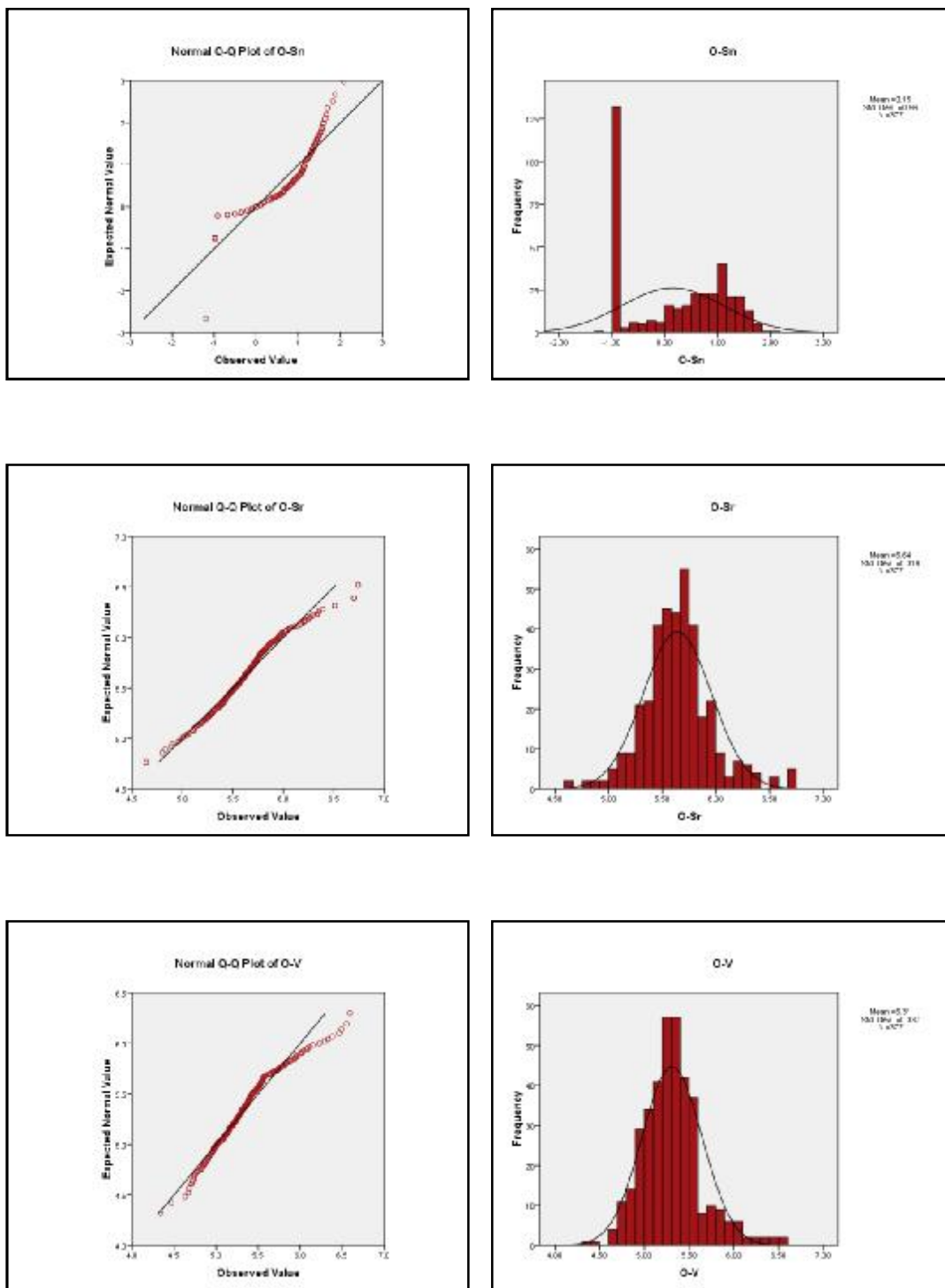
ادامه شکل ۲-۵ هیستوگرام نمودار تجمعی Q-Q در بهترین حالت نرمال شدگی عناصر دارای کج شدگی مثبت طبیعی



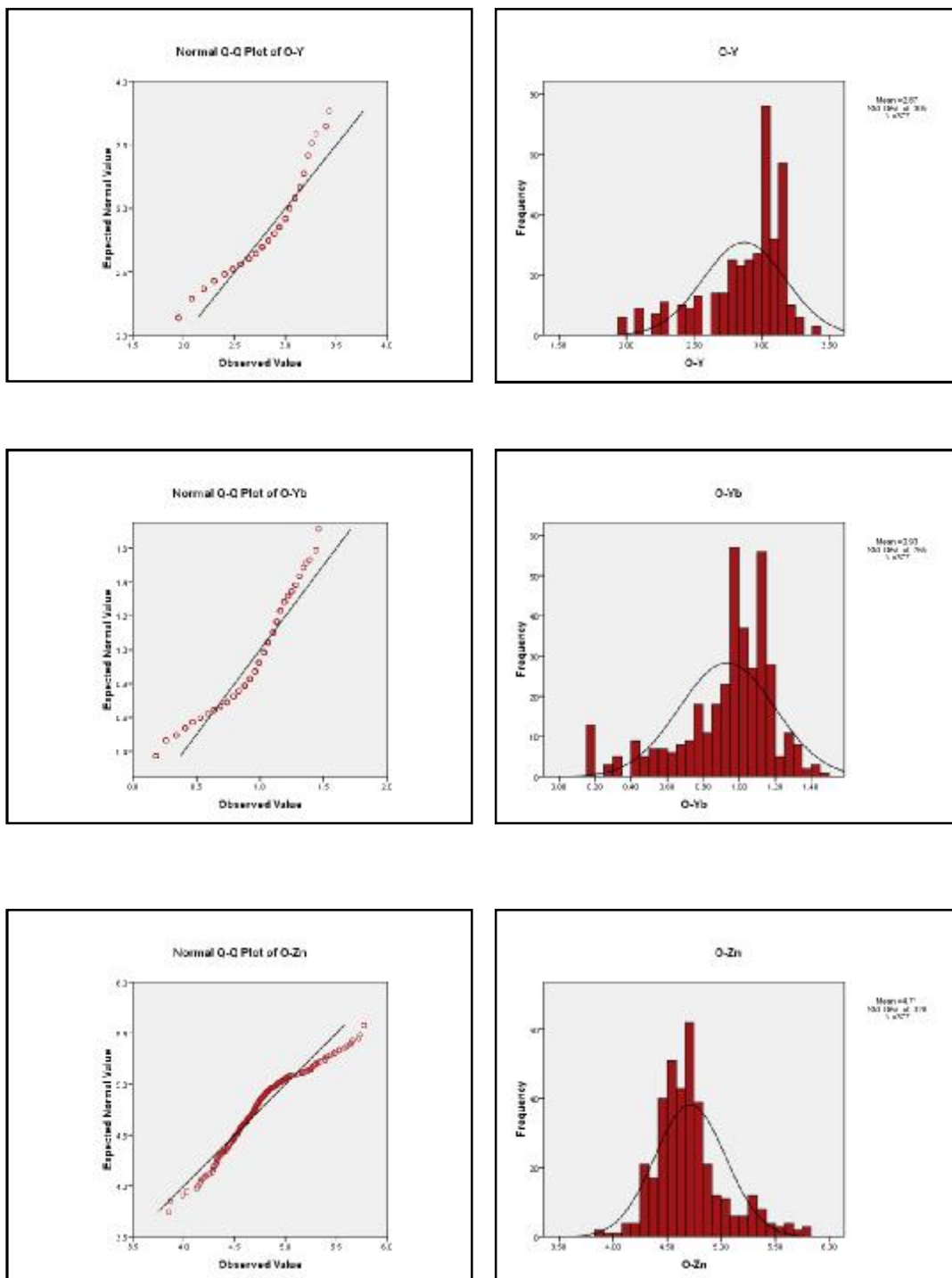
ادامه شکل ۲-۵ هیستوگرام نمودار تجمعی Q-Q در بهترین حالت نرمال شدگی عناصر دارای کج شدگی مثبت طبیعی

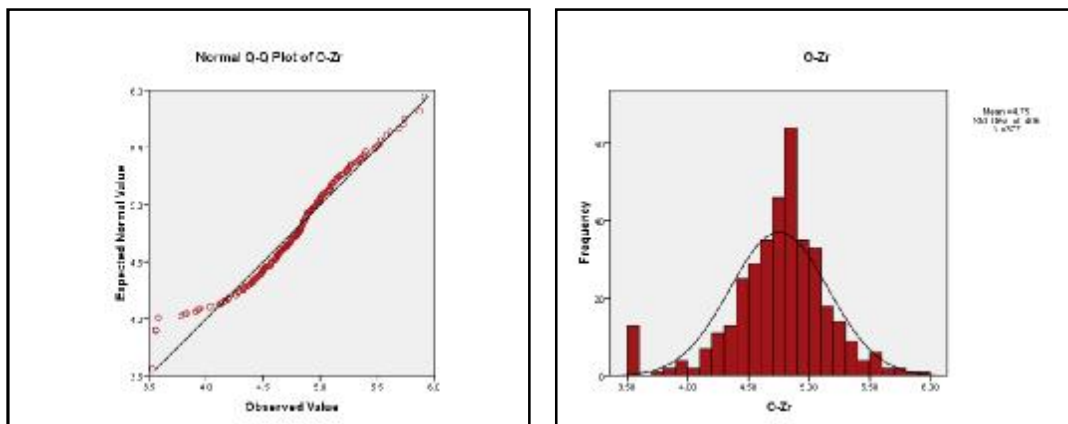


ادامه شکل ۲-۵- هیستوگرام نمودار تجمعی Q-Q در بهترین حالت فرمال شدگی عناصر دارای کج شدگی مثبت طبیعی



ادامه شکل ۲-۵ هیستوگرام نمودار تجمعی Q-Q در بهترین حالت نرمال شدگی عناصر دارای کج شدگی مثبت طبیعی





۱۰-۲ - بررسی‌های آماری چند متغیره

روش‌های آماری چند متغیره امکان آنالیز هم زمان چندین متغیر را فراهم می‌کنند. در جوامع آماری ژئوشیمیایی، یک فضای چندین متغیره از نمونه‌ها و عیار عناصری که در هر یک آنها اندازه‌گیری شده است وجود دارد. در چنین مواردی جهت درک بهتر از روابط میان پارامترهای ارزشمند، روش‌های آماری چند متغیر که قابلیت کاهش تعداد بعدها را در فضای دارند کارگشا هستند. به عنوان مثال در ژئوشیمی اکتشافی می‌توان تغییر پذیری هم زمان چندین عنصر یا متغیر را برای کشف دقیق تر آنومالی‌های احتمالی آنها مورد بررسی قرار دارد. نکته‌ی قابل توجه در آمار چند متغیره، تعداد نمونه‌ها در جوامع مورد بررسی می‌باشد، به عبارت دیگر تعداد داده‌های مورد استفاده می‌باشد که کاربرد روش مورد استفاده را منطقی نماید. استفاده از مقادیر معنادار در سطح اعتماد ۵% و یا آزمون‌هایی که در هر یک از این پردازش‌ها جهت معنی دار بودن نتایج مورد استفاده قرار می‌گیرد، می‌تواند به کاربر در استفاده به جا و مطمئن از داده‌ها کمک نماید. با توجه به این دیدگاه به اعمال سه پردازش همبستگی، تجزیه و تحلیل مولفه‌های اصلی و آنالیز خوش‌های بر روی داده‌های حاصل از تجزیه آزمایشگاهی نمونه‌ها پرداخته می‌شود.

۱۰-۱ - تعیین ارتباط با عناصر همبستگی

برای داشتن درک صحیحی از دلایل تفاوت توزیع عناصر مختلف در یک ناحیه نیاز به وجود پارامترهایی می‌باشد که می‌توانند میزان ارتباط و نوع آن را میان عناصر مختلف نشان دهند. تعیین چنین ارتباطی به سه روش رگرسیون، کوواریانس و همبستگی محدود است. با توجه به مزایای

| | | |
|--|--|--|
|  ایتوک ایران IRAN ITOK Engineering, Procurement & General Contracting | <p>پی جویی به روش اکتشافات ژئوشیمیایی ۱:۲۵۰۰۰ در محدوده پاریز I (استان کرمان) - فصل دوم - اکتشافات ژئوشیمیایی</p> |  جهانگردان سازمان اسناد و کتابخانه ملی اکتشافات معدنی کشور |
|--|--|--|

روش همبستگی از آن در این پروژه بهره گرفته می شود.

یکی از مزایای ضرایب همبستگی عدم وابستگی آن به واحد اندازه گیری داده ها می باشد. در محاسبه ضریب همبستگی نیز مانند بسیاری از پارامترهای آماری فرض نرمال بودن داده ها الزامی است. لذا می توان از تبدیلات متعارف جهت رسیدن به بهترین حالت نرمال بهره گرفت. در شرایطی که این فرض برقرار نباشد روش های آماری ناپارامتری، که به توزیع داده ها حساس نمی باشند، استفاده می شود.

با توجه به آنکه با اعمال تبدیل لگاریتمی و یا حذف مقادیر خارج از ردیف داده ها به حالت نرمال نزدیک شدند و به علاوه روش های ناپارامتری اغلب برای داده های ناپیوسته به کار می روند، لذا از روش آماری پیرسون که در رده پردازش های پارامتری قرار می گیرد بهره گرفته شد.

برای تفسیر داده ها بایستی به دو جنبه آن توجه نمود:

(الف) جنبه توصیفی که شامل بررسی شدت یا ضعف همبستگی، همراه با جهت تبعیت تغییرات دو متغیره نسبت به هم می باشد.

(ب) جنبه استنباطی که مهم تر بوده و به معنی دارا بودن و به عبارت دیگر واقعی بودن آن بر می گردد.
اگر همبستگی بین دو متغیر، در سطح معینی از معنی داری بی اهمیت باشد، دلالت بر آن دارد که همبستگی محاسبه شده ممکن است ناشی از عوامل تصادفی باشد. بنابراین در تفسیر استنباطی، ضریب همبستگی واقعی میان دو متغیر مطرح است نه سنجش مقدار آن. در جدول ۹-۲ نمونه های بی معنی در سطح اعتماد کمتر از ۹۵% با پیکان کاملاً افقی مشخص هستند.

رتبه بندی شدت همبستگی دو متغیره و رده بندی آنها اکثراً به طور سلیقه ای صورت می گیرد. در این پروژه

برای تفسیر توصیفی، از رده بندی زیر استفاده گردید؛

(الف) $r < 0.2$ همبستگی بسیار ضعیف و ناچیز

(ب) $0.2 < r < 0.4$ همبستگی ضعیف

(ج) $0.4 < r < 0.6$ همبستگی متوسط

(د) $0.6 < r < 0.8$ همبستگی قوی

(ه) $r > 0.8$ همبستگی بسیار قوی

با در نظر داشتن نکات فوق و پردازش همبستگی‌ها می‌توان نتایج نهایی را به صورت زیر گزارش نمود:

الف) میان طلا و سایر عناصر همبستگی معنی دار و جالب توجهی دیده نمی‌شود. صرفاً همبستگی منفی

نه چندان قوی میان این عنصر با تیتان و سدیم قابل اشاره می‌باشد.

ب) مس با کادمیوم، مولیبدن، گوگرد همبستگی نسبتاً متوسط دارد.

ج) روی با کبالت، منگنز و سرب همبستگی قوی و با ایتریوم، وانادیوم، مولیبدن، نیوبیوم، کروم،

کادمیوم، آهن، آرسنیک، تنگستن، تیتانیوم و اسکاندیوم همبستگی مثبت و متوسط دارد. این مجموعه

احتمال غنی شدگی موضعی و تراویشی روی مطرح ساخته و کانه سازی گرمابی آن را مورد شک قرار

می‌دهد.

د) عناصری هم چون La, Cs, Be, Th, Ba, P, Ce, V, Y با یکدیگر همبستگی مثبت دارند که به نظر حاصل

سنگ شناسی منطقه است. همبستگی این عناصر با Na نیز در همین چارچوب قابل بررسی است.

بر اساس مطالعات فوق بیشتر این همبستگی‌های گزارش شده حاصل سنگ شناسی منطقه بوده و

عناصر کانسار ساز حایز اهمیت هستند.

جدول ۲-۹ مقادیر همبستگی پارامتری (پرسون) میان عناصر اندازه گیری شده رسوایات آبراهه ای پاریز

| | |
|--|-------------------------------------|
| | Corrolation ≥ 0.6 |
| | $0.6 > \text{Corrolation} \geq 0.4$ |
| | $0.4 > \text{Corrolation} \geq 0$ |
| | $0 > \text{Corrolation} \geq -0.2$ |
| | $-0.2 > \text{Corrolation}$ |

| | | |
|--|--|--|
|  ایتوک ایران IRAN ITOK Engineering, Procurement & General Contracting | <p>پی جویی به روش اکتشافات ژئوشیمیایی ۱:۲۵۰۰۰ در محدوده پاریز I (استان کرمان) - فصل دوم - اکتشافات ژئوشیمیایی</p> |  جهانگردان سازمان اسناد و کتابخانه ملی اکتشافات معدنی کشور |
|--|--|--|

۲-۱۰-۲ - آنالیز خوشهای

در روش تجزیه و تحلیل خوشهای هدف دست یافتن به ملاکی جهت طبقه بندی هر چه مناسب‌تر متغیرها و یا نمونه‌ها بر اساس تشابه حداقل درون گروهی و اختلافات هر چه بیشتر بین گروهی است. این ویژگی کمک می‌کند تا بتوان متغیرها و نمونه‌ها را به صورت خوشهایی که بیشترین تشابه ممکن را درون خود و حداقل اختلاف را بین خود دارند طبقه بندی کرد. همانطور که فاصله‌ی دو نمونه و یا دو متغیر می‌تواند ملاک تشابه قرار گیرد، ضریب همبستگی دو متغیر نیز می‌تواند ملاک تشابه رفتاری آنها محسوب گردد. اگر هدف یافت شباخت بین رفتار تغییر پذیری متغیرها باشد، ضرایب همبستگی بین آنها معیار مناسب تری نسبت به فاصله در اختیار می‌گذارد. این منطق در رسم دندوگرام یا نمودار درختی به کار گرفته می‌شود.

شکل ۲-۶ نمودار خوشهای حاصل از تحلیل کلاستر ضرایب غنی شدگی را نشان می‌دهد. هر چند نتایج حاصل از تفسیر این نمودار می‌تواند مفید باشد، ولی نباید بر اساس آن نتیجه گیری اساسی نمود؛ زیرا تحلیل خوشهای یک روش آماری غیر قابل آزمون بوده و راهی برای دانستن این که داده‌ها بیشتر از آن چه از یک جامعه‌ی تصادفی انتظار می‌رود، خوشبندی شده‌اند یا خیر وجود ندارد. با توجه به این تذکر تفسیر نمودار به صورت زیر می‌باشد:

(الف) همبستگی و حضور هم زمان عناصر دارای رفتار ژئوشیمیایی مشابه در یک شاخه می‌تواند دلیلی بر دقت نسبتاً مناسب آنالیز و اعتماد به سایر نتایج حاصله باشد. در این زمینه می‌تواند به ارتباط سرب و روی و یا پتاسیم و روییدیم اشاره نمود. نیکل و کبالت، ایندیوم و ایتریوم، کلسیم واسترانسیوم از دیگر مثال‌های مصدق این ارتباطات معنی‌دار هستند.

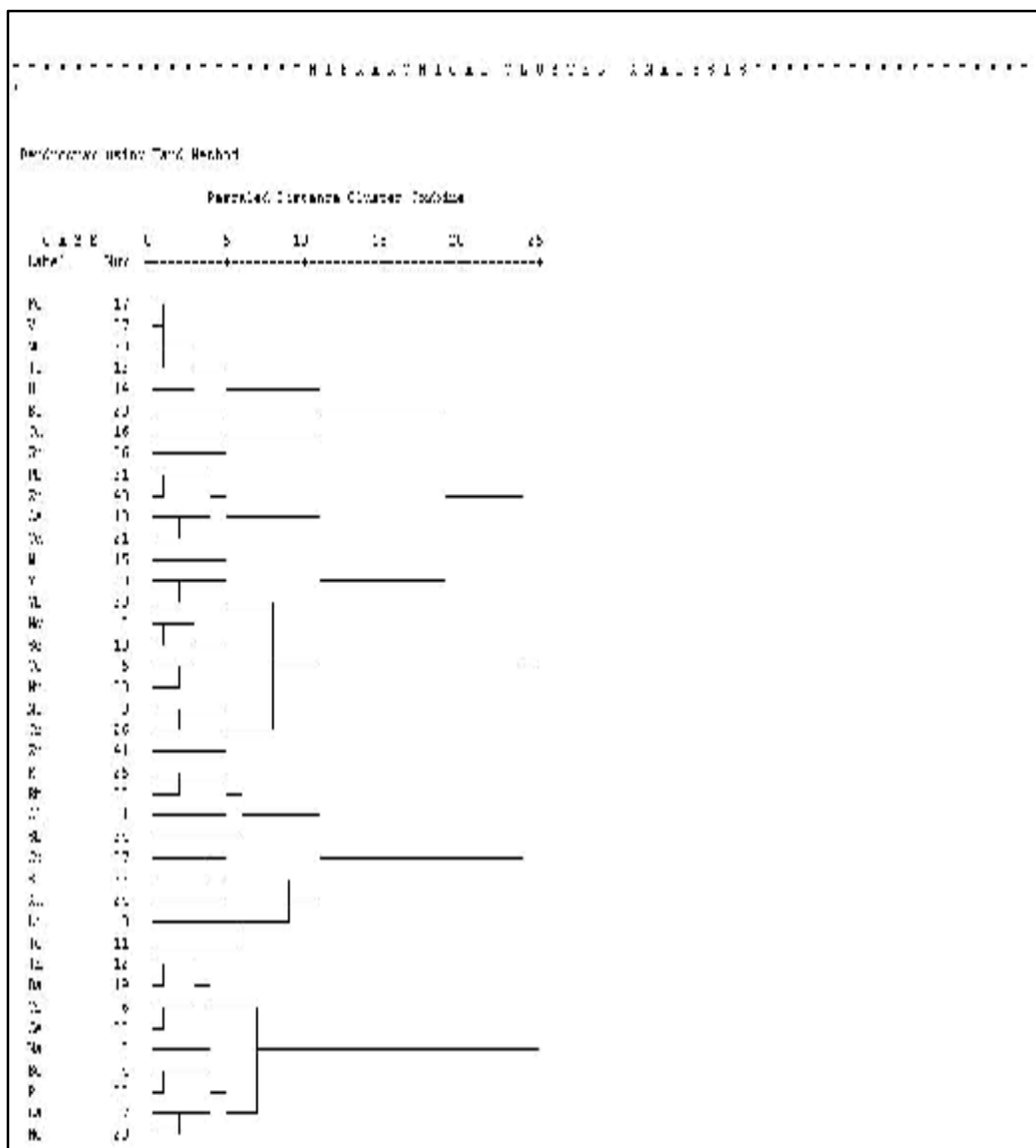
(ب) بخش عمده‌ای از خوشه‌ها حاصل تنوع و توزیع عناصر در واحدهای سنگی منطقه است. به طور مثال آهن، وانادیوم، نیوبیوم، تیتان و اورانیوم، در یک خوشه و یا پتاسیم، روییدیم و آلومینیوم در خوشه‌ای دیگر قرار دارند.

(ج) خوشه‌هایی که می‌توان آنها را به کانه‌سازی‌های منطقه مرتبط دانست عبارت است از خوشه‌ی سرب، روی، آرسنیک، کادمیوم و تنگستن، خوشه سه گانه مس، گوگرد، طلا که با کمی اغماض با تلویریم و لیتیوم

همراه می‌شوند. خوشه‌ی پائینی نیز بر این آنالیز همبستگی و همراهی جالب توجه میان عناصری را نشان می‌دهد که در اصطلاح ژئوشیمی ناسازگار نامیده می‌شود. بریلیوم، فسفر، لانتانیوم، مولبیدن و قلع عناصر مشکل این خوشه می‌باشند.

این عناصر در مجاورت و مرتبط با عناصر توریوم، باریوم، سزیوم، سربیم و سدیم هستند که دارای خصوصیات مشابه ژئوشیمیایی بوده و غالباً به نفوذ توده‌های اسیدی گرانیتی-گرانودیوریتی نسبت داده می‌شوند.

شکل ۲-۶ نمودار خوشه‌ای نمونه‌های آبراهه‌ای پاریز I



| | | |
|---|--|--|
|  ایتوک ایران IRAN ITOK Engineering, Procurement & General Contracting | <p>پی جویی به روش اکتشافات ژئوشیمیایی ۱:۲۵۰۰۰ در محدوده پاریز I</p> <p>(استان کرمان) - فصل دوم - اکتشافات ژئوشیمیایی</p> |  جهانگردان سازمان اسناد و کتابخانه ملی اکتشافات معدنی کشور |
|---|--|--|

۳-۱۰-۲ - روش‌های مبتنی بر مقادیر ویژه

در روش‌های مبتنی بر مقادیر ویژه با استفاده از مقادیر و بردارهای خاص، جهت‌هایی با حداقل تغییر پذیری شناسایی می‌شود. سپس با تعریف متغیرهای جدیدی که ترکیب خطی از متغیرهای اولیه هستند تعداد ابعاد و یا متغیرها کاهش یافته و نقش هر یک از متغیرها در تغییر پذیری مشخص می‌گردد. روش تجزیه و تحلیل مولفه‌های اصلی یکی از کارآمدترین این روش‌ها بوده که به صورت نرم‌افزاری به تجزیه و تحلیل عاملی (آنالیز فاکتوری) نیز معروف می‌باشد.

هدف اصلی این عملیات پردازشی آن است که با کمک ساختارهای واریانسی و کوواریانس حجم داده‌ها را کاهش دهد. با توجه به این مزایا با استفاده از داده‌های نرمال این پردازش اعمال شد و نتیجه حاصل به صورت ذیل تقسیم می‌گردد. آزمون بارتلت، KMO، یکی از مقادیر است که در حین پردازش صورت گرفته توسط نرم‌افزار ارائه می‌گردد که مقدار آن دلالت بر میزان اعتبار و کارایی این روش می‌باشد. مقدار این آزمون با توجه به جدول ۱۰-۲ جهت عناصری که ارتباط آنها با کانه‌سازی محتمل‌تر می‌باشد در منطقه پاریز I تقریباً ۸۱/۰ می‌باشد. که پردازش صورت گرفته را در رد مناسب قرار می‌دهد.

جدول ۱۰-۲ مقادیر آزمون KMO و بارلت برای نمونه‌های آبراهه‌ای در منطقه پاریز I

| KMO and Bartlett's Test | | |
|--|--------------------|----------|
| Kaiser-Meyer-Olkin Measure of Sampling Adequacy. | | 0.808753 |
| Bartlett's Test of Sphericity | Approx. Chi-Square | 6416.38 |
| | df | 253 |
| | Sig. | 0 |
| | | |

پارامتر دیگر ارائه شده میزان مشارکت برای هر عضو می‌باشد که در جدول ۱۱-۲ آمده است بر اساس جدول مذکور تمامی ضرایب غنی شدگی عناصر دارای درجه مشارکت با ضریب یک و یا نزدیک به آن هستند و این بدان معنی است که تماماً این عناصر تقریباً صد درصد ماهیت ژئوشیمی خود را در پردازش صورت پذیرفته نشان داده شده‌اند.

| | | |
|--|--|--|
|  ایتوک ایران IRAN ITOK Engineering, Procurement & General Contracting | <p>پی جویی به روش اکتشافات ژئوشیمیایی ۱:۲۵۰۰۰ در محدوده پاریز I (استان کرمان) - فصل دوم - اکتشافات ژئوشیمیایی</p> |  جهانگردان سازمان اسناد و کتابخانه ملی اکتشافات معدنی کشور |
|--|--|--|

با توجه به جدول ۲-۱۰ مشخص است که ۸ عامل مولفه اول در حالت چرخش داده شده، با درصد تجمعی واریانسی نزدیک به ۸۰٪ می‌توانند معرف تقریبی کل جامعه باشند. لذا به تفسیر و بررسی این عوامل کفایت می‌شود. توجه گردد که نقشه‌های ۴ فاکتور اول با اصولی که در بند ۱۱-۲ تشریح خواهد شد تهیه گردیده اند.

مولفه ۱: این فاکتور تغییرات عناصر باریم، توریم، سدیم، سزیوم و حتی مولیبدن را توجیه می‌نماید. مهمترین شباهت این عناصر بزرگی شعاع یونی آنها می‌باشد که باعث می‌گردد در حین فرآیندهای تکامل ماگمایی، عناصر مورد بحث در میان باقی مانده غنی شده و یا در آخرین محصولات تبلور ماگمایی گرانیت‌ها و یا گرانودیوریت‌ها غنی شوند. پراکندگی این فاکتور بر اساس نقشه ۲-۲ بیشتر در غرب و جنوب غرب محدوده مرکز بوده و به نظر با توده گرانودیوریتی و کانسار دره زار در ارتباط است.

مولفه ۲: سرب و روی عناصر این فاکتور هستند که با توجه به شباهت ژئوشیمی آنها حضورشان در کنار یکدیگر قابل توجیه می‌باشند و سایر پردازش‌های چند متغیره صورت گرفته تا کنون را نیز تأیید می‌نماید. پراکندگی آنومالی‌های اصلی این فاکتور به غرب محدوده مربوط می‌شود و نشان از پتانسیل‌های بالای آن دارد. آنومالی‌های کوچک و پراکنده‌ای از این فاکتور در اطراف دیگر رخمنون‌های نفوذی منطقه دیده می‌شود (نقشه ۲-۳).

مولفه ۳: روبيديم و پتاسييم که در این فاکتور حاضر هستند به عنوان زوج عناصر رادیومتریک محسوب می‌گردند و حضور آنها در یک فاکتور منطقی است. نقشه ۲-۴ نشان می‌دهد آنومالی شدیدی از این فاکتور در محدوده قابل رویت نیست و همان مقادیر کم نیز به زیر دست معدن دره زار محدود می‌شود.

این موضوع بیش از هر چیز می‌تواند حاصل آلودگی ناشی از معدن کاری در محدوده یاد شده باشد.

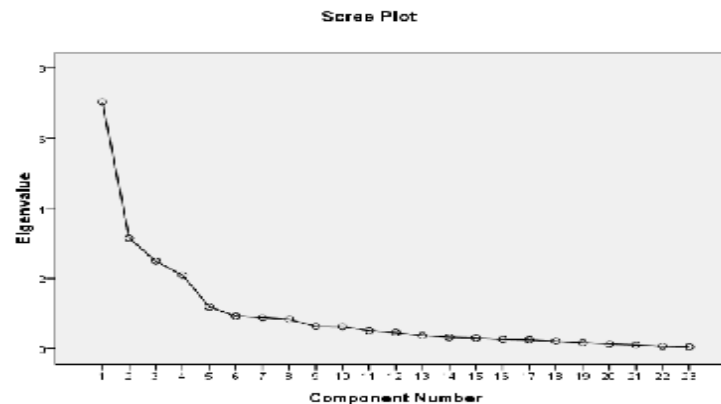
مولفه ۴: این فاکتور توزیع عناصر ایتریوم و آهن را توصیه می‌نماید. این عناصر چندان نمی‌توانند به لحاظ توزیع رادیومتریک و یا کانه‌سازی اهمیت داشته باشند. شدت آنومالی‌های این فاکتور نیز بالا نبوده (نقشه ۲-۵) و بیشتر به دره‌های مجاور دره زار، که در این گزارش دره گوینی از آن یاد می‌شود، قابل رویت می‌باشد. سایر مولفه‌ها: سایر مولفه‌ها همگی تنها یک عنصر را توجیه می‌کنند. مثلاً مولفه ۵ توزیع بیسموت، مولفه ۶ توزیع لیتیوم، مولفه ۷ گوگرد، مولفه ۸ مس و مولفه ۱۱ طلا را توجیه می‌نمایند.

جدول ۱۱-۲ - مقادیر بار فاکتوری عناصر مختلف برای ۱۰ مولفه اول

| Elements | Component | | | | | | | | | |
|----------|-----------|-------|-------|-------|-------|-------|-------|-------|-------|-------|
| | 1 | 2 | 3 | 4 | 5 | 6 | 7 | 8 | 9 | 10 |
| Ba | 0.94 | 0.15 | 0.11 | 0.08 | 0.03 | -0.04 | 0.05 | 0.04 | -0.02 | 0.05 |
| Th | 0.90 | 0.08 | 0.10 | 0.07 | 0.01 | -0.15 | 0.09 | 0.01 | 0.01 | 0.10 |
| Ce | 0.85 | 0.13 | -0.10 | 0.04 | -0.10 | -0.02 | -0.02 | 0.16 | -0.09 | 0.16 |
| Cs | 0.75 | 0.06 | -0.12 | 0.14 | -0.08 | -0.05 | 0.00 | 0.06 | -0.10 | 0.15 |
| Zn | 0.18 | 0.86 | 0.01 | 0.21 | 0.08 | -0.06 | 0.06 | 0.12 | 0.01 | 0.07 |
| Pb | 0.20 | 0.76 | 0.10 | 0.13 | 0.14 | -0.08 | 0.15 | 0.15 | 0.13 | 0.06 |
| Rb | -0.11 | -0.03 | 0.94 | 0.01 | 0.07 | 0.08 | -0.04 | -0.03 | 0.13 | -0.07 |
| K | 0.31 | 0.13 | 0.83 | 0.05 | 0.01 | 0.12 | 0.00 | 0.08 | 0.11 | 0.04 |
| Yb | 0.13 | 0.18 | 0.09 | 0.91 | 0.16 | -0.02 | -0.05 | -0.06 | -0.02 | 0.07 |
| Fe | 0.21 | 0.32 | -0.17 | 0.57 | 0.36 | -0.17 | -0.06 | -0.02 | -0.09 | 0.00 |
| Bi | -0.08 | 0.11 | 0.09 | 0.21 | 0.92 | -0.06 | -0.13 | -0.05 | 0.13 | -0.08 |
| Li | -0.17 | -0.08 | 0.15 | -0.05 | -0.07 | 0.93 | 0.00 | 0.08 | 0.06 | -0.06 |
| S | 0.07 | 0.12 | -0.04 | -0.06 | -0.12 | 0.00 | 0.93 | 0.17 | 0.03 | 0.10 |
| Cu | 0.15 | 0.18 | 0.03 | -0.07 | -0.05 | 0.08 | 0.19 | 0.89 | 0.06 | 0.09 |
| Sb | -0.09 | 0.07 | 0.18 | -0.04 | 0.10 | 0.05 | 0.03 | 0.05 | 0.96 | -0.03 |
| Sn | 0.25 | 0.08 | -0.03 | 0.06 | -0.08 | -0.06 | 0.10 | 0.08 | -0.03 | 0.93 |
| Au | -0.06 | 0.02 | 0.04 | -0.08 | 0.02 | 0.04 | 0.13 | 0.13 | 0.06 | -0.04 |
| W | 0.25 | 0.25 | 0.05 | 0.12 | 0.00 | -0.08 | 0.01 | 0.02 | -0.02 | 0.05 |
| U | 0.21 | 0.13 | -0.11 | 0.32 | 0.25 | -0.21 | -0.06 | -0.09 | -0.10 | 0.00 |
| As | 0.31 | 0.29 | 0.05 | 0.11 | -0.05 | 0.14 | 0.16 | 0.11 | 0.05 | 0.13 |
| Cd | 0.14 | 0.39 | -0.01 | 0.09 | -0.12 | 0.11 | 0.19 | 0.20 | 0.08 | 0.13 |
| Be | 0.42 | 0.00 | 0.25 | 0.16 | -0.05 | -0.12 | 0.00 | 0.05 | -0.11 | 0.14 |
| Mo | 0.39 | 0.21 | -0.12 | 0.05 | -0.05 | -0.23 | 0.16 | 0.22 | 0.00 | 0.16 |

جدول ۱۲-۲ درصد توجیه پذیری هر فاکتوری و میزان مشارکت عناصر در آزمون صورت پذیرفته

| Component | Initial Eigenvalues | | | Extraction Sums of Squared Loadings | | | Rotation Sums of Squared Loadings | | | Communalities | |
|-----------|---------------------|---------------|--------------|-------------------------------------|---------------|--------------|-----------------------------------|---------------|--------------|---------------|------|
| | Total | % of Variance | Cumulative % | Total | % of Variance | Cumulative % | Total | % of Variance | Cumulative % | Be | 1.00 |
| 1 | 7.03 | 30.57 | 30.57 | 7.03 | 30.57 | 30.57 | 3.91 | 17.01 | 17.01 | Li | 1.00 |
| 2 | 3.15 | 13.68 | 44.26 | 3.15 | 13.68 | 44.26 | 1.96 | 8.52 | 25.53 | W | 1.00 |
| 3 | 2.49 | 10.85 | 55.11 | 2.49 | 10.85 | 55.11 | 1.83 | 7.97 | 33.50 | As | 1.00 |
| 4 | 2.09 | 9.09 | 64.20 | 2.09 | 9.09 | 64.20 | 1.48 | 6.43 | 39.93 | Ba | 0.98 |
| 5 | 1.19 | 5.18 | 69.38 | 1.19 | 5.18 | 69.38 | 1.17 | 5.11 | 45.04 | Bi | 1.00 |
| 6 | 0.92 | 4.01 | 73.39 | 0.92 | 4.01 | 73.39 | 1.11 | 4.84 | 49.88 | Cd | 1.00 |
| 7 | 0.88 | 3.82 | 77.20 | 0.88 | 3.82 | 77.20 | 1.08 | 4.70 | 54.57 | Ce | 1.00 |
| 8 | 0.83 | 3.61 | 80.81 | 0.83 | 3.61 | 80.81 | 1.06 | 4.59 | 59.16 | Au | 1.00 |
| 9 | 0.62 | 2.71 | 83.52 | 0.62 | 2.71 | 83.52 | 1.06 | 4.59 | 63.75 | K | 1.00 |
| 10 | 0.62 | 2.69 | 86.21 | 0.62 | 2.69 | 86.21 | 1.05 | 4.59 | 68.34 | Cu | 1.00 |
| 11 | 0.51 | 2.21 | 88.41 | | | | | | | Pb | 1.00 |
| 12 | 0.45 | 1.95 | 90.36 | | | | | | | Mo | 1.00 |
| 13 | 0.37 | 1.60 | 91.97 | | | | | | | S | 1.00 |
| 14 | 0.32 | 1.39 | 93.36 | | | | | | | Sb | 1.00 |
| 15 | 0.30 | 1.32 | 94.67 | | | | | | | Sn | 1.00 |
| 16 | 0.26 | 1.14 | 95.81 | | | | | | | Zn | 1.00 |
| 17 | 0.25 | 1.07 | 96.89 | | | | | | | Yb | 1.00 |
| 18 | 0.21 | 0.92 | 97.80 | | | | | | | Fe | 1.00 |
| 19 | 0.16 | 0.72 | 98.52 | | | | | | | Rb | 1.00 |
| 20 | 0.13 | 0.56 | 99.08 | | | | | | | U | 1.00 |
| 21 | 0.10 | 0.45 | 99.53 | | | | | | | Th | 0.98 |
| 22 | 0.06 | 0.28 | 99.80 | | | | | | | Cs | 1.00 |



| | | |
|--|--|--|
|  ایتوک ایران IRAN ITOK Engineering, Procurement & General Contracting | <p>پی جویی به روش اکتشافات ژئوشیمیایی ۱:۲۵۰۰۰ در محدوده پاریز I (استان کرمان) - فصل دوم - اکتشافات ژئوشیمیایی</p> |  جهانگردان سازمان اسناد و کتابخانه ملی اکتشافات معدنی کشور |
|--|--|--|

۱۱-۲- تکنیک‌های رسم نقشه و جداسازی مناطق آنومال

آخرین محصول هر برداشت معدنی اعم از اکتشافی یا استخراجی نقشه‌ای است که نتایج برداشت‌ها، تحلیل‌ها و تخمین‌ها را نشان می‌دهد. اصولاً نمایش داده‌ها و اطلاعات به صورت تصویری به درک ارتباط بین اجزای موجود در آن و تعبیر و تفسیر نتایج و نهایتاً طراحی بهینه‌ی فاز بعدی کمک می‌کند. موقعیت نسبی اطلاعات و نحوه‌ی توزیع آنها بر روی نقشه نمایان بوده و در نتیجه کار تعبیر و تفسیر به راحتی انجام پذیر می‌شود. به لحاظ ریاضی نیز رسم نقشه را می‌توان به معنی ایجاد پیوستگی بین یک سری داده‌ی ناپیوسته دانست. ایجاد چنین پیوستگی در آشکار سازی روابط بین اجزای مورد مطالعه موثر و مفید می‌باشد. در این پروژه از داده‌های تک متغیره و همچنین فاکتوری برای تهیه نقشه و معرفی نواحی آنومال بهره گرفته شده است.

۱-۱۱-۲- جدایش آنومالی به روش تک متغیره

۱-۱۱-۱-۱- محاسبه‌ی مقادیر زمینه‌ی حد آستانه‌ای و آنومالی‌های هر متغیر

روش‌های آماری مختلفی برای جداسازی و تشخیص مناطق آنومال از زمینه توسعه یافته است. این روش‌ها از انواع ساده یا غیر ساختاری، بر اساس پارامترهای توزیع، تا پیچیده یا ساختاری، بر اساس ساختار فضایی داده‌ها، تغییر می‌کنند. روش‌های پیچیده شامل انواعی می‌گردد که در آن موقعیت نقاط نمونه‌برداری و ارتباط فضایی میان آنها در تخمین مناطق آنومال موثر می‌باشد. در روش‌های غیر ساختاری با توجه به ماهیت برداشت‌های آبراهه‌ای، فقط مقدار اندازه‌گیری شده برای هر نمونه مورد توجه قرار می‌گیرد و موقعیت فضایی نقاط نمونه‌برداری مهم نیستند. پایه و اساس این روش‌ها حساب احتمالات است. این روش‌ها را می‌توان به دو گروه زیر طبقه‌بندی کرد.

الف) روش‌هایی که سعی در تخمین حد آستانه‌ای دارند، که از این روش در حالتی که تعداد نمونه‌های آنومال کم باشند و قسمت بیشتر داده‌ها را جامعه‌ی زمینه تشکیل داده باشند، استفاده می‌شود؛

ب) روش‌هایی که سعی در تخمین مرز جدایش جامعه‌ی داده‌های آنومال از جامعه‌ی داده‌های زمینه دارند. در این روش‌ها ابتدا مرز جدایش جامعه‌ی آنومال و جامعه‌ی زمینه تخمین زده شده و سپس بر اساس آن حد آستانه‌ای مقادیر آنومال مشخص می‌گردد. لازم به یاد آوری است که جامعه‌ی آنومال

| | | |
|---|--|--|
|  ایتوک ایران IRAN ITOK Engineering, Procurement & General Contracting | <p>پی جویی به روش اکتشافات ژئوشیمیایی ۱:۲۵۰۰۰ در محدوده پاریز I (استان کرمان) - فصل دوم - اکتشافات ژئوشیمیایی</p> |  جهانگردان سازمان زمین شناسی و اکتشافات معدنی کشور |
|---|--|--|

دامنهای از مقادیر را در بر می‌گیرد که همه‌ی آنها از ارزش یکسانی برخوردار نمی‌باشند. این روش برای مواردی که تعداد نمونه‌های آنومال زیاد باشند، قابل استفاده می‌باشد.

۱۱-۲-۲- برآورد حد آستانه‌ای بر اساس میانه و انحراف معیار:

روش مذکور در زمره‌ی روش‌های غیر ساختاری که سعی در تخمین حد آستانه‌ای دارند قرار می‌گیرد. در برداشت‌های اکتشافی توزیع فراوانی داده‌ها به دلیل چولگی زیاد اغلب لاغ نرمال است. در این برداشت‌ها مقادیر بزرگ تابع توزیع، آنومالی‌ها را تشکیل می‌دهند. این مقادیر که از بقیه داده‌ها قابل تفکیک هستند، مناطق امید بخش برای پیدایش کانی‌سازی اقتصادی می‌باشند.

پس از جایگزینی مقادیر خارج از حدود آشکارسازی، جدایش مقادیر خارج از ردیف، نرمال سازی داده‌ها و به دست آوردن ضرایب غنی شدگی، اقدام به محاسبه‌ی مقادیر میانگین (\bar{X}) و انحراف معیار (S) گردید، در این روش مقدار $\bar{X} + 1S$ به عنوان مقدار زمینه، مقادیر مابین $\bar{X} + 1S$ و $\bar{X} + 2S$ به عنوان محدوده‌ی آستانه‌ای، مقادیر مابین $\bar{X} + 2S$ و $\bar{X} + 3S$ به عنوان آنومالی‌های ممکن، مقادیر بالاتر از $\bar{X} + 3S$ به عنوان آنومالی‌های احتمالی طبقه‌بندی گردیدند. این مقادیر به تفکیک برای عناصر مهم منطقه در جدول ۱۳-۲ آورده شده است.

جدول ۱۳-۲ حد زمینه و آنومالی‌های مختلف بر اساس میانه و ضرایب از انحراف از معیار

| Sample | Al | Mg | Na | Be | Co | Cs | La |
|----------------|----------|----------|----------|----------|----------|----------|----------|
| Std | 8300.83 | 3634.51 | 3584.94 | 0.387344 | 4.645078 | 3.119841 | 6.546912 |
| Median | 73181.00 | 14362.00 | 16674.00 | 1.31 | 20.00 | 11.80 | 14.00 |
| Median + 1 std | 81481.83 | 17996.51 | 20258.94 | 1.70 | 24.65 | 14.92 | 20.55 |
| Median + 2 std | 89782.65 | 21631.03 | 23843.89 | 2.084689 | 29.29016 | 18.03968 | 27.09382 |
| Median + 3 std | 98083.48 | 25265.54 | 27428.83 | 2.472033 | 33.93524 | 21.15952 | 33.64074 |

| Sample | Li | Ni | Sc | Te | Th | Ti | U |
|----------------|-----------|-----------|-----------|-----------|-----------|-----------|-----------|
| Std | 7.5765251 | 7.5066387 | 4.2064438 | 0.0938641 | 4.0468295 | 1279.1727 | 2.8885087 |
| Median | 21.00 | 26.00 | 17.40 | 0.31 | 11.10 | 5261.00 | 9.20 |
| Median + 1 std | 28.58 | 33.51 | 21.61 | 0.40 | 15.15 | 6540.17 | 12.09 |
| Median + 2 std | 36.15305 | 41.013277 | 25.812888 | 0.4977282 | 19.193659 | 7819.3454 | 14.977017 |
| Median + 3 std | 43.729575 | 48.519916 | 30.019332 | 0.5915923 | 23.240488 | 9098.5181 | 17.865526 |

| | | |
|---|---|---|
|  ایتوک ایران IRAN ITOK Engineering, Procurement & General Contracting | پی جویی به روش اکتشافات ژئوشیمیایی ۱:۲۵۰۰۰ در محدوده پاریز I (استان کرمان) - فصل دوم - اکتشافات ژئوشیمیایی |  جغرافیا جهانی سازمان زمین گفتگو اکتشافات معدنی کشور |
|---|---|---|

ادامه جدول ۱۳- ۲ حد زمینه و آنومالی‌های مختلف بر اساس میانه و ضرایبی از انحراف از معیار

| Sample | W | Ca | Fe | As | Ba | Be | Cd |
|----------------|-----------|-----------|-----------|-----------|-----------|-----------|------------|
| Std | 0.8008392 | 0.4774463 | 0.2582519 | 0.441098 | 0.4113189 | 0.4181496 | 0.458993 |
| Median | 2.10 | 10.17 | 10.93 | 2.83 | 6.64 | -0.37 | -1.43 |
| Median + 1 std | 2.90 | 10.65 | 11.19 | 3.27 | 7.05 | 0.05 | -0.97 |
| Median + 2 std | 3.7016785 | 11.124893 | 11.446504 | 3.7121959 | 7.4626377 | 0.4662993 | -0.5120141 |
| Median + 3 std | 4.5025177 | 11.602339 | 11.704756 | 4.1532939 | 7.8739566 | 0.8844489 | -0.0530211 |

| Sample | Ce | P | Au | K | Cr | Cu | Mn |
|----------------|-----------|-----------|-----------|-----------|-----------|-----------|-----------|
| Std | 0.4668963 | 0.2264231 | 0.7870857 | 0.2424207 | 0.3587011 | 0.4069902 | 0.3404062 |
| Median | 4.58 | 6.76 | 0.69 | 9.63 | 4.06 | 4.43 | 6.91 |
| Median + 1 std | 5.05 | 6.99 | 1.48 | 9.87 | 4.42 | 4.84 | 7.25 |
| Median + 2 std | 5.5137927 | 7.2128462 | 2.2641715 | 10.114841 | 4.7774022 | 5.2439803 | 7.5908125 |
| Median + 3 std | 5.980689 | 7.4392693 | 3.0512572 | 10.357262 | 5.1361033 | 5.6509705 | 7.9312187 |

| Sample | Mo | Nb | Pb | Rb | S | Sb | Sn |
|----------------|-----------|-----------|-----------|-----------|-----------|-----------|-----------|
| Std | 0.5791254 | 0.2808197 | 0.482578 | 0.5727066 | 0.5273496 | 0.6786291 | 0.9599306 |
| Median | -0.19 | 3.00 | 3.37 | 4.09 | 5.48 | 0.26 | 0.26 |
| Median + 1 std | 0.39 | 3.28 | 3.85 | 4.66 | 6.01 | 0.94 | 1.22 |
| Median + 2 std | 0.9682508 | 3.5616393 | 4.3351559 | 5.2354131 | 6.5346992 | 1.6172582 | 2.1798612 |
| Median + 3 std | 1.5473762 | 3.842459 | 4.8177339 | 5.8081197 | 7.0620487 | 2.2958873 | 3.1397917 |

| Sample | Sr | V | Y | Yb | Zn | Zr | |
|----------------|-----------|-----------|-----------|-----------|----------|-----------|--|
| Std | 0.3192465 | 0.3369416 | 0.3050954 | 0.2653403 | 0.328371 | 0.4055119 | |
| Median | 5.63 | 5.29 | 2.94 | 0.99 | 4.68 | 4.81 | |
| Median + 1 std | 5.95 | 5.63 | 3.25 | 1.26 | 5.01 | 5.22 | |
| Median + 2 std | 6.2684929 | 5.9638832 | 3.5501907 | 1.5206805 | 5.336742 | 5.6210237 | |
| Median + 3 std | 6.5877394 | 6.3008248 | 3.8552861 | 1.7860208 | 5.665113 | 6.0265356 | |

از میان عناصر آنالیز شده، عناصر Au, Ag نمایند، انتخاب و نقشه‌ی آنها رسم گردید. این عناصر با توجه به اهداف اکتشافی و اهمیت رדיابی و همراهی آنها با کانه‌سازی انتخاب گردیدند. در این پروژه برای نشان دادن و جدایی مناطق آنومالی از سایر مناطق از نرم افزار ARC GIS 9.3 بهره گرفته شده است. برای رسم نقشه‌ی آنومالی، پلی گون‌های هر نمونه با بهره‌گیری از Arc Hydro Extension پارامترهای حد آستانه‌ای، زمینه و سایر پارامترها در نرم افزار Microsoft Excel 2007 تعیین مقادیر هر کدام از پارامترهای حد آستانه‌ای، زمینه و سایر پارامترها در نرم افزار Arc Hydro Extension تهییه گردید. با تعیین مقادیر هر کدام از نمونه را با توجه به قرار گیری هر کدام از آنها در محدوده‌ای خاص عیاری به رنگی که از قبل تعریف شده، رنگ آمیزی گردید. مزایای این نوع نقشه‌ها آن است که صرفاً با یک نگاه به نقشه می‌توان مناطق بالادستی هر یک از آنومالی‌ها را تشخیص داده و برای بررسی احتمال حضور کانی‌سازی، آنها را مورد بازدید صحراوی قرار داد. در نقشه‌های تهییه شده از شش رنگ جهت جداسازی نواحی مختلف به لحاظ تفاوت در وجود پتانسیل‌های معدنی بر پایه‌ی اطلاعات اکتشافات آبراهه‌ای، بهره گرفته شده که عبارتند از:

الف- زرد کم رنگ، مقادیر کمتر از حد میانه

ب- سیز پسته‌ای، مقادیر مایبن حد میانه و حد زمینه

ج - سیز، مقادیر بین $1S$ و $2S$ پا محدوده عیار آستانه‌ای

د- نارنجی، مقادیر $\bar{X} + 2S$ و $\bar{X} + 3S$ یا آنومالی ممکن

٥- قریبًاً $\bar{X} + 3S$

ابن معیا، ها باع، تمهیه نقشه د، داده ه

این سیارک برای تحقیق نئون در زاده‌های سیارکی مورد استفاده قرار دارد.

۱۱-۲- تفسیر نقشه‌های عنصری و تعیین نواحی ناهنجاری

پس از تهیه نقشه‌های ژئوشیمیایی و تعیین سیماهای ژئوشیمیایی منطقه مورد مطالعه می‌توان نواحی دارای ناهنجاری و امکان کانه‌سازی را تعیین و معرفی نمود.

| | | |
|---|---|--|
|  ایتوک ایران IRAN ITOK Engineering, Procurement & General Contracting | پی جویی به روش اکتشافات ژئوشیمیایی ۱:۲۵۰۰۰ در محدوده پاریز I (استان کرمان) - فصل دوم - اکتشافات ژئوشیمیایی |  جهانگردان سازمان اسناد و کتابخانه ملی اکتشافات معدنی کشور |
|---|---|--|

برای آنکه نتایج حاصله به آسانی قابل استفاده باشند، نتایج این بخش علاوه بر نقشه به صورت جداولی ارائه گردیده که در آنها ضمن مشخص شدن شماره نمونه‌های ناهنجاری، همخوانی مکانی آن با ناهنجاری سایر عناصر، مطابقت با ساختارهای زمین‌شناسی، دگرسانی و همچنین در صورت حضور کانی‌های سنگین در حوضه آبریز مربوطه، که در فصل بعد مورد بررسی قرار می‌گیرند آورده شده است لازم به ذکر است با توجه به جدول ۱۴-۲ تطابق نواحی ناهنجاری ژئوشیمیایی با ناهنجاری‌های کانی سنگین از ارائه جداول مستقل برای کانی سنگین در فصل بعد اجتناب می‌گردد. ضمن آنکه نحوه تهیه نقشه کانی سنگین در فصل بعدی بحث می‌شود.

جدول ۱۴-۲ ناهنجاری عنصر مس در محدوده اکتشافی پاریز I (نقشه ۲-۶)

| ردیف | کد نمونه | XXX | YYY | عناصر آنومالی | | مساحت ناهنجاری (Km ²) | انطباق با سایر ناهنجاری‌ها | انطباق با کانی سنگین | سنگهای بالا دست و اطراف نمونه |
|------|----------|--------|---------|---------------|--------|-----------------------------------|----------------------------|--|--|
| | | | | درجه ۱ | درجه ۲ | | | | |
| 1 | 25355 | 402430 | 3300027 | * | --- | 0.17 | Mo* | مالاکیت - کالکوپیریت - سروسیت - گالن - حضور طلا در بالا دست | میکروکنگلومرا اندیس مس در نقشه ۱:۱۰۰۰۰۰ گزارش شده است. |
| 2 | 25136 | 402890 | 3308458 | * | --- | 0.24 | ----- | ----- | ولکانیک‌های آنسن |
| 3 | 25335 | 394318 | 3304334 | * | --- | 0.64 | Mo* | اسفالریت - اسمیت سوئیت - حضور طلا در پائین دست | ولکانیک‌های آنسن |
| 4 | 25336 | 394303 | 3304871 | * | --- | 0.17 | Bi* | ----- | ولکانیک‌های آنسن |
| 5 | 25340 | 394246 | 3305644 | * | --- | 0.45 | Au-Mo-Sb*-S | اسمیت سوئیت - مالاکیت - کالکوپیریت - کولیت - مس طبیعی - سروسیت - جاروسیت | ولکانیک‌های آنسن - گرانوڈبوریت |
| 6 | 25368 | 394456 | 3305975 | * | --- | 0.45 | Mo*-Zn-S | جاروسیت | گرانوڈبوریت |
| 7 | 25341 | 394444 | 3306303 | * | --- | 0.11 | Au*-Mo-As*-Sb | ----- | گرانوڈبوریت |
| 8 | 25342 | 394328 | 3306484 | * | --- | 0.15 | Mo-S | اسمیت سوئیت - سروسیت - گالن - جاروسیت | گرانوڈبوریت |
| 9 | 25334 | 394663 | 3306669 | * | --- | 0.20 | Au*-S*-Mo* | ----- | گرانوڈبوریت |
| 10 | 25332 | 394269 | 3307104 | * | --- | 0.21 | Au* | ----- | ولکانیک‌های آنسن |
| 11 | 25251 | 393322 | 3307409 | * | --- | 0.13 | Au-S | ----- | ولکانیک‌های آنسن |
| 12 | 25249 | 392384 | 3308351 | * | --- | 0.16 | Mo*-Pb-Zn | ----- | ولکانیک‌های آنسن |
| 13 | 25248 | 391732 | 3308809 | * | --- | 0.17 | Mo*-As* | ----- | ولکانیک‌های آنسن |
| 14 | 25242 | 393411 | 3308936 | * | --- | 0.20 | ----- | طلا | ولکانیک‌های آنسن - گرانوڈبوریت |
| 15 | 25228 | 391514 | 3309360 | * | --- | 0.08 | Mo* | ----- | ولکانیک‌های آنسن |
| 16 | 25343 | 394177 | 3306491 | * | --- | 0.17 | Au*-S*-Mo | اسمیت سوئیت - مالاکیت - کالکوپیریت - کولیت - گربزوکولا - سروسیت - گالن - جاروسیت - طلا | گرانوڈبوریت |

علامت * در ردیف انطباق با ناهنجاری نشان دهنده آنومالی درجه دو می‌باشد.

| | | |
|---|---|--|
|  ایتوک ایران IRAN ITOK Engineering, Procurement & General Contracting | پی جویی به روش اکتشافات ژئوشیمیایی ۱:۲۵۰۰۰ در محدوده پاریز I (استان کرمان) - فصل دوم - اکتشافات ژئوشیمیایی |  جهانگردان سازمان اسناد و کتابخانه ملی اکتشافات معدنی کشور |
|---|---|--|

ادامه جدول ۱۴- ناهنجاری عنصر طلا در محدوده اکتشافی پاریز I (نقشه ۲)

| ردیف | کد نمونه | XXX | YYY | عناصر آنومالی | | مساحت ناهنجاری (Km2) | انطباق با سایر ناهنجاری ها | انطباق با کانی سنگین | سنگهای بالا دست و اطراف نمونه |
|------|----------|--------|---------|---------------|--------|----------------------|----------------------------|---|----------------------------------|
| | | | | درجه ۱ | درجه ۲ | | | | |
| 1 | 25251 | 293322 | 3307409 | * | --- | 0.13 | Cu-S | ----- | ولکانیک های انومن |
| 2 | 25232 | 393358 | 3306449 | * | --- | 0.14 | Pb*-Zn*-Sb-S* | ----- | گرانودیبوریت |
| 3 | 25340 | 394246 | 3305644 | * | --- | 0.44 | Cu-Mo-Sb*-S | کالکوبیریت - کالکوسیت - مس طبیعی - کولولیت - جاروسیت - مالاکیت - سروسیت - اسمیت سونیت | گرانودیبوریت |
| 4 | 25341 | 394444 | 3306303 | * | --- | 0.11 | Cu-Pb-As*-Sb | ----- | گرانودیبوریت |
| 5 | 25333 | 394823 | 3306101 | * | --- | 0.17 | Pb-Mo* | ----- | گرانودیبوریت - ولکانیک های انومن |
| 6 | 25103 | 395894 | 3306987 | * | --- | 0.14 | ----- | ----- | ولکانیک های انومن |
| 7 | 25112 | 398758 | 3302046 | * | --- | 0.20 | Bi* | حضور طلا در پانین دست نمونه | میکروکنگلومرا |
| 8 | 25111 | 399169 | 3302819 | * | --- | 0.15 | Bi* | ----- | ولکانیک های انومن |
| 9 | 25102 | 401367 | 3301961 | --- | * | 0.08 | ----- | ----- | گرانودیبوریت |
| 10 | 25343 | 394177 | 3306491 | --- | * | 0.17 | Cu-S*-Mo | کالکوبیریت - کالکوسیت - مس طبیعی - کربیزوکولا - جاروسیت - مالاکیت - سروسیت - گالن - اسمیت - سونیت - طلا | گرانودیبوریت |
| 11 | 25334 | 394663 | 3306669 | --- | * | 0.20 | Cu-Mo*-S* | ----- | گرانودیبوریت - ولکانیک های انومن |
| 12 | 25107 | 295385 | 3307112 | --- | * | 0.34 | ----- | ----- | ولکانیک های انومن |
| 13 | 25231 | 393750 | 3306518 | --- | * | 0.34 | Pb*-Zn* | ----- | گرانودیبوریت |
| 14 | 25332 | 394269 | 3307104 | --- | * | 0.21 | Cu | ----- | ولکانیک های انومن |

ادامه جدول ۱۴- ناهنجاری عنصر آرسنیک در محدوده اکتشافی پاریز I (نقشه ۲)

| ردیف | کد نمونه | XXX | YYY | عناصر آنومالی | | مساحت ناهنجاری (Km2) | انطباق با سایر ناهنجاری ها | انطباق با کانی سنگین | سنگهای بالا دست و اطراف نمونه |
|------|----------|--------|---------|---------------|--------|----------------------|----------------------------|--|-------------------------------------|
| | | | | درجه ۱ | درجه ۲ | | | | |
| 1 | 25005 | 392637 | 3304738 | --- | * | 0.21 | ----- | طلا - مالاکیت | ولکانیک های انومن |
| 2 | 25259 | 391474 | 3304982 | --- | * | 0.59 | ----- | سروسیت - گالن - اسمیت - سونیت - اسفالریت | ولکانیک های انومن |
| 3 | 25341 | 394444 | 3306303 | --- | * | 0.11 | Au-Pb-Mo-As | ----- | گرانودیبوریت |
| 4 | 25254 | 392820 | 3307230 | --- | * | 0.13 | ----- | ----- | ولکانیک های انومن |
| 5 | 25364 | 394010 | 3307305 | --- | * | 0.41 | Pb-Zn | سروسیت - گالن | ولکانیک های انومن |
| 6 | 25365 | 393954 | 3308169 | --- | * | 0.44 | Pb-Zn | طلا - سروسیت - گالن - مالاکیت - کالکوبیریت | (سنگهای بایین دست (گرانودیبوریت) |
| 7 | 25243 | 393340 | 3309102 | --- | * | 0.29 | Mo*-Pb | ----- | گرانودیبوریت |
| 8 | 25224 | 392308 | 3309455 | --- | * | 0.12 | Pb* | ----- | (سنگهای بایین دست (گرانودیبوریت) |
| 9 | 25247 | 391496 | 3308541 | --- | * | 0.17 | Mo* | ----- | ولکانیک های انومن |
| 10 | 25248 | 391732 | 3308809 | --- | * | 0.17 | Mo*-pb | ----- | ولکانیک های انومن |

| | | |
|--|--|---|
|  ایتوک ایران IRAN ITOK Engineering, Procurement & General Contracting | <p>پی جویی به روش اکتشافات ژئوشیمیایی ۱:۲۵۰۰۰ در محدوده پاریز I</p> <p>(استان کرمان) - فصل دوم - اکتشافات ژئوشیمیایی</p> |  جغرافیا جهانی سازمان زمین شناسی و اکتشافات معدنی کشور |
|--|--|---|

ادامه جدول ۲- ناهنجاری عنصر سرب در محدوده اکتشافی پاریز I (نقشه ۹-۲)

| ردیف | کد نمونه | XXX | YYY | عناصر آنومالی | | مساحت ناهنجاری (Km ²) | انطباق با سایر ناهنجاری‌ها | انطباق با کانی سنگین | سنگ‌های بالا دست و اطراف نمونه |
|------|----------|--------|---------|---------------|--------|-----------------------------------|----------------------------|--|-------------------------------------|
| | | | | درجه ۱ | درجه ۲ | | | | |
| 1 | 25012 | 393105 | 3304887 | * | --- | 0.19 | Zn*-W* | ----- | ولکانیک‌های انومن |
| 2 | 25333 | 394823 | 3306101 | * | --- | 0.17 | Au-Mo* | ----- | گرانودیبوریت - ولکانیک‌های انومن |
| 3 | 25341 | 394444 | 3306303 | * | --- | 0.11 | Au-Cu-Mo | ----- | گرانودیبوریت |
| 4 | 25232 | 393358 | 3306449 | * | --- | 0.14 | Zn*-Au-Sb-S | ----- | گرانودیبوریت - ولکانیک انومن |
| 5 | 25364 | 394010 | 3307305 | * | --- | 0.41 | Zn-As* | گالن - سروسیت | ولکانیک‌های انومن |
| 6 | 25365 | 393954 | 3308169 | * | --- | 0.44 | Zn-As* | اسپیت سونیت - اسفالریت - گالن - سروسیت - سرب - طبیعی - مالاکیت - کالکوپیریت | ولکانیک‌های انومن |
| 7 | 25245 | 393518 | 3308116 | * | --- | 0.13 | | اسفالریت - سروسیت - گالن - مالاکیت - کالکوپیریت | ولکانیک‌های انومن |
| 8 | 25243 | 393340 | 3309102 | * | --- | 0.29 | Mo*-As* | ----- | گرانودیبوریت |
| 9 | 25249 | 392384 | 3308351 | * | --- | 0.16 | Cu-Zn-Mo* | ----- | ولکانیک‌های انومن |
| 10 | 25202 | 397382 | 3307771 | * | --- | 0.33 | | ----- | ولکانیک‌های انومن |
| 11 | 25013 | 392925 | 3303890 | --- | * | 0.10 | S*-Ba | ----- | ولکانیک‌های انومن |
| 12 | 25009 | 392968 | 3304316 | --- | * | 0.14 | Zn*-W* | ----- | ولکانیک‌های انومن |
| 13 | 25010 | 393312 | 3304688 | --- | * | 0.16 | Zn*-Bi | اسپیت سونیت - اسفالریت - گالن - سروسیت - سرب طبیعی - مالاکیت - مس طبیعی | ولکانیک‌های انومن |
| 14 | 25011 | 393441 | 3305106 | --- | * | 0.16 | | ----- | ولکانیک‌های انومن |
| 15 | 25233 | 392805 | 3305459 | --- | * | 0.14 | Zn* | ----- | ولکانیک‌های انومن |
| 16 | 25236 | 392280 | 3305840 | --- | * | 0.50 | Zn* | ----- | گرانودیبوریت - ولکانیک‌های انومن |
| 17 | 25231 | 393750 | 3306518 | --- | * | 0.34 | Zn*-Au* | ----- | گرانودیبوریت |
| 18 | 25227 | 393154 | 3309351 | --- | * | 0.13 | Zn* | مالاکیت | گرانودیبوریت |
| 19 | 25225 | 392764 | 3309377 | --- | * | 0.21 | Zn* | ----- | گرانودیبوریت |
| 20 | 25224 | 392308 | 3309455 | --- | * | 0.12 | Zn-As* | ----- | گرانودیبوریت |

| | | |
|--|--|--|
|  ایتوک ایران IRAN ITOK Engineering, Procurement & General Contracting | <p>پی جویی به روش اکتشافات ژئوشیمیایی ۱:۲۵۰۰۰ در محدوده پاریز I</p> <p>(استان کرمان) - فصل دوم - اکتشافات ژئوشیمیایی</p> |  جایزه جهانی سازمان زمین شناسی و اکتشافات معدنی کشور |
|--|--|--|

ادامه جدول ۲- ناهنجاری عنصر مولیبدن در محدوده اکتشافی پاریز I (نقشه ۲)

| ردیف | کد نمونه | XXX | YYY | عناصر آنومالی | | مساحت ناهنجاری (Km2) | انطباق با سایر ناهنجاری‌ها | انطباق با کانی‌سنگین | سنگ‌های بالا دست و اطراف نمونه |
|------|----------|--------|---------|---------------|--------|----------------------|----------------------------|---|--------------------------------|
| | | | | درجه ۱ | درجه ۲ | | | | |
| 1 | 25343 | 394177 | 3306491 | * | --- | 0.17 | Au*-Cu-S* | جاروسيت- سروسيت- گالن- كالكوبيريت- ملاكيت- مس- طبیعی- كالکوسیت- کربیزومولا- اسمیت- سونیت- طلا | گرانودبوریت |
| 2 | 25342 | 394328 | 3306484 | * | --- | 0.15 | Cu-S | جاروسيت- سروسيت- گالن- اسمیت سونیت- طلا | گرانودبوریت |
| 3 | 25341 | 394444 | 3306303 | * | --- | 0.11 | Cu-Au-As*-Sb | ----- | گرانودبوریت |
| 4 | 25340 | 394246 | 3305644 | * | --- | 0.45 | Cu-Au-As*-Sb | جاروسيت- سروسيت- كالكوبيريت- ملاكيت- مس- طبیعی- كالکوسیت- کووایت- اسمیت- سونیت | ولکانیک‌های انوسن- گرانودبوریت |
| 5 | 25251 | 393322 | 3307409 | * | --- | 0.13 | ----- | ----- | ولکانیک‌های انوسن |
| 6 | 25321 | 391782 | 3303059 | --- | * | 0.14 | ----- | ----- | میکروکنکلومرا |
| 7 | 25322 | 392225 | 3303026 | --- | * | 0.16 | ----- | مالکیت- کوولیت- كالکوسیت- کالکوبيريت | میکروکنکلومرا |
| 8 | 25335 | 394318 | 3304334 | --- | * | 0.64 | Cu | سروسيت- گالن- اسمیت سونیت- اسفلاریت | ولکانیک‌های انوسن |
| 9 | 25371 | 366158 | 3302810 | --- | * | 0.25 | ----- | ----- | میکروکنکلومرا |
| 10 | 25377 | 397022 | 3302582 | --- | * | 0.10 | ----- | ----- | میکروکنکلومرا |
| 11 | 25372 | 398194 | 3303134 | --- | * | 0.09 | ----- | ----- | ولکانیک‌های انوسن |
| 12 | 25268 | 399066 | 3304160 | --- | * | 0.12 | ----- | ----- | ولکانیک‌های انوسن |
| 13 | 25281 | 398710 | 3301398 | --- | * | 0.12 | ----- | ----- | میکروکنکلومرا |
| 14 | 25317 | 399601 | 3302328 | --- | * | 0.09 | ----- | ----- | ولکانیک‌های انوسن |
| 15 | 25282 | 399265 | 3301434 | --- | * | 0.12 | ----- | ----- | میکروکنکلومرا |
| 16 | 25286 | 400277 | 3300771 | --- | * | 0.54 | ----- | ----- | میکروکنکلومرا |
| 17 | 25287 | 400411 | 3300755 | --- | * | 0.19 | ----- | ----- | میکروکنکلومرا |
| 18 | 25284 | 400641 | 3301074 | --- | * | 0.08 | ----- | ----- | ولکانیک‌های انوسن |
| 19 | 25354 | 401235 | 3300633 | --- | * | 0.21 | ----- | ----- | میکروکنکلومرا |
| 20 | 25353 | 401187 | 3300423 | --- | * | 0.13 | ----- | ----- | میکروکنکلومرا |

ادامه جدول ۱۴- ناهنجاری عنصر روی در محدوده اکتشافی پاریز I (نقشه ۲)

| ردیف | کد نمونه | XXX | YYY | عناصر آنومالی | | مساحت ناهنجاری (Km2) | انطباق با سایر ناهنجاری ها | انطباق با کانی سنگین | سنگهای بالا دست و اطراف نمونه |
|------|----------|--------|---------|---------------|--------|----------------------|----------------------------|---|--|
| | | | | درجه ۱ | درجه ۲ | | | | |
| 1 | 25368 | 394456 | 3305975 | * | --- | 0.23 | Cu-Mo*-S | جاروسیت | گرانودیبوریت |
| 2 | 35232 | 393358 | 3306449 | * | --- | 0.14 | Au*-Pb*-Sb-S | ----- | گرانودیبوریت |
| 3 | 25224 | 392308 | 3309455 | * | --- | 0.12 | Pb*-As* | ----- | گرانودیبوریت |
| 4 | 25364 | 394010 | 3307305 | * | --- | 0.41 | Pb-As* | گالن | ولکانیک های انومن |
| 5 | 25365 | 393954 | 3308169 | * | --- | 0.44 | Pb-As*-W | طلا- گالن- مالاکیت- کالکوسیت- اسمیت سونیت- اسفالریت | ولکانیک های انومن (سنگهای بالا دست) گرانودیبوریت |
| 6 | 25244 | 393519 | 3308718 | * | --- | 0.40 | ----- | ----- | ولکانیک های انومن |
| 7 | 25249 | 392384 | 3308351 | * | --- | 0.16 | Cu-Mo*-Pb | ----- | ولکانیک های انومن |
| 8 | 25009 | 392968 | 3304316 | --- | * | 0.14 | Pb*-W* | ----- | ولکانیک های انومن |
| 9 | 25010 | 393312 | 3304688 | --- | * | 0.16 | Pb*-Bi | طلا- گالن- سرب- طبیعی- کالکوسیت- مالاکیت- اسمیت سونیت | ولکانیک های انومن |
| 10 | 25012 | 393105 | 3304887 | --- | * | 0.19 | Pb-W* | ----- | ولکانیک های انومن |
| 11 | 25233 | 392805 | 3305459 | --- | * | 0.14 | Pb* | ----- | ولکانیک های انومن |
| 12 | 25236 | 392280 | 3305840 | --- | * | 0.50 | Pb* | ----- | ولکانیک های انومن (سنگهای بالا دست) گرانودیبوریت |
| 13 | 25235 | 392382 | 3305935 | --- | * | 0.12 | ----- | ----- | ولکانیک های انومن |
| 14 | 25231 | 393750 | 3306518 | --- | * | 0.34 | Au*-Pb* | ----- | گرانودیبوریت |
| 15 | 25227 | 393154 | 3309351 | --- | * | 0.13 | Pb* | ----- | گرانودیبوریت |
| 16 | 25225 | 392764 | 3309377 | --- | * | 0.21 | Pb*-W | ----- | گرانودیبوریت |

ادامه جدول ۱۴- ناهنجاری عنصر بیسموت در محدوده اکتشافی پاریز I (نقشه ۲)

| ردیف | کد نمونه | XXX | YYY | عناصر آنومالی | | مساحت ناهنجاری (Km2) | انطباق با سایر ناهنجاری ها | انطباق با کانی سنگین | سنگهای بالا دست و اطراف نمونه |
|------|----------|--------|---------|---------------|--------|----------------------|----------------------------|---|-------------------------------|
| | | | | درجه ۱ | درجه ۲ | | | | |
| 1 | 25006 | 392873 | 3303832 | --- | * | 0.32 | ----- | ----- | میکرو کنکلومرا |
| 2 | 25010 | 393312 | 3304688 | --- | * | 0.16 | Pb*-Zn* | طلا- اسمیت سونیت- اسفالریت- گالن- سرسویت- میمتیت- مالاکیت- مس طبیعی | ولکانیک های انومن |
| 3 | 25070 | 394672 | 3303368 | * | --- | 0.13 | ----- | ----- | میکرو کنکلومرا |
| 4 | 25108 | 397589 | 3302033 | --- | * | 0.14 | ----- | ----- | میکرو کنکلومرا |
| 5 | 25112 | 398758 | 3302046 | --- | * | 0.20 | Au | ----- | میکرو کنکلومرا |
| 6 | 25111 | 399169 | 3302819 | --- | * | 0.15 | Au | ----- | ولکانیک های انومن |
| 7 | 25170 | 401628 | 3301791 | * | --- | 0.25 | ----- | ----- | گرانودیبوریت |

| | | |
|---|---|--|
|  ایتوک ایران IRAN ITOK Engineering, Procurement & General Contracting | پی جویی به روش اکتشافات ژئوشیمیایی ۱:۲۵۰۰۰ در محدوده پاریز I (استان کرمان) - فصل دوم - اکتشافات ژئوشیمیایی |  جهانگردان سازمان زمین شناسی و اکتشافات معدنی کشور |
|---|---|--|

ادامه جدول ۱۴- ناهنجاری عنصر باریم در محدوده اکتشافی پاریز I (نقشه ۲-۱۳)

| ردیف | کد نمونه | XXX | YYY | عناصر آنومالی | | مساحت ناهنجاری (Km2) | انطباق با سایر ناهنجاری ها | انطباق با کانی سنگین | سنگهای بالا دست و اطراف نمونه |
|------|----------|--------|---------|---------------|--------|----------------------|----------------------------|----------------------|-------------------------------|
| | | | | درجه ۱ | درجه ۲ | | | | |
| 1 | 25013 | 392925 | 3303890 | * | --- | 0.10 | ----- | ----- | کنکلومرا |
| 2 | 25017 | 393555 | 3304114 | * | --- | 0.13 | S* | ----- | ولکانیک های انومن |
| 3 | 25063 | 396020 | 3308514 | --- | * | 0.05 | S | ----- | ولکانیک های انومن |
| 4 | 25058 | 396377 | 3308743 | --- | * | 0.10 | ----- | ----- | ولکانیک های انومن |
| 5 | 25044 | 395950 | 3309307 | --- | * | 0.11 | ----- | ----- | ولکانیک های انومن |

ادامه جدول ۱۴- ناهنجاری عنصر گوگرد در محدوده اکتشافی پاریز I (نقشه ۲-۱۴)

| ردیف | کد نمونه | XXX | YYY | عناصر آنومالی | | مساحت ناهنجاری (Km2) | انطباق با سایر ناهنجاری ها | انطباق با کانی سنگین | سنگهای بالا دست و اطراف نمونه |
|------|----------|--------|---------|---------------|--------|----------------------|----------------------------|---|------------------------------------|
| | | | | درجه ۱ | درجه ۲ | | | | |
| 1 | 25340 | 394246 | 3305644 | * | --- | 0.50 | Cu-Au-Mo-Sb* | سروسویت- اسمیت- سونیت- مالاکیت- کالکوپیریت- کالکوسویت- مس طبیعی- گوولیت | گرانودیوریت |
| 2 | 25343 | 394177 | 3304691 | * | --- | 0.17 | Au*-Cu-Mo | - طلا- سروسویت- گالن- اسمیت سونیت- مالاکیت- کالکوپیریت- کریزوکولا- کوولیت | گرانودیوریت |
| 3 | 25368 | 394456 | 3305975 | * | --- | 0.23 | Cu-Mo*-Zn | سروسویت- گالن- اسفلاریت- اسمیت سونیت | گرانودیوریت |
| 4 | 25342 | 394328 | 3306484 | * | --- | 0.15 | Cu-Mo | - طلا- سروسویت- گالن- اسمیت سونیت | گرانودیوریت |
| 5 | 25251 | 393322 | 3307409 | * | --- | 0.13 | Cu-Au | ----- | ولکانیک های انومن |
| 6 | 25061 | 395307 | 3308793 | * | --- | 0.42 | ----- | اسمیت سونیت | ولکانیک های انومن |
| 7 | 25063 | 396020 | 3308514 | * | --- | 0.05 | Ba* | ----- | ولکانیک های انومن |
| 8 | 25082 | 403347 | 3305933 | * | --- | 0.35 | ----- | ----- | ولکانیک های انومن |
| 9 | 25298 | 400442 | 3303798 | --- | * | 0.27 | ----- | ----- | ولکانیک های انومن |
| 10 | 25017 | 393555 | 3304114 | --- | * | 0.13 | Ba | ----- | ولکانیک های انومن |
| 11 | 25013 | 392925 | 3303890 | --- | * | 0.10 | Pb*-Ba | ----- | ولکانیک های انومن و میکرو-کنکلومرا |
| 12 | 25236 | 392280 | 3305840 | --- | * | 0.50 | Pb*-Zn* | ----- | گرانودیوریت |
| 13 | 25237 | 392132 | 3305817 | --- | * | 0.04 | ----- | سروسویت- گالن- اسفلاریت- مالاکیت | ولکانیک های انومن |
| 14 | 25232 | 393358 | 3304649 | --- | * | 0.14 | Au-Pb*-Zn*-Sb | ----- | گرانودیوریت |
| 15 | 25028 | 395665 | 3306270 | --- | * | 0.88 | ----- | ----- | گرانودیوریت |
| 16 | 25334 | 394663 | 3306669 | --- | * | 0.20 | Au*-Cu-Mo* | ----- | گرانودیوریت |

| | | |
|---|---|--|
|  ایتوک ایران IRAN ITOK Engineering, Procurement & General Contracting | پی جویی به روش اکتشافات ژئوشیمیایی ۱:۲۵۰۰۰ در محدوده پاریز I (استان کرمان) - فصل دوم - اکتشافات ژئوشیمیایی |  جهانگردان سازمان اسناد و کتابخانه ملی اکتشافات معدنی کشور |
|---|---|--|

ادامه جدول ۱۴- ناهنجاری عنصر آنتیموان در محدوده اکتشافی پاریز I (نقشه ۲)

| ردیف | کد نمونه | XXX | YYY | عناصر آنومالی | | مساحت ناهنجاری (Km2) | انطباق با سایر ناهنجاری ها | انطباق با کانی سنگین | سنگهای بالا دست و اطراف نمونه |
|------|----------|--------|---------|---------------|--------|----------------------|----------------------------|----------------------|-------------------------------|
| | | | | درجه ۱ | درجه ۲ | | | | |
| 1 | 25289 | 400126 | 3301564 | --- | * | 0.06 | ----- | ----- | ولکانیک های انومن - کنگلومرا |
| 2 | 25292 | 400205 | 3301781 | --- | * | 0.19 | ----- | ----- | ولکانیک های انومن |
| 3 | 25340 | 394246 | 3305644 | --- | * | 0.45 | Cu-Au-Mo-S | ----- | گرانودیوریت |
| 4 | 25341 | 394444 | 3306303 | * | --- | 0.11 | Au-Cu-Mo-As* | ----- | گرانودیوریت |
| 5 | 25232 | 393358 | 3306449 | --- | * | 0.14 | Au-Pb*-Zn* | ----- | گرانودیوریت |
| 6 | 25001 | 391448 | 3304439 | --- | * | 0.42 | ----- | ----- | ولکانیک های انومن - کنگلومرا |

ادامه جدول ۱۴- ناهنجاری عنصر تنگستن در محدوده اکتشافی پاریز I (نقشه ۲)

| ردیف | کد نمونه | XXX | YYY | عناصر آنومالی | | مساحت ناهنجاری (Km2) | انطباق با سایر ناهنجاری ها | انطباق با کانی سنگین | سنگهای بالا دست و اطراف نمونه |
|------|----------|--------|---------|---------------|--------|----------------------|----------------------------|----------------------|--|
| | | | | درجه ۱ | درجه ۲ | | | | |
| 1 | 25252 | 392902 | 3307384 | --- | * | 0.22 | ----- | ----- | ولکانیک های انومن |
| 2 | 25329 | 394024 | 3307681 | --- | * | 0.23 | ----- | ----- | ولکانیک های انومن |
| 3 | 25331 | 393735 | 3308060 | * | --- | 0.35 | ----- | ----- | ولکانیک های انومن |
| 4 | 25365 | 393954 | 3308169 | * | --- | 0.44 | Pb-As* | ----- | طلاء- مالاکیت - کالکوپیریت - گالن - اسفالت - اسمیت سونیت |
| 5 | 25225 | 392764 | 3309377 | --- | * | 0.21 | Zn*-Pb* | ----- | گرانودیوریت |
| 6 | 25224 | 392308 | 3309455 | --- | * | 0.12 | Zn*-Pb*-As* | ----- | ولکانیک های انومن |
| 7 | 25009 | 392968 | 3304316 | --- | * | 0.14 | Zn-Pb* | ----- | ولکانیک های انومن |
| 8 | 25012 | 393105 | 3304887 | --- | * | 0.19 | Pb-Zn* | ----- | ولکانیک های انومن |
| 9 | 25151 | 402961 | 3306222 | --- | * | 0.16 | ----- | ----- | گرانودیوریت |
| 10 | 25344 | 402503 | 3301897 | --- | * | 0.11 | ----- | سرپ طبیعی - لفنت | گرانودیوریت (سنگهای بالا دست گرانودیوریت) |
| 11 | 25352 | 401225 | 3300261 | --- | * | 0.24 | Mo* | طلا | میکروکنگلومرا |
| 12 | 25351 | 401244 | 3301180 | * | --- | 0.10 | ----- | ----- | گرانودیوریت |

ادامه جدول ۱۴- ناهنجاری عنصر بریلیوم در محدوده اکتشافی پاریز I (نقشه ۲)

| ردیف | کد نمونه | XXX | YYY | عناصر آنومالی | | مساحت ناهنجاری (Km2) | انطباق با سایر ناهنجاری ها | انطباق با کانی سنگین | سنگهای بالا دست و اطراف نمونه |
|------|----------|--------|---------|---------------|--------|----------------------|----------------------------|-----------------------------|-------------------------------|
| | | | | درجه ۱ | درجه ۲ | | | | |
| 1 | 25120 | 401728 | 3307153 | * | | 0.21 | --- | --- | گرانودیوریت |
| 2 | 25149 | 402532 | 3306208 | --- | * | 0.15 | --- | --- | گرانودیوریت |
| 3 | 25150 | 402472 | 3306158 | --- | * | 0.16 | --- | --- | گرانودیوریت |
| 4 | 25151 | 402961 | 3306222 | --- | * | 0.16 | --- | --- | گرانودیوریت |
| 5 | 25152 | 402948 | 3306078 | --- | * | 0.16 | --- | --- | گرانودیوریت |
| 6 | 25265 | 399718 | 3303978 | --- | * | 0.19 | --- | --- | ولکانیک ها و آرناتیت ها |
| 7 | 25112 | 398758 | 3302046 | --- | * | 0.20 | Au | --- | ولکانیک ها و آرناتیت ها |
| 8 | 25008 | 392927 | 3304303 | --- | * | 0.13 | --- | گالن - سروسیت - سرب طبیعی | ولکانیک ها و آرناتیت ها |
| 9 | 25004 | 392356 | 3304790 | --- | * | 0.14 | --- | --- | ولکانیک ها و آرناتیت ها |
| 10 | 25259 | 391474 | 3304982 | --- | * | 0.59 | As* | اسمیت سونیت - گالن - سروسیت | ولکانیک ها و آرناتیت ها |
| 11 | 25256 | 392082 | 3307235 | --- | * | 0.08 | --- | --- | ولکانیک ها و آرناتیت ها |
| 12 | 25302 | 391725 | 3307408 | --- | * | 0.26 | --- | --- | ولکانیک ها و آرناتیت ها |
| 13 | 25063 | 396020 | 3308514 | --- | * | 0.05 | --- | --- | ولکانیک ها و آرناتیت ها |

| | | |
|--|--|--|
|  ایتوک ایران IRAN ITOK Engineering, Procurement & General Contracting | <p>پی جویی به روش اکتشافات ژئوشیمیایی ۱:۲۵۰۰۰ در محدوده پاریز I</p> <p>(استان کرمان) - فصل دوم - اکتشافات ژئوشیمیایی</p> |  جزویت جهاتی اسناد سازمان امن شناسی و اکتشافات معدنی کشور |
|--|--|--|

نتیجه گیری

آن گونه که چندین بار تا کنون در متن گزارش تأکید شده ناهنجاری‌های معنی‌دار عناصر مختلف و همبستگی مکانی آنها با یکدیگر می‌تواند به عنوان ملاک تعیین نواحی ناهنجار و قابل کنترل موثر باشد. بر این اساس می‌توان سه زون کلی، که خود به چند زیر زون تقسیم می‌شوند معرفی نمود: محدوده اول در محدوده معدن دره‌زار قرار دارد که ایجاد آن امری طبیعی و تأکید کننده صحت نسبی آنالیز است. این بخش خود به بخش‌های شمالی، معدن دره‌زار و غربی قابل تقسیم است (نقشه ۲-۱۸). محدوده دوم در شمال روستای باغ خشک قرار دارد. در بخش‌های مجاور آن ناهنجارهای شدیدی از مولیبدن قرار دارد که با توجه به عدم همراهی با سایر عناصر چندان پر اهمیت نیست (نقشه ۲-۱۹).

محدوده سوم در شرق منطقه قرار دارد. این محدوده صرفاً با دو نمونه ناهنجاری شناسایی می‌شوند با این حال و با توجه به وجود توده‌های نفوذی در محدوده کنترل آنها می‌تواند مفید باشد (نقشه ۲-۲۰).